

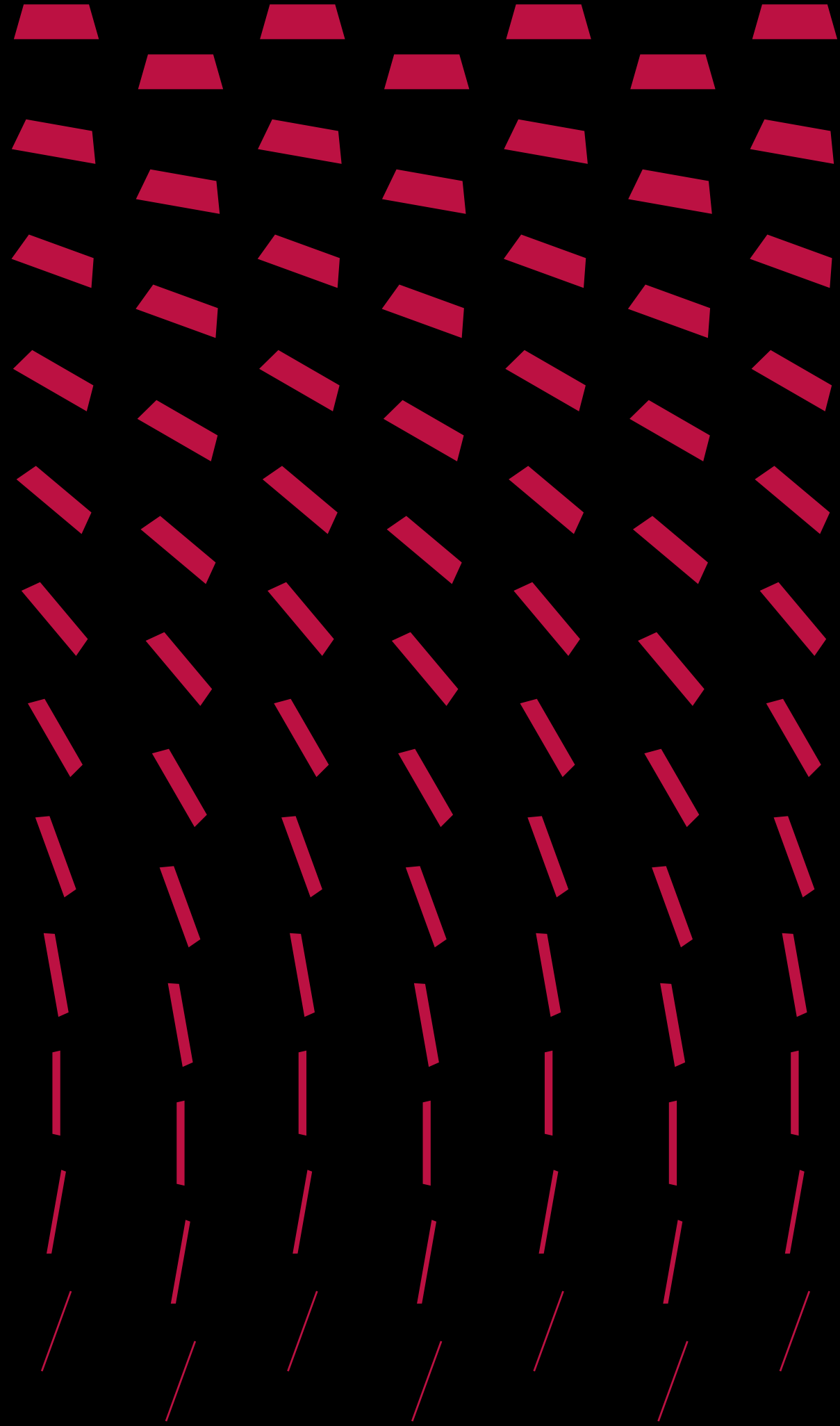
# ESN-PdM Framework:

## A TinyML-Driven IoT System for Condition Monitoring in Non-Stationary Mining Machinery

---

13/11 2024

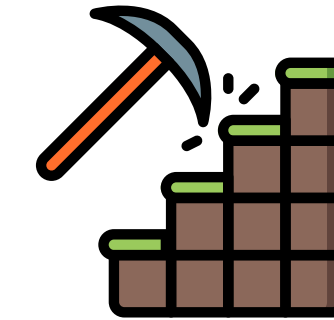
Raúl de la Fuente



# Motivación: Sector Minero

# Industria Minera

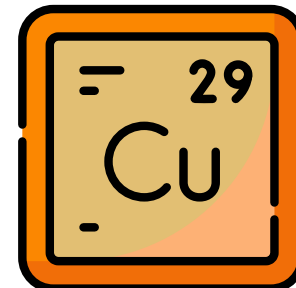
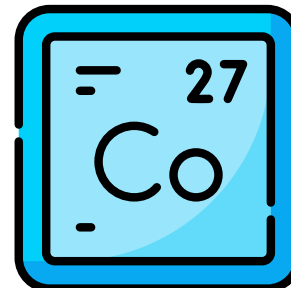
Para el año 2026, se proyecta que la industria minera global alcanzará un valor de mercado de \$3.36 billones [1]



## Importancia

Sectores industriales dependen de la minería:

- Vehículos eléctricos
- Energías renovables
- Electrónica de consumo



## Maquinaria

Actividades mineras dependen de:

- Camiones de acarreo
- Grúa horquilla
- Cintas transportadoras



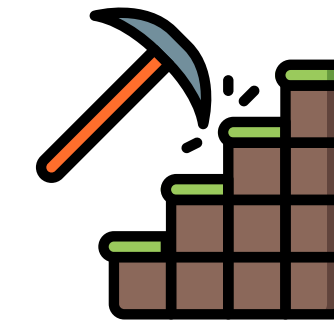
# Industria Minera



## Condiciones Adversas

Maquinaria se encuentra sujeta a un entorno **hostil y altamente variable**.

- Humedad
- Impactos recurrentes
- Cargas pesadas
- Altas temperaturas
- Terreno irregular y/o accidentado
- Exposición al polvo



*La exposición prolongada a estas condiciones conduce a la degradación del equipo, riesgos de seguridad e incluso detención de las operaciones [2].*

# Mantenimiento

# Estrategias de Mantenimiento

*El mantenimiento es esencial para los sistemas de producción, garantizando el funcionamiento continuo, la seguridad y la durabilidad de los equipos [3].*

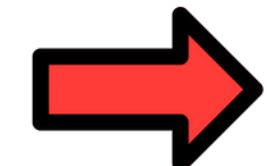


## Evolución

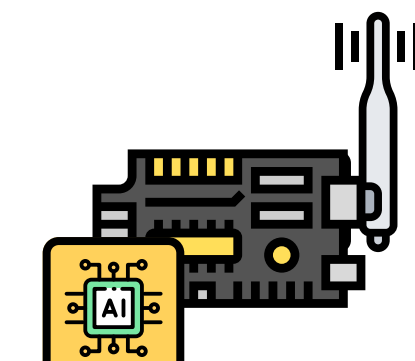
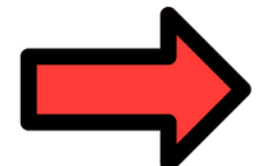
Las estrategias de mantenimiento se han perfeccionado progresivamente desde el **correctivo**, pasando por el **preventivo** y culminando en el **predictivo**.



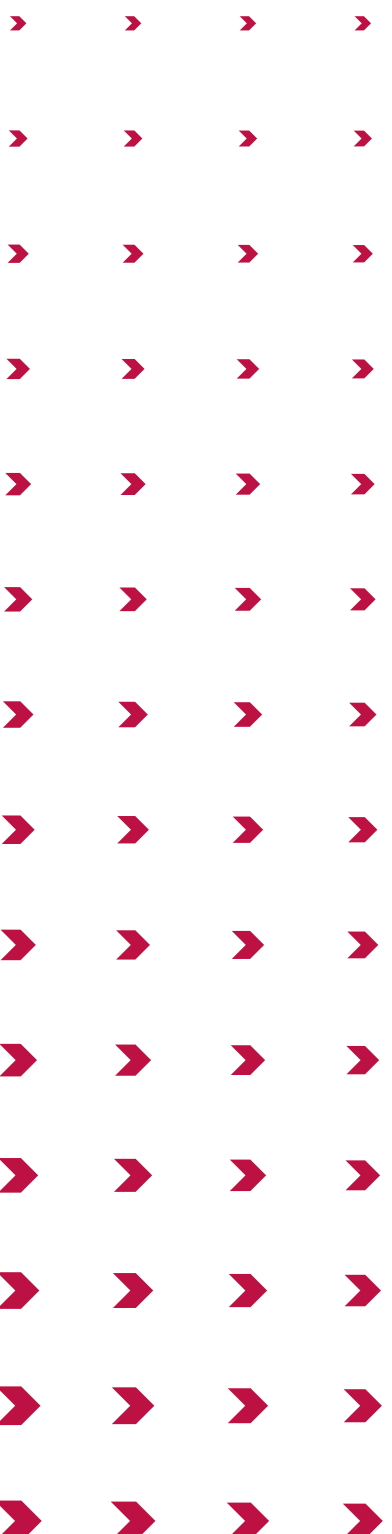
Corrective  
Maintenance



Preventive  
Maintenance



Predictive  
Maintenance



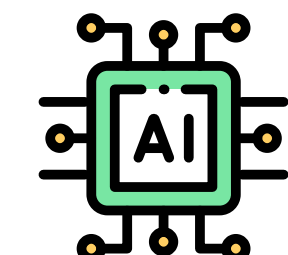
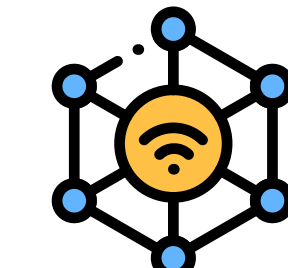
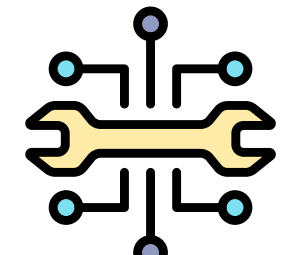
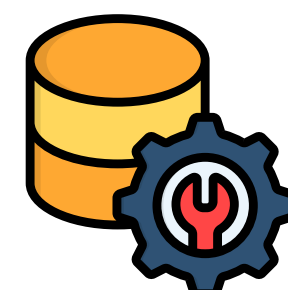
# Mantenimiento Predictivo

El mantenimiento predictivo (PdM) busca **anticipar fallas** en los sistemas a través de modelos matemáticos/físicos (model-driven) o análisis de datos (data-driven) [4].



## Model-driven

- Enfoque “tradicional”
- Requiere conocimiento técnico.
- Costoso de implementar.



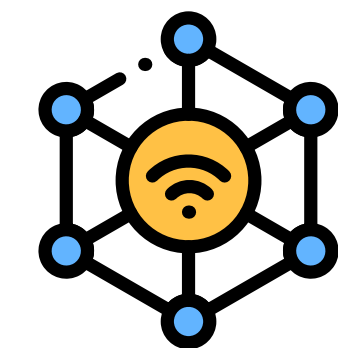
## Data-driven PdM

- Actualmente el más popular.
- Fácil de implementar.
- *Data Acquisition y Data Processing.*

# PdM: Data Acquisition

# Internet of Things

*El Internet de las Cosas (IoT) busca interconectar objetos físicos a través de redes computacionales, permitiéndoles enviar y recibir datos [5].*



## Áreas Involucradas

- Sistemas Embebidos
- Redes Computacionales
- Big Data
- HCI
- Ciberseguridad

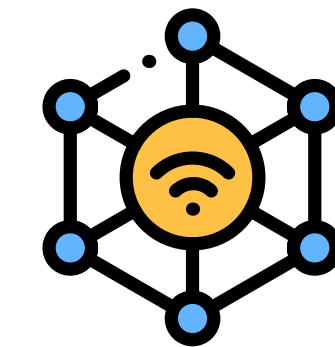
## Aplicaciones

- Smart watches
  - Vehículos autónomos
  - Home assistants
  - Sistemas domóticos
  - Smart surveillance
  - Control de flotas
- **Automatización Industrial (IIoT)**



# Wireless Sensor Networks

Las Wireless Sensor Networks (WSNs) son redes IoT específicas con múltiples sensores que recopilan y transmiten datos en tiempo real de forma inalámbrica [6].

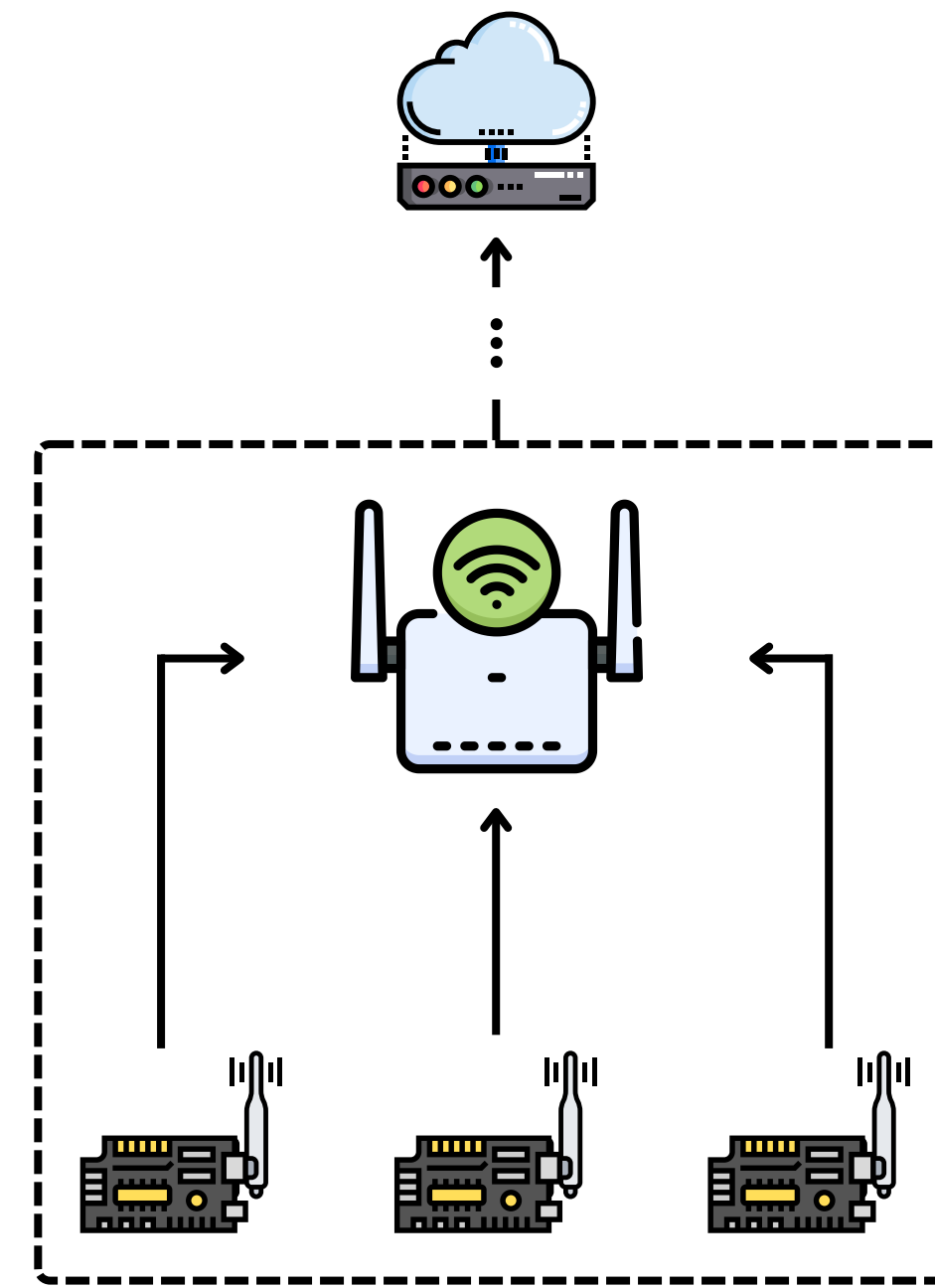


## Nodos

- Recopilan datos del entorno y los transmiten de forma inalámbrica a los gateways.
- *Microcontroller units* (MCUs) equipados con módulos de sensores.

## Gateways

- Reciben la información de los nodos y la envían a la nube para su procesamiento y análisis.
- *Single-board Computers* (SBCs), MCUs o hardware dedicado.

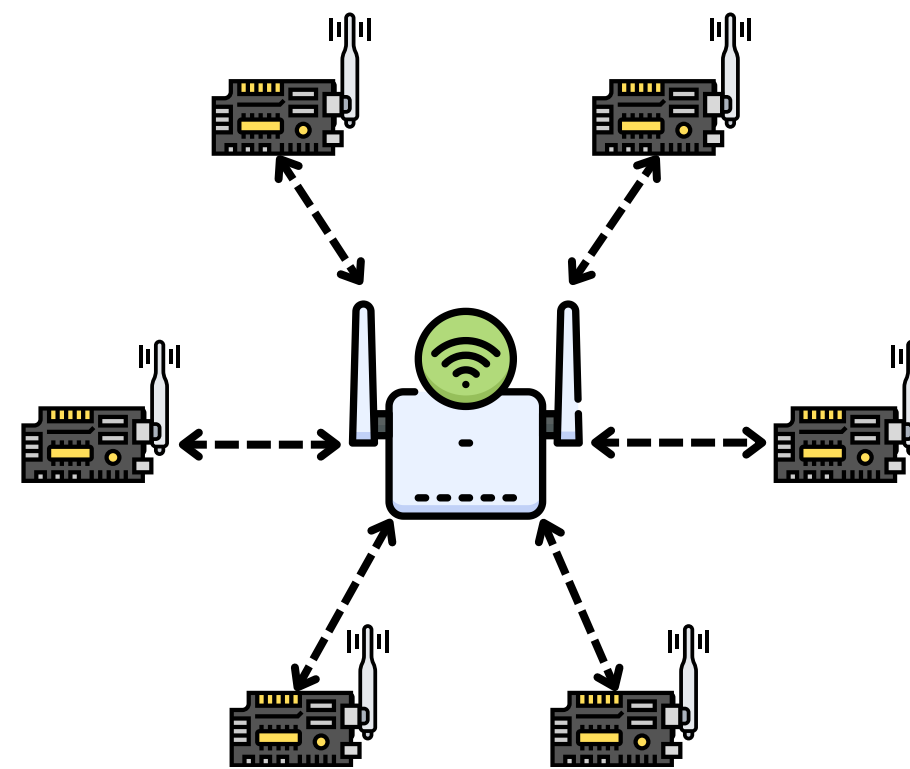
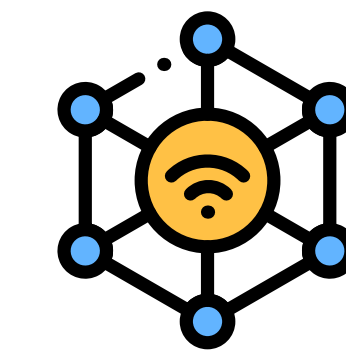


# Wireless Sensor Networks

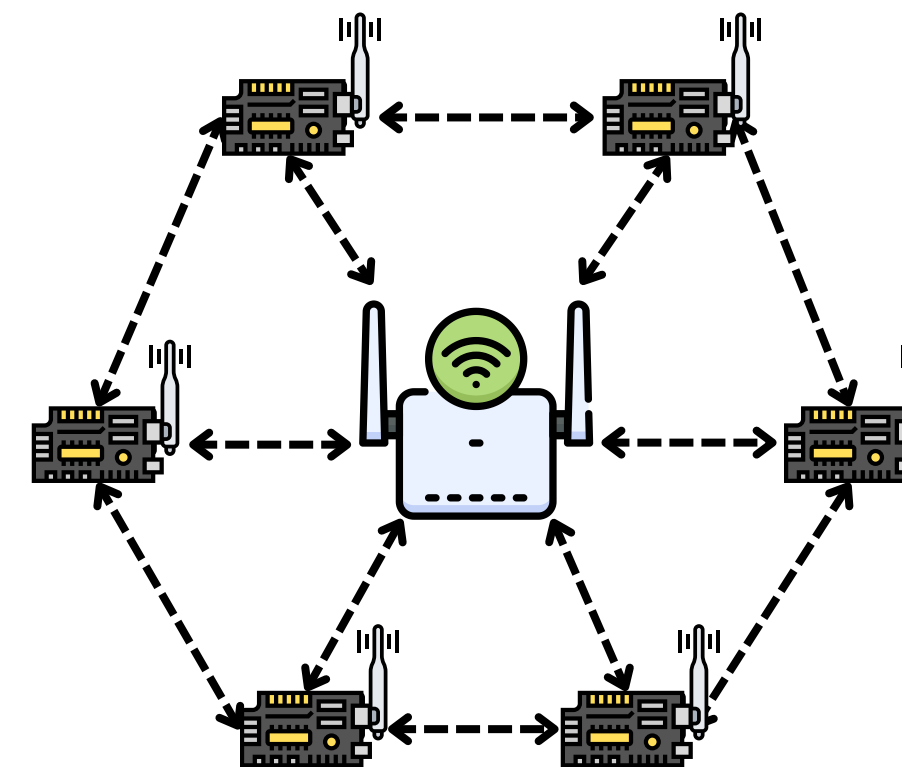


## Topologías

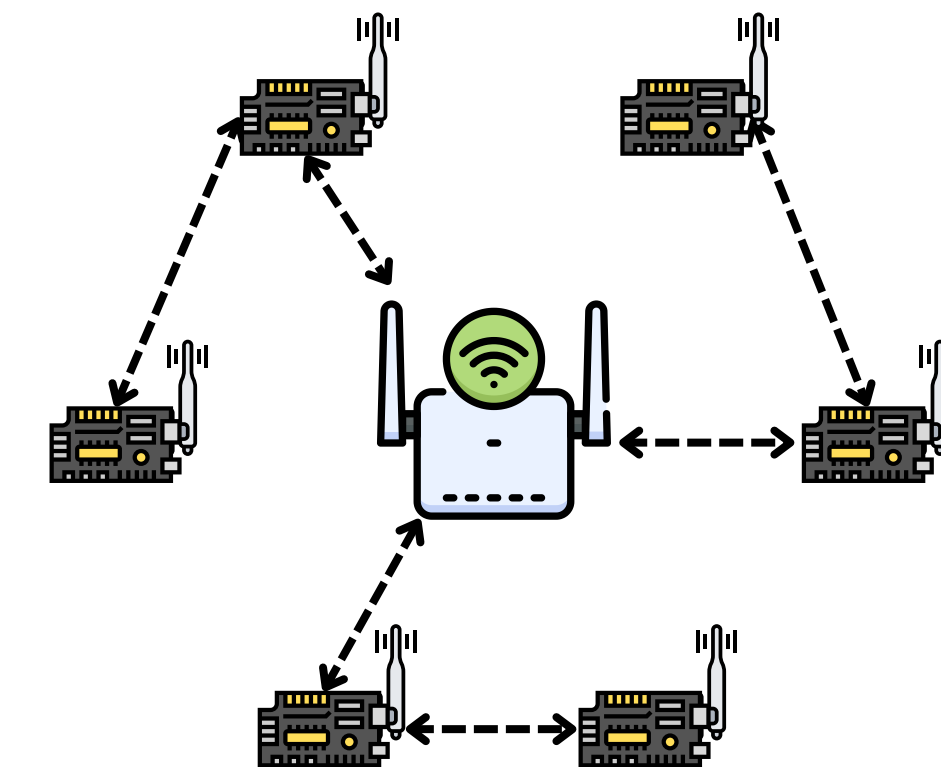
La topología de una WSN se refiere a cómo se organizan sus componentes, siendo las tres más comunes la **estrella**, la **malla** y la **híbrida**.



Star



Mesh



Hybrid

# Wireless Sensor Networks

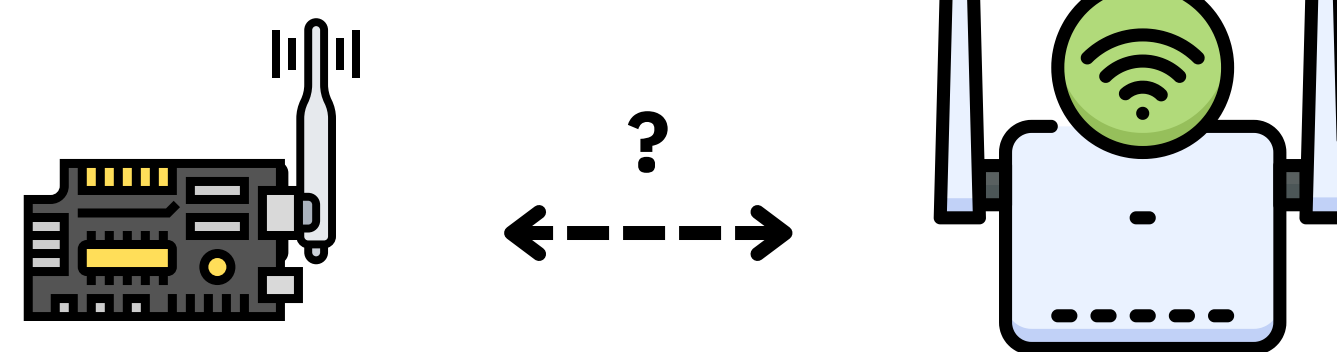
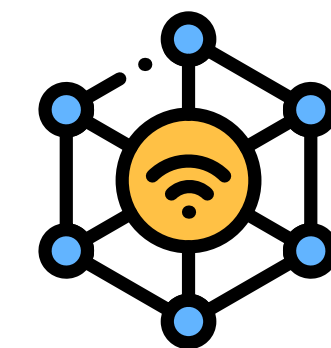


## Comunicación

En una WSN, los nodos se comunican de manera inalámbrica utilizando **pilas de protocolos estandarizadas**.

Algunos ejemplos son:

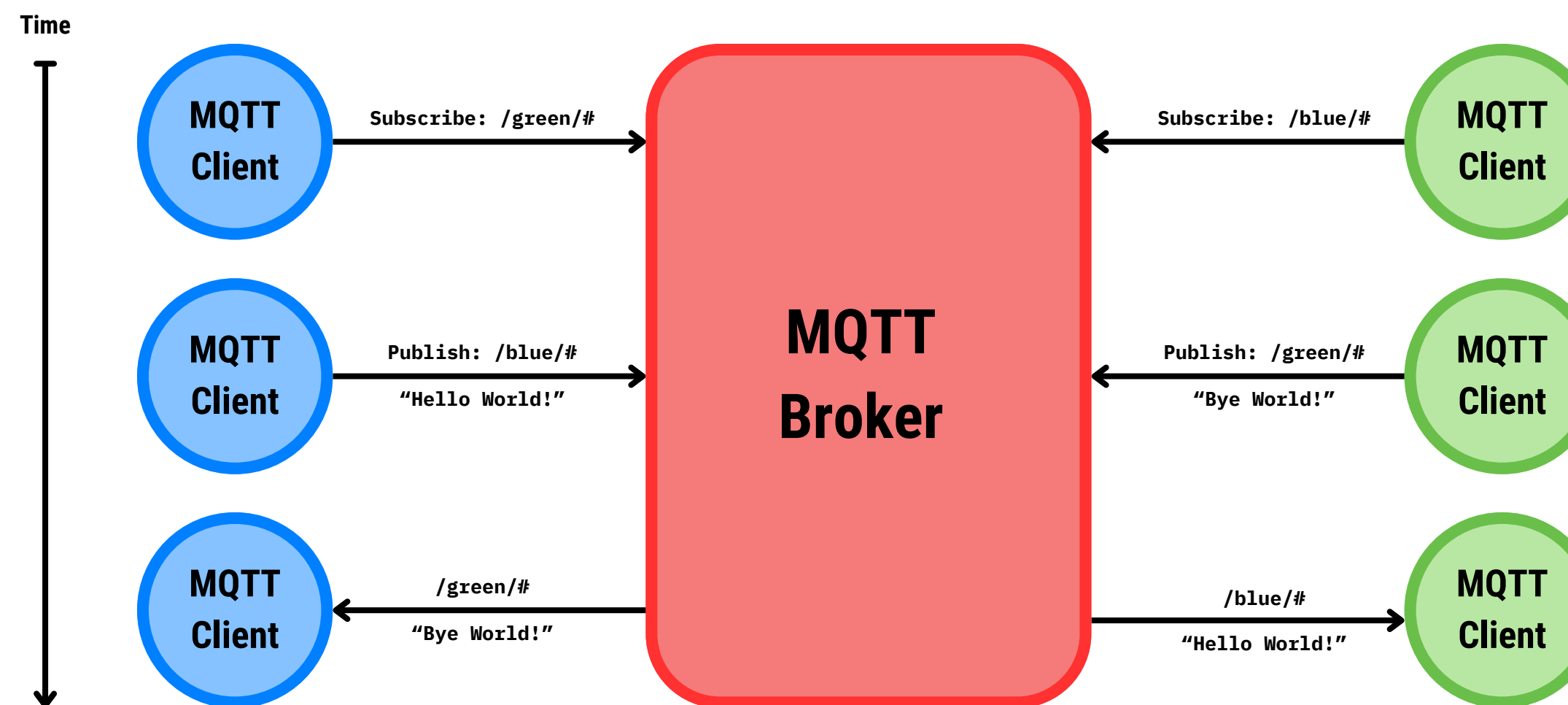
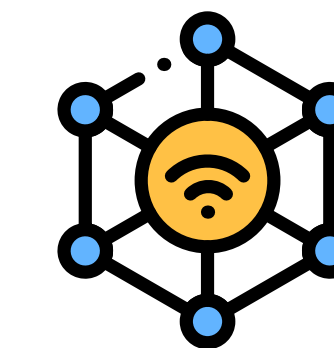
- [MQTT \(TCP/IP\)](#).
- [HTTP \(TCP/IP\)](#).
- ZigBee
- [Bluetooth Low Energy \(BLE\)](#).
- Matter (TCP/IP o Thread)



# MQTT



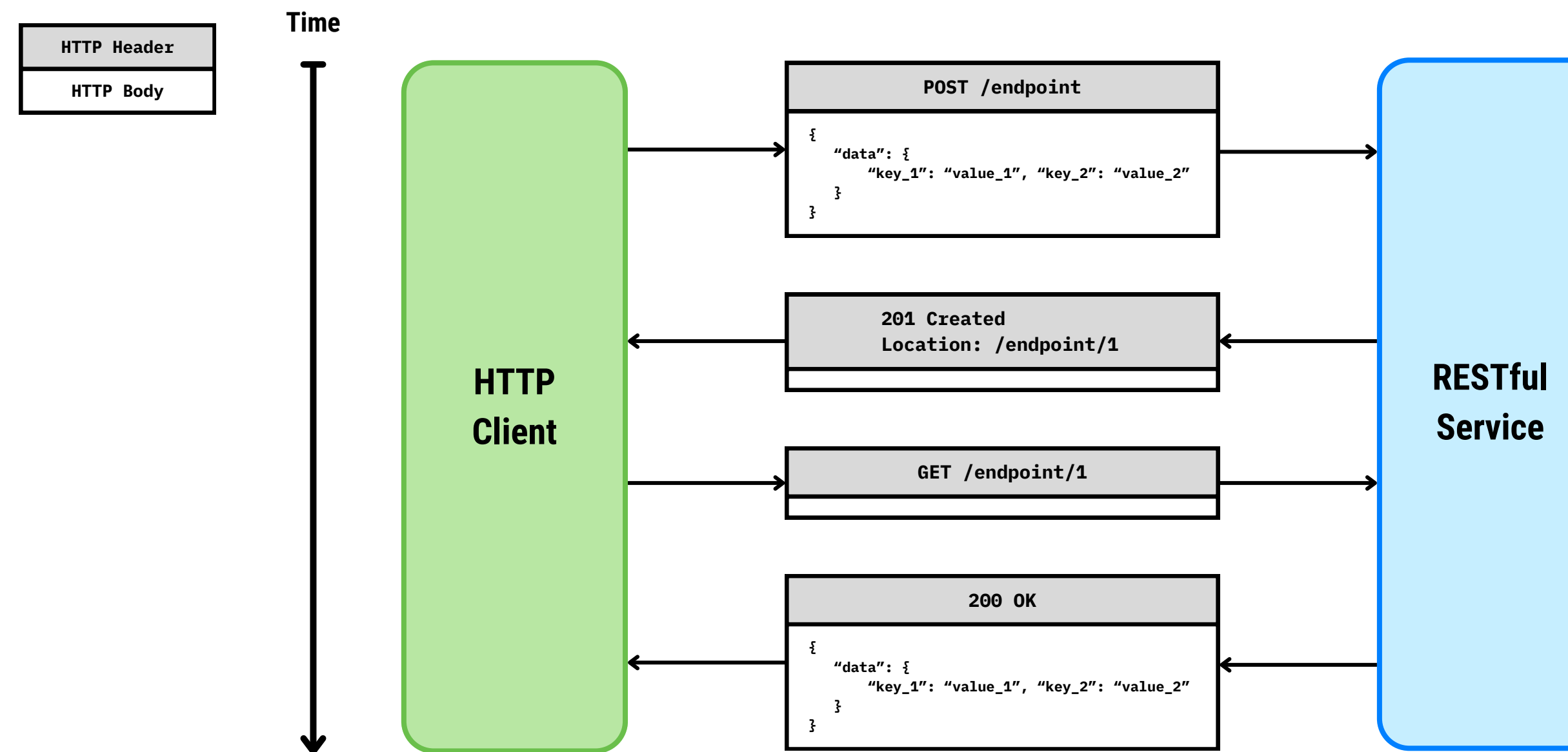
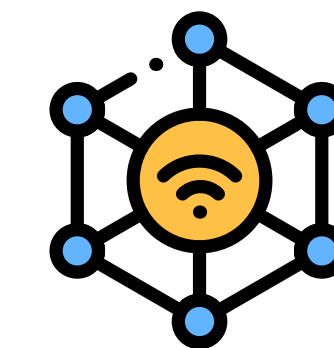
- Protocolo **ligero y binario** para comunicación M2M en la capa de aplicación TCP/IP.
- **Publish-subscribe**: clientes publican y se suscriben a tópicos específicos.
- Broker intermediario que enruta los mensajes entre los clientes.



# HTTP



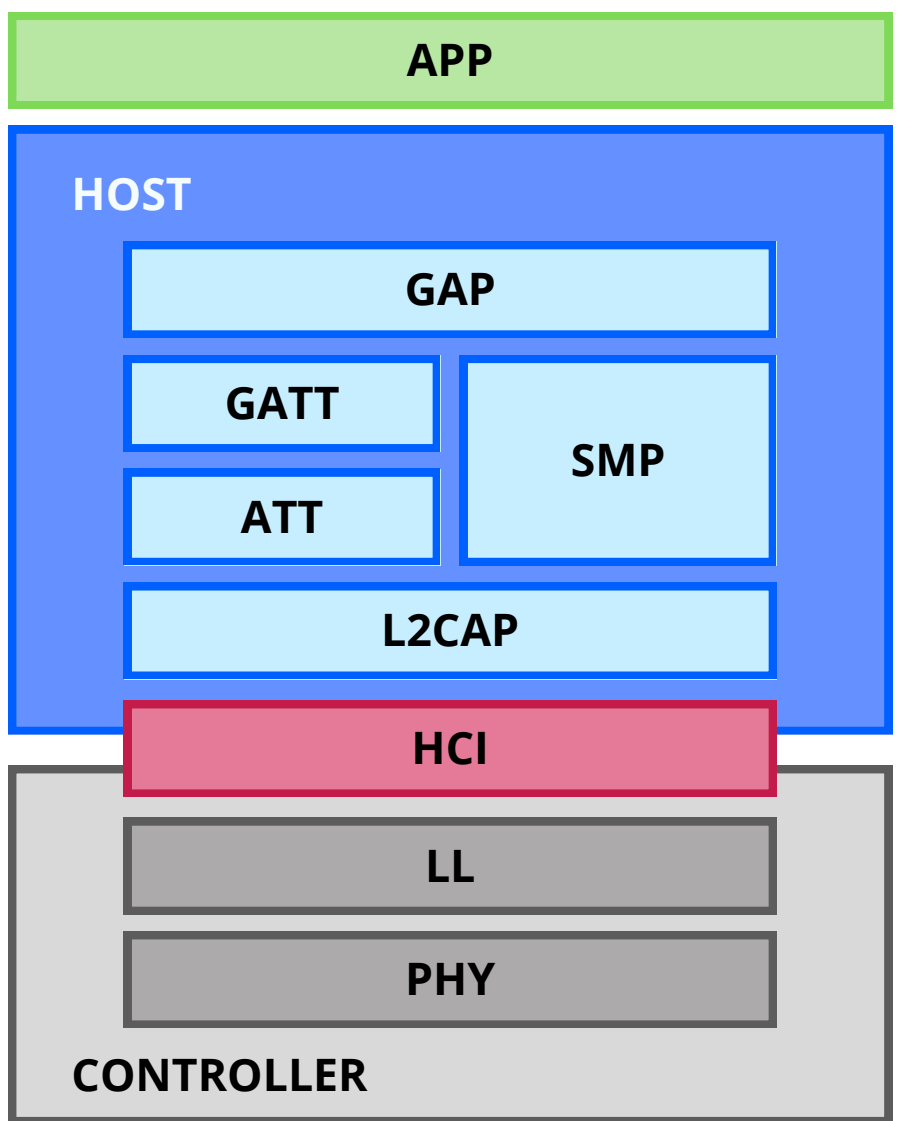
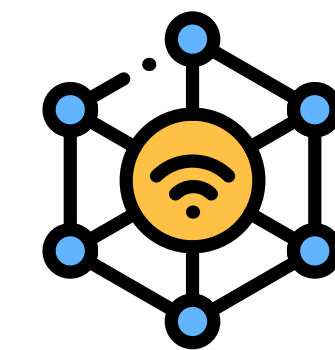
- Protocolo basado en texto para comunicación cliente-servidor en la capa de aplicación TCP/IP.
- **Request-response**: clientes envían peticiones al servidor quien responde de vuelta.



# BLE



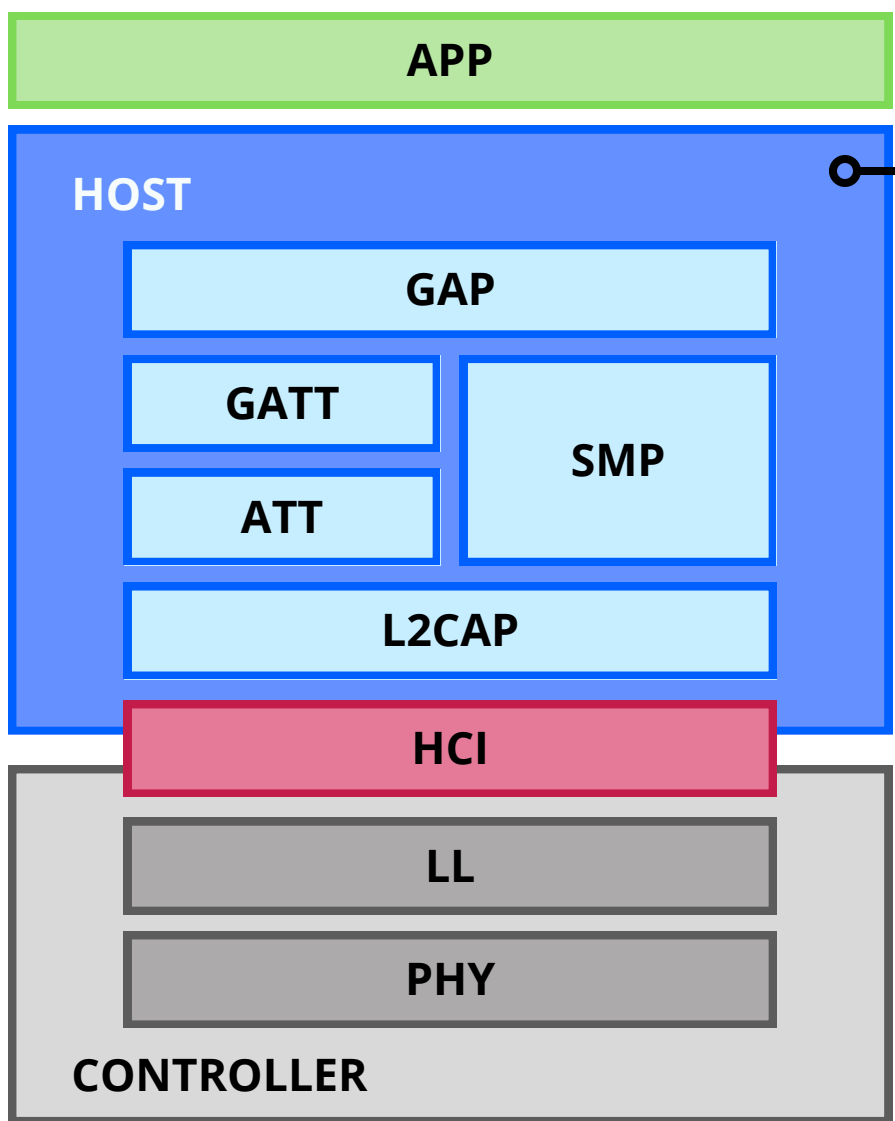
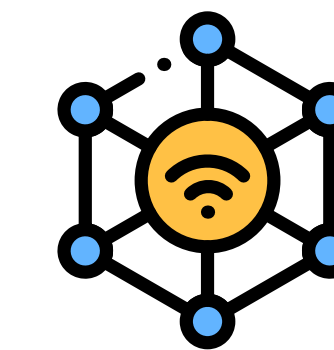
- BLE es una *versión* de Bluetooth de bajo consumo.
- Bluetooth clásico orientado a transmisión continua de datos.
- BLE optimizado para transmisiones breves y esporádicas.



# BLE



- BLE es una *versión* de Bluetooth de bajo consumo.
- Bluetooth clásico orientado a transmisión continua de datos.
- BLE optimizado para transmisiones breves y esporádicas.



## Host

**GAP:** Define roles de dispositivos (*Peripheral & Central*).

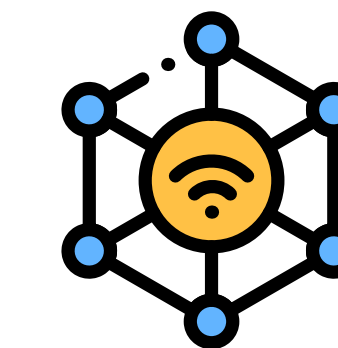
**GATT:** Provee estructura para acceder a datos (*Services & Characteristics*).

**ATT:** Permite el operar sobre *Attributes*.

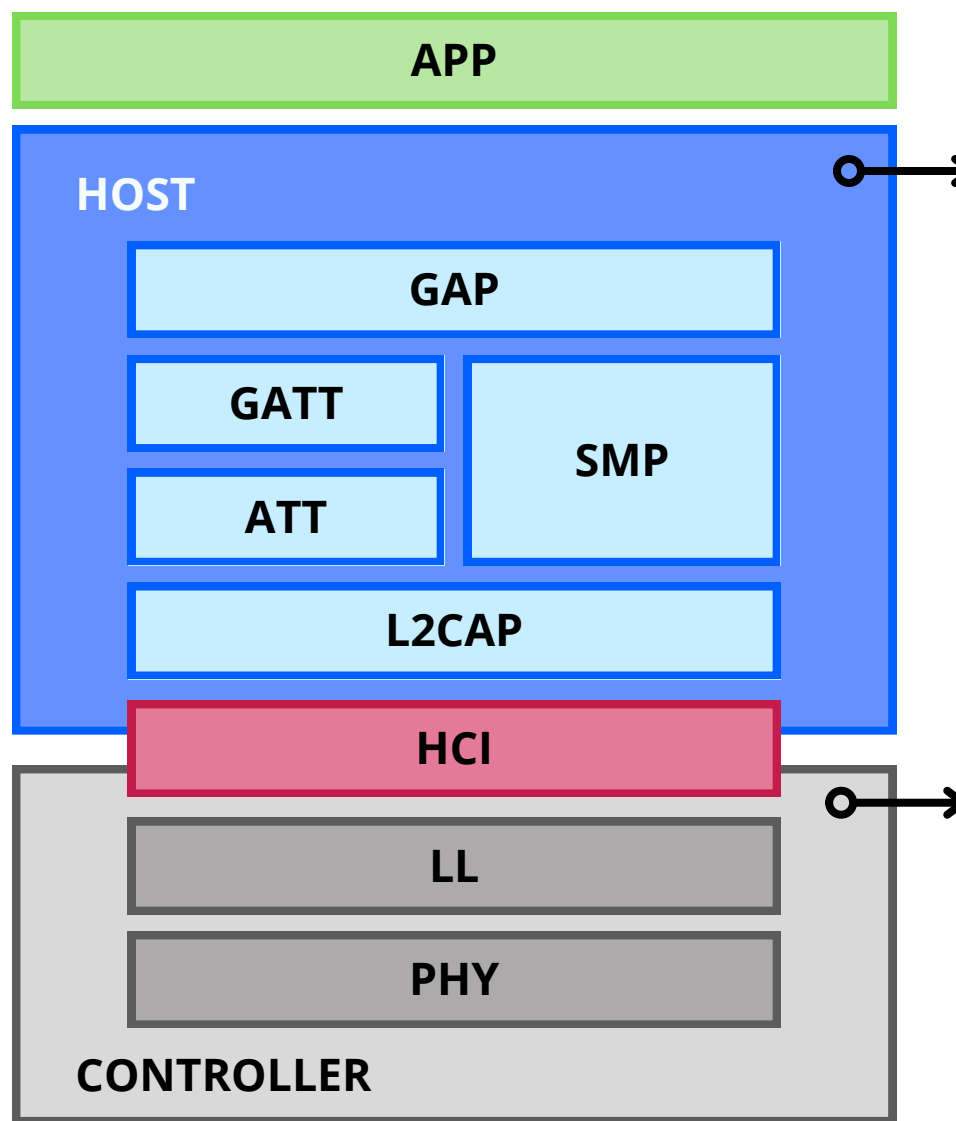
**SMP:** Gestiona seguridad en BLE, generalmente ignorado!!!

**L2CAP:** Multiplexion de datos entre capas superiores y capa de enlace.

# BLE



- BLE es una *versión* de Bluetooth de bajo consumo.
- Bluetooth clásico orientado a transmisión continua de datos.
- BLE optimizado para transmisiones breves y esporádicas.



## Host

**GAP:** Define roles de dispositivos (*Peripheral & Central*).

**GATT:** Provee estructura para acceder a datos (*Services & Characteristics*).

**ATT:** Permite el operar sobre *Attributes*.

**SMP:** Gestiona seguridad en BLE, generalmente ignorado!!!

**L2CAP:** Multiplexion de datos entre capas superiores y capa de enlace.

## Controller

### PHY:

- Opera en la banda ISM de 2.4 GHz.
- TX/RX señales.
- 40 Canales: 37 advertisement y 3 data.

### LL:

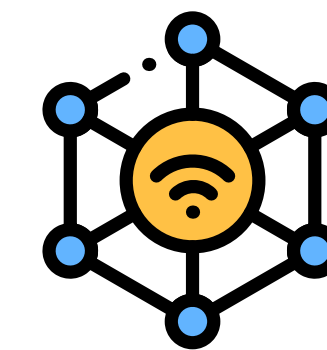
- Establece y mantiene conexiones.
- Gestiona Advertisement y Scaneo.
- Manejo de paquetes de datos.

# GAP



## Peripheral

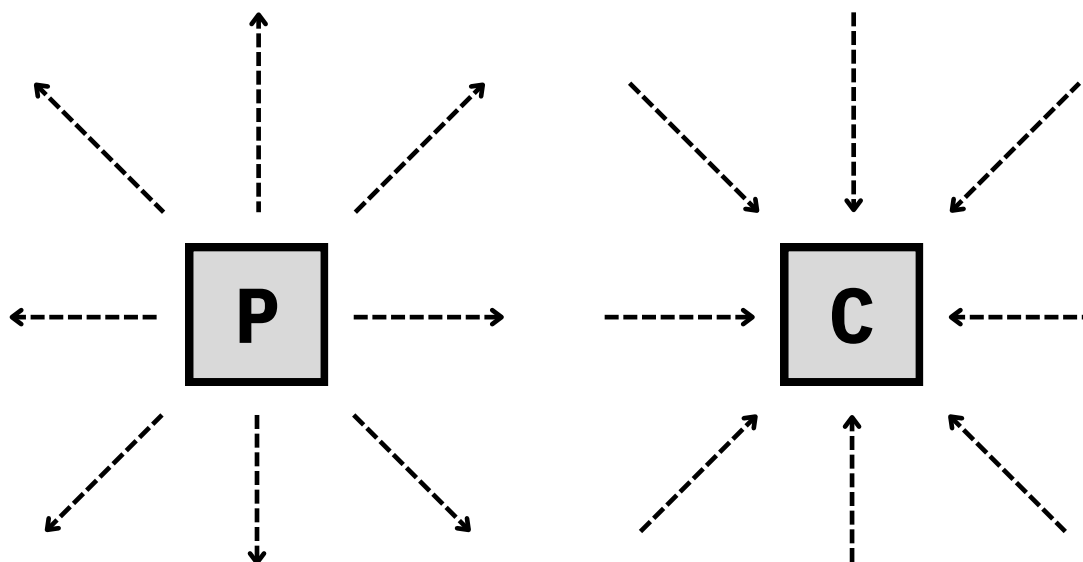
- Avisa de su disponibilidad hasta que un *Central* establece una conexión.



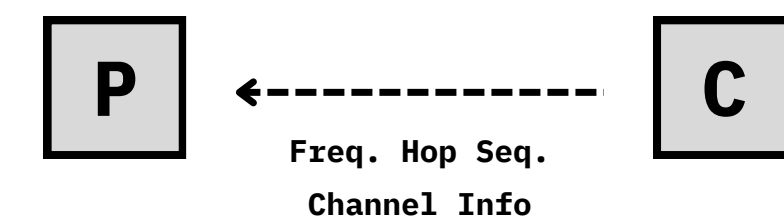
## Central

- Escanea buscando *Peripherals* y establece múltiples conexiones.

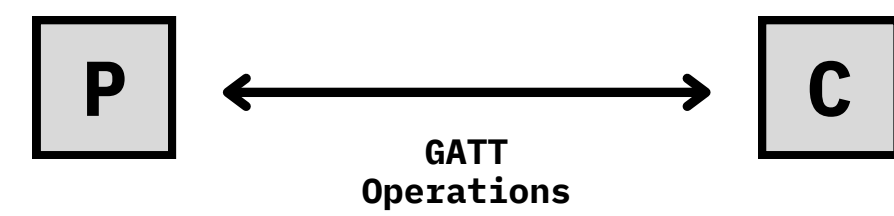
### (1) Advertisement - Scanning



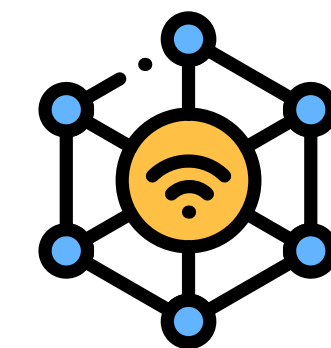
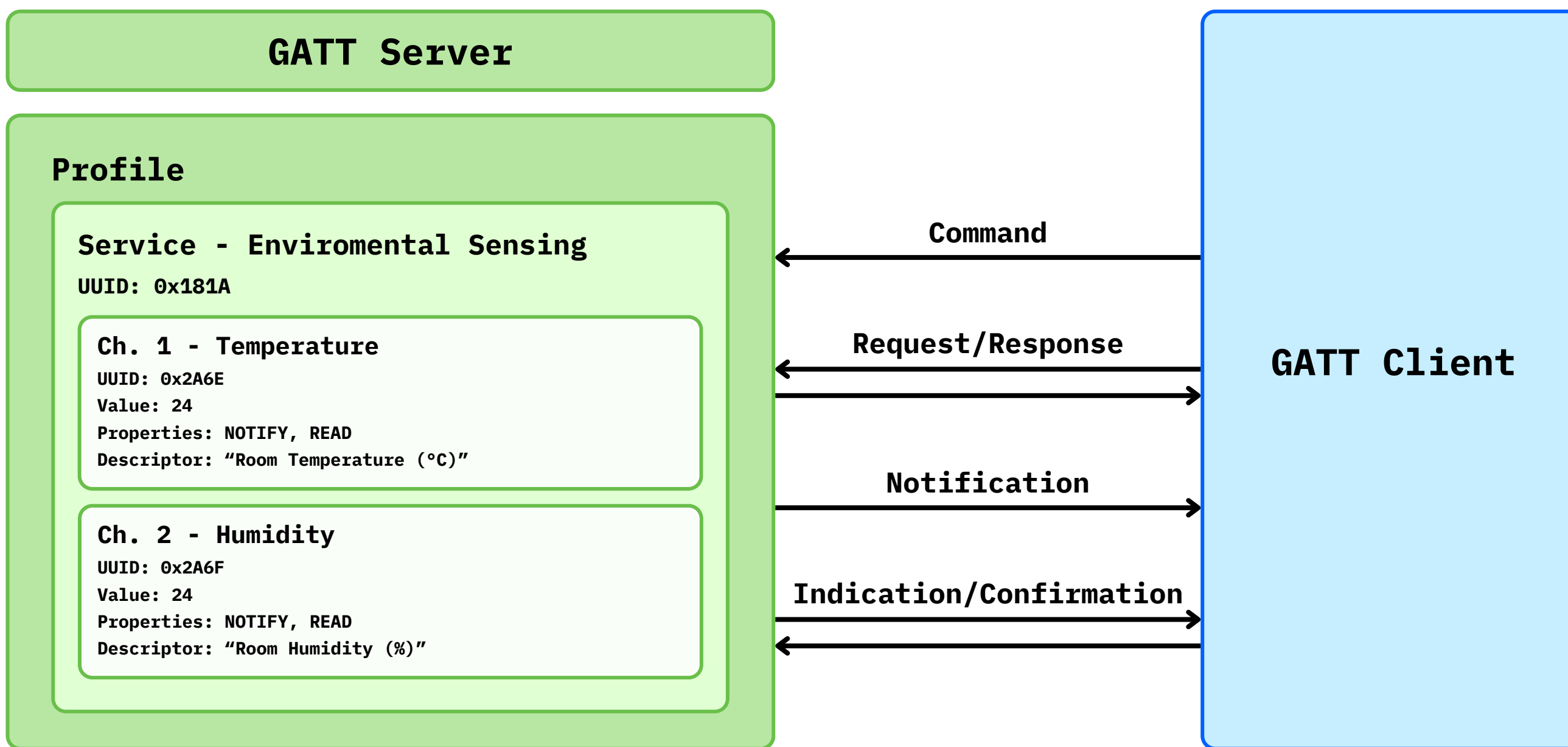
### (2) Initiating Connection



### (3) Connection Established



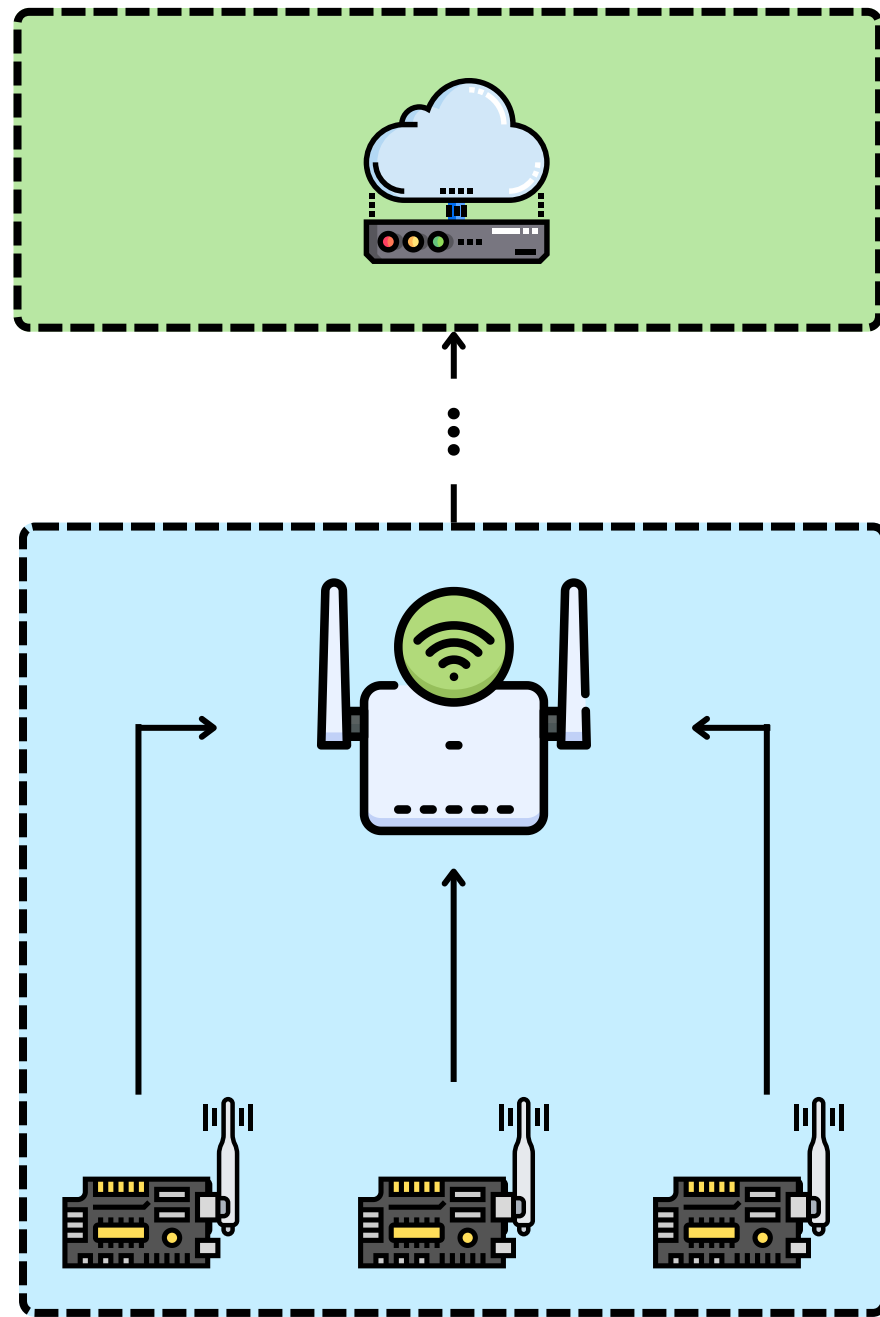
# GATT



# **PdM:** **Data Processing**

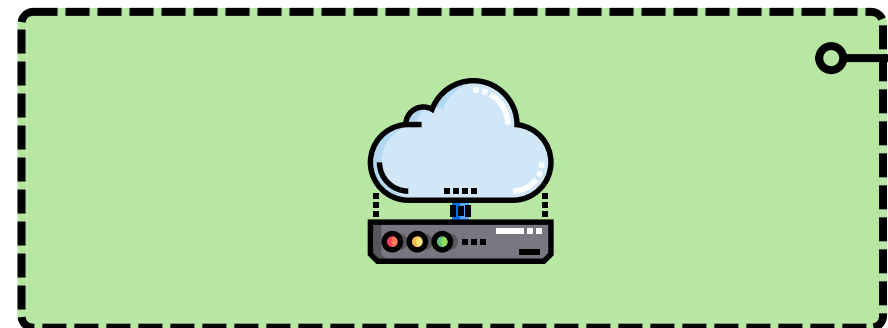
# Paradigmas de Computo

*Enfoques que definen dónde y cómo se procesan los datos en una red de dispositivos conectados, siendo Cloud Computing y Edge Computing los más importantes [8].*



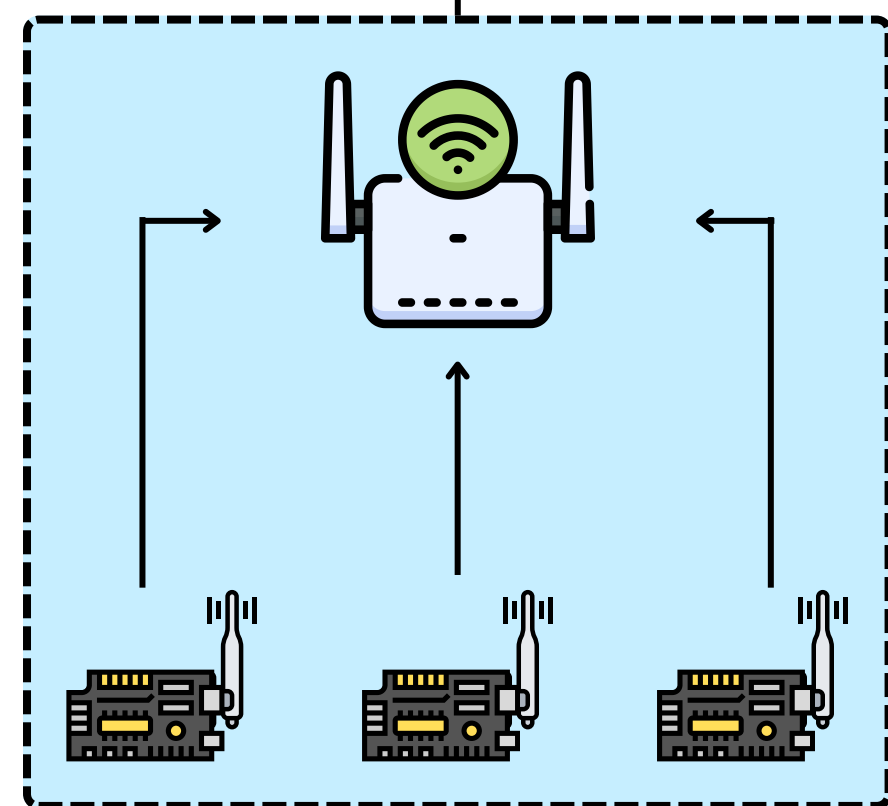
# Paradigmas de Computo

*Enfoques que definen dónde y cómo se procesan los datos en una red de dispositivos conectados, siendo Cloud Computing y Edge Computing los más importantes [8].*



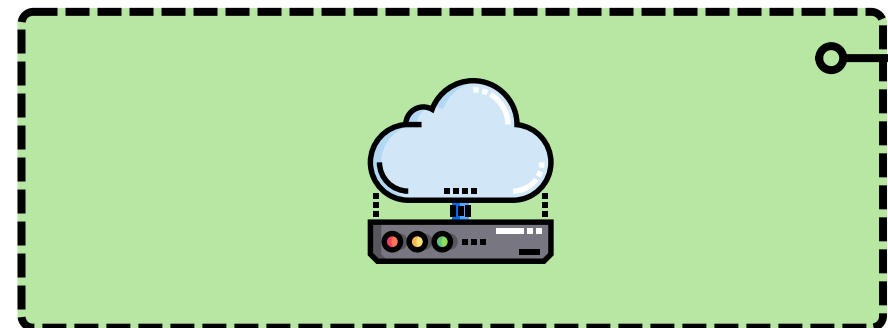
## Cloud Computing

- Procesamiento centralizado.
- Problemas de privacidad.
- Costoso al escalar.
- Alto poder de computo.



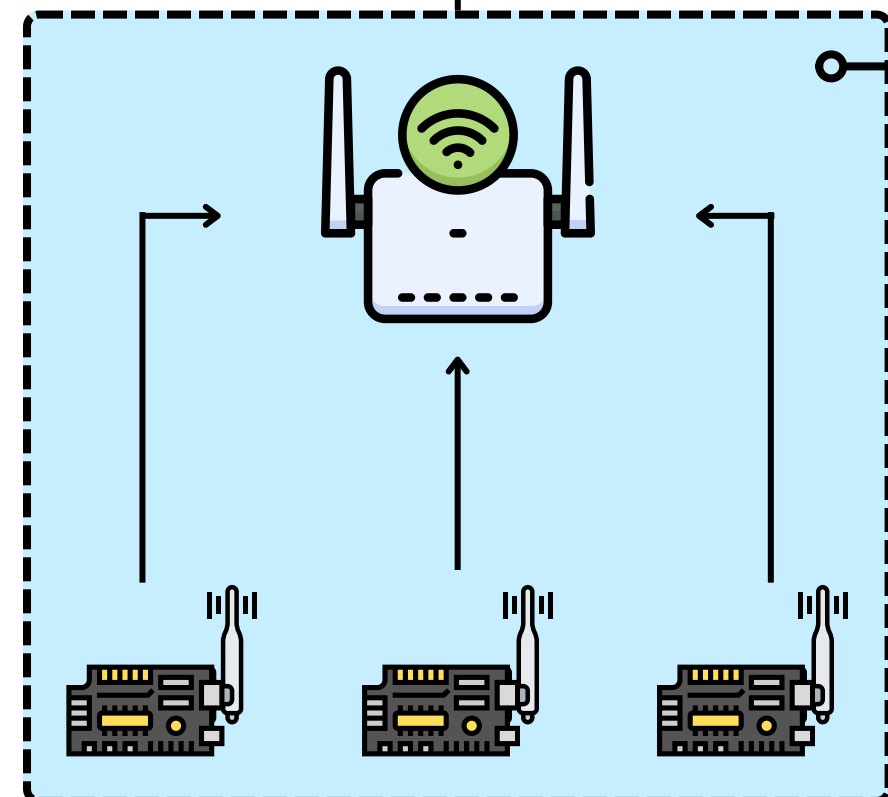
# Paradigmas de Computo

*Enfoques que definen dónde y cómo se procesan los datos en una red de dispositivos conectados, siendo Cloud Computing y Edge Computing los más importantes [8].*



## Cloud Computing

- Procesamiento centralizado.
- Problemas de privacidad.
- Costoso al escalar.
- Alto poder de computo.

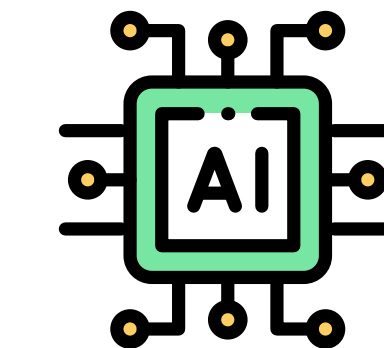


## Edge Computing

- Procesamiento distribuido.
- Cercano a donde se generan los datos.
- Barato al escalar.
- Buena privacidad pero propenso a ataques.
- *Edge devices* restringidos en memoria y CPU.

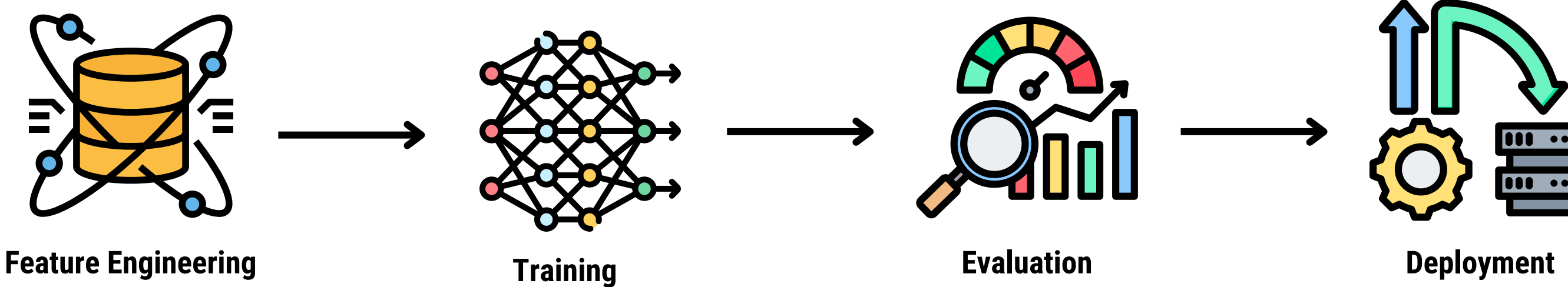
# Inteligencia Artificial

La *inteligencia artificial* (IA) ha revolucionado el *data-driven PdM*, permitiendo identificar patrones imposibles de detectar con métodos tradicionales [9].



## Machine Learning (ML)

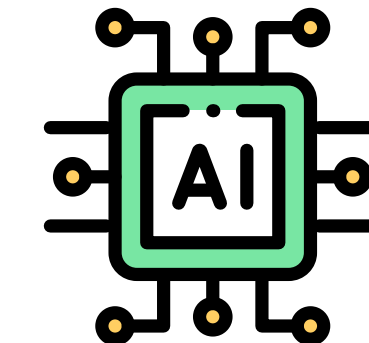
- ML permite construir modelos capaces de realizar predicciones sobre datos no vistos.
- Modelos aprenden a partir de **datos estructurados** entregados en el entrenamiento.
- Existen 3 paradigmas del aprendizaje: *Supervised, Unsupervised & Reinforced*.



# Inteligencia Artificial



## ML en PdM



Aplicación	Supervised	Unsupervised	Reinforced
Detección de Anomalías		✓	
<u>Monitoreo de Condición</u>	✓		
Estimación de la Vida Útil Restante	✓		
Optimización de rutinas de mantenimiento.			✓

# Inteligencia Artificial



## Deep Learning (DL)

- Modelos de DL consisten en **múltiples capas** de unidades de computo.
- La más sencilla es el **perceptrón**, inspirada por el comportamiento de las neuronas.
- Cada neurona aprende **actualizando sus parámetros** durante el entrenamiento.

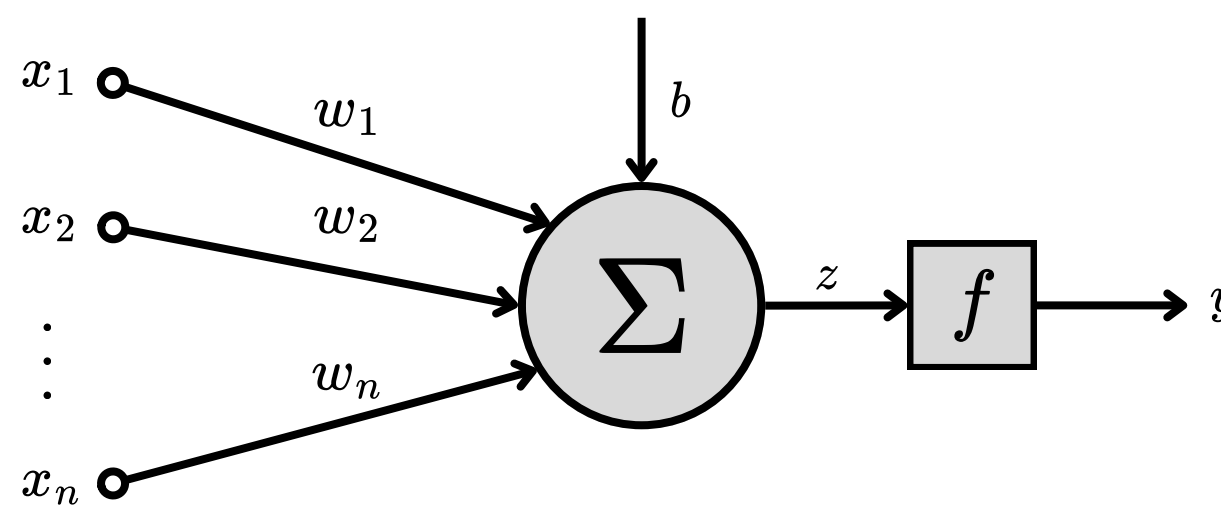
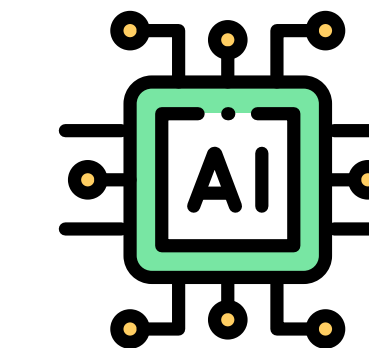
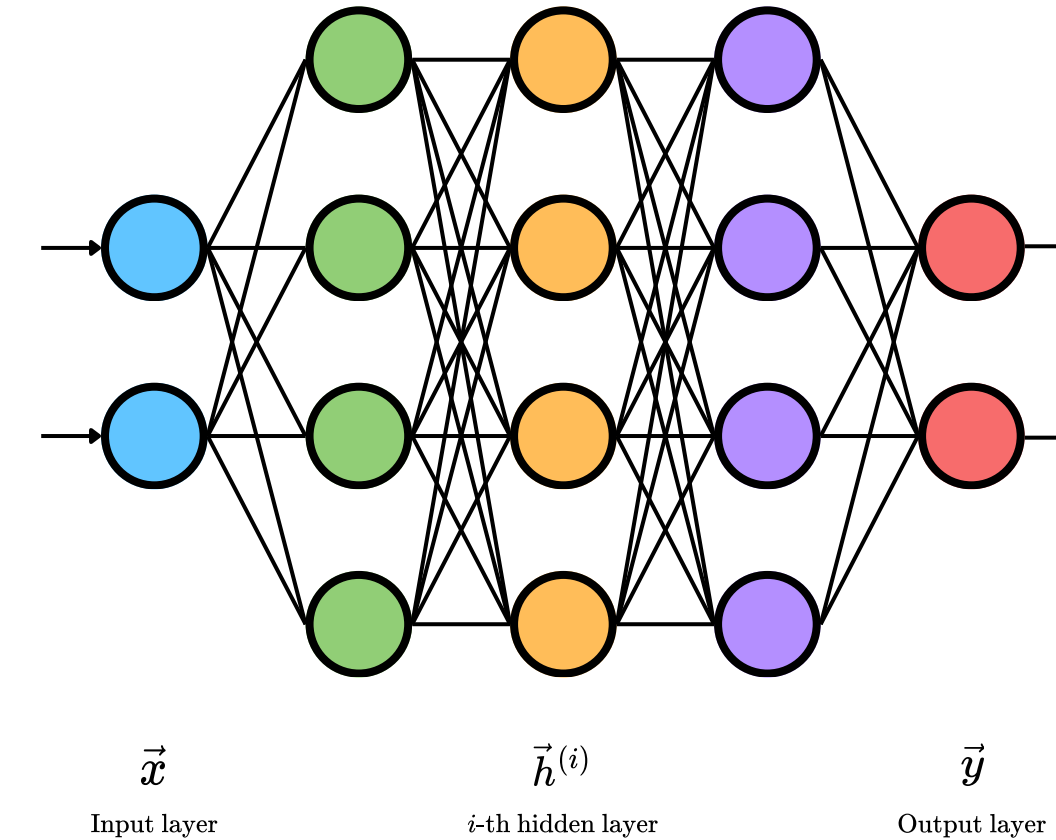


Diagram of a Perceptron



# Arquitecturas del DL



- En PdM los datos son generalmente señales digitales.
- *Convolutional Neural Networks (CNN)* permiten capturar **patrones espaciales**.
- *Recurrent Neural Networks (RNN)* permiten capturar **dependencias temporales**.

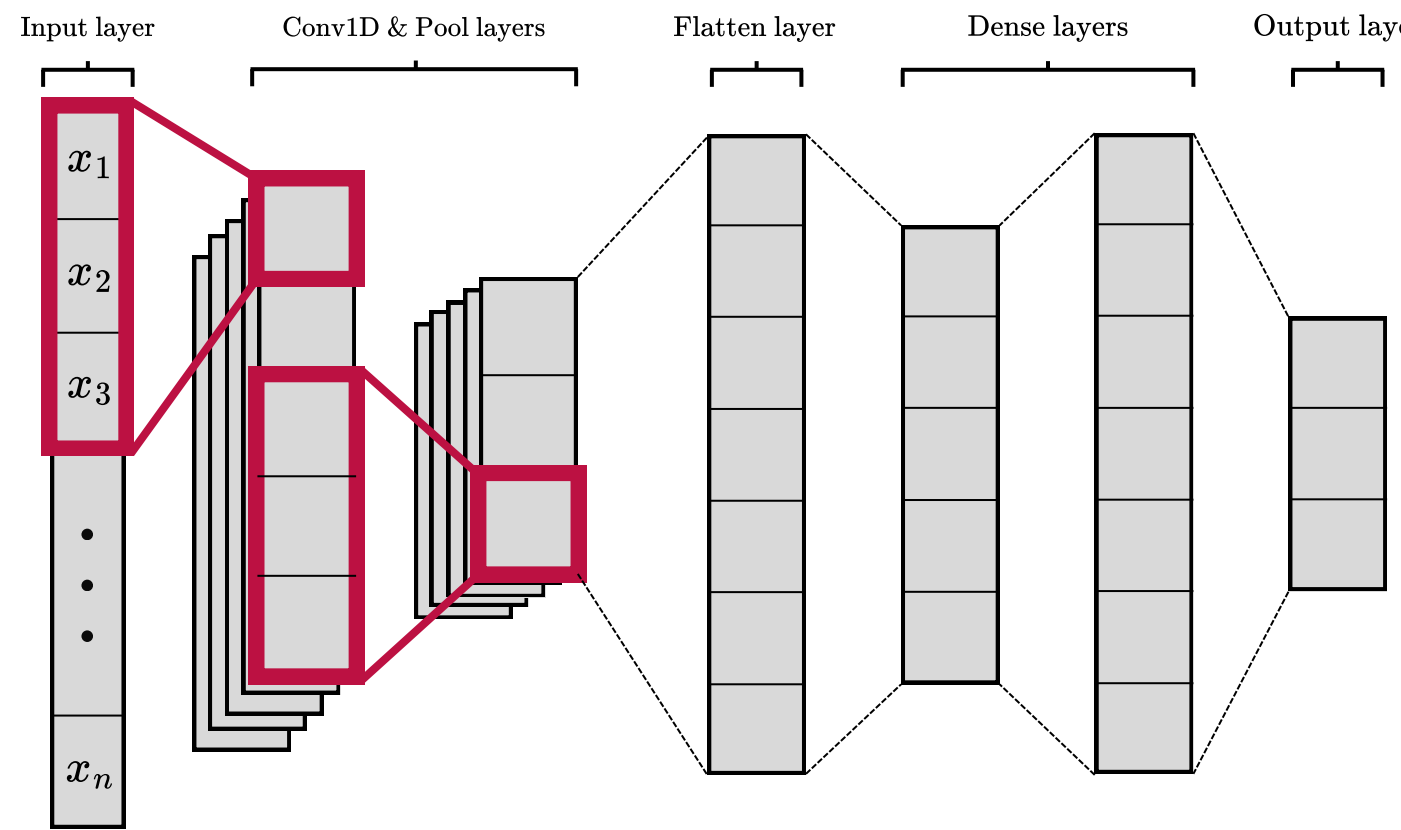
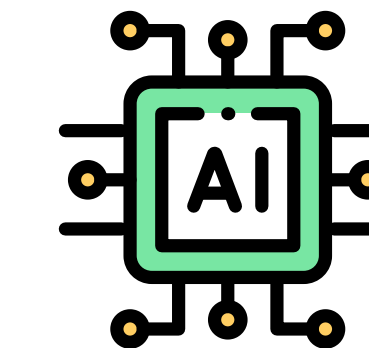


Diagram of a CNN

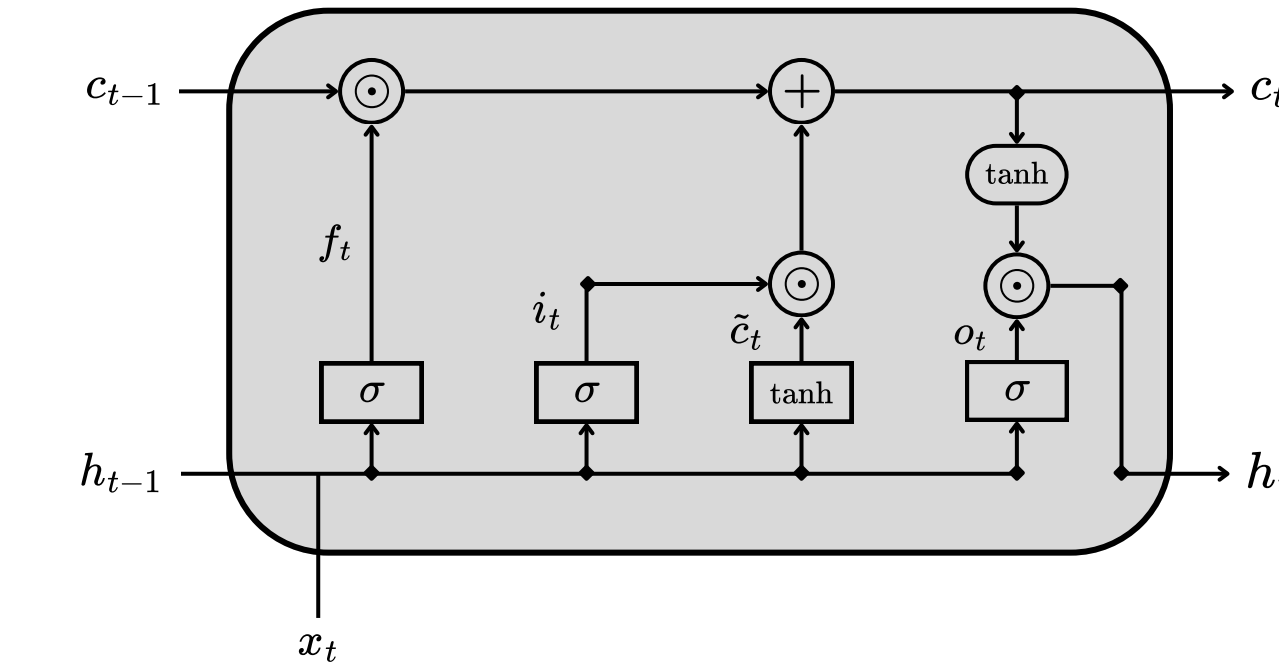


Diagram of an LSTM cell

# TinyML

*Tiny Machine Learning (TinyML) busca habilitar capacidades de ML en dispositivos limitados como wearables, sensores inalámbricos, smartphones, SBCs y MCUs [10].*



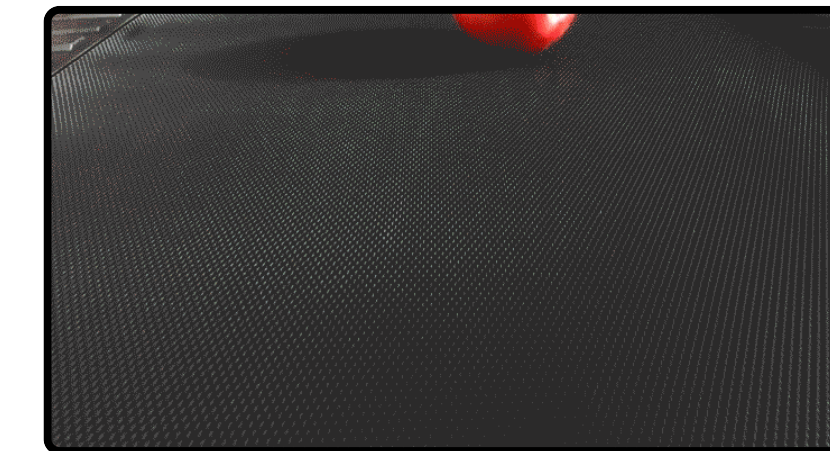
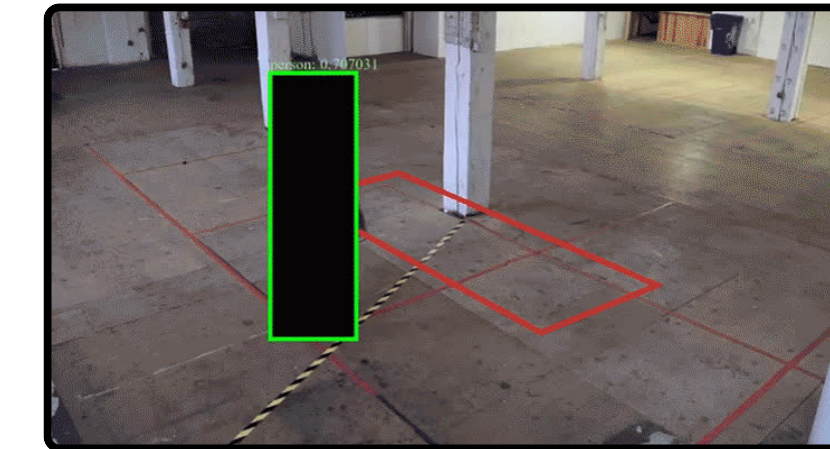
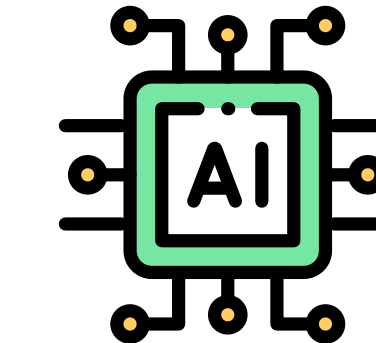
TinyML existe gracias a constantes innovaciones en hardware y software.

- **Hardware:**

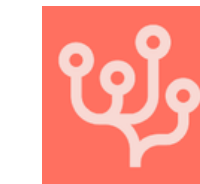
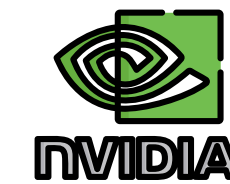
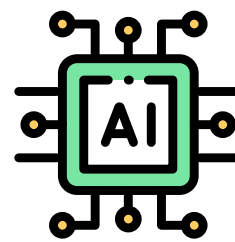
- *NVIDIA Jetson Nano (SBC).*
- *Google Coral Edge TPU (ASIC) .*
- *AMD's Zynq UltraScale+ (FPGA).*

- **Software:**

- *Tensorflow Lite for Microcontrollers (TFLM).*
- *Arm's CMSIS NN.*
- *NVIDIA TensorRT.*



Demo Coral Edge TPU - Google ©



TensorFlow

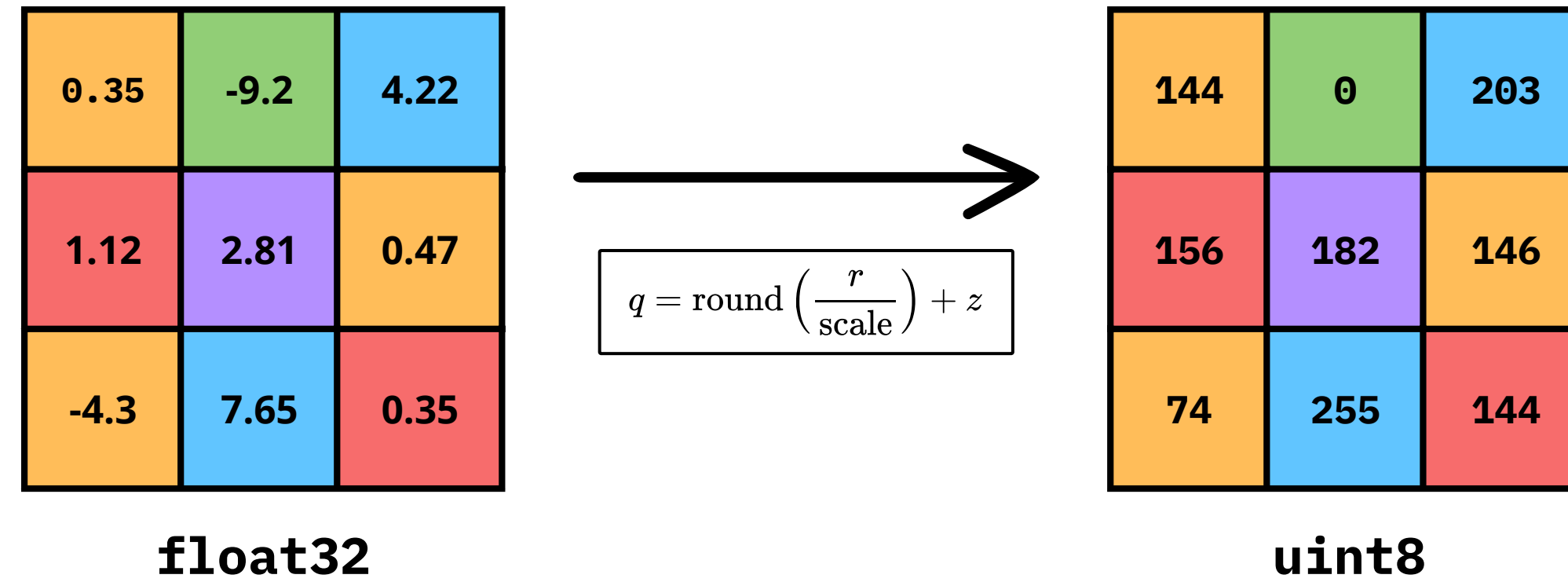
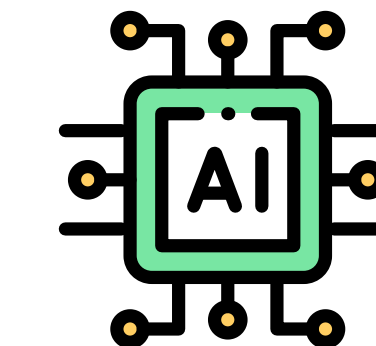
# Quantization

Técnica de optimización que busca reducir el tamaño y acelerar el proceso de inferencia de un modelo disminuyendo la precisión de sus componentes de 32 a 8 bits [11].



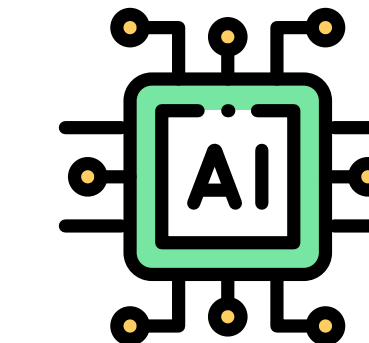
**Dynamic-range Quantization:** Cuantización estática para parámetros y dinámica para activaciones, inputs y outputs.

**Full Integer Quantization:** Cuantización estática de todos los componentes, requiere conocer la distribución de datos.



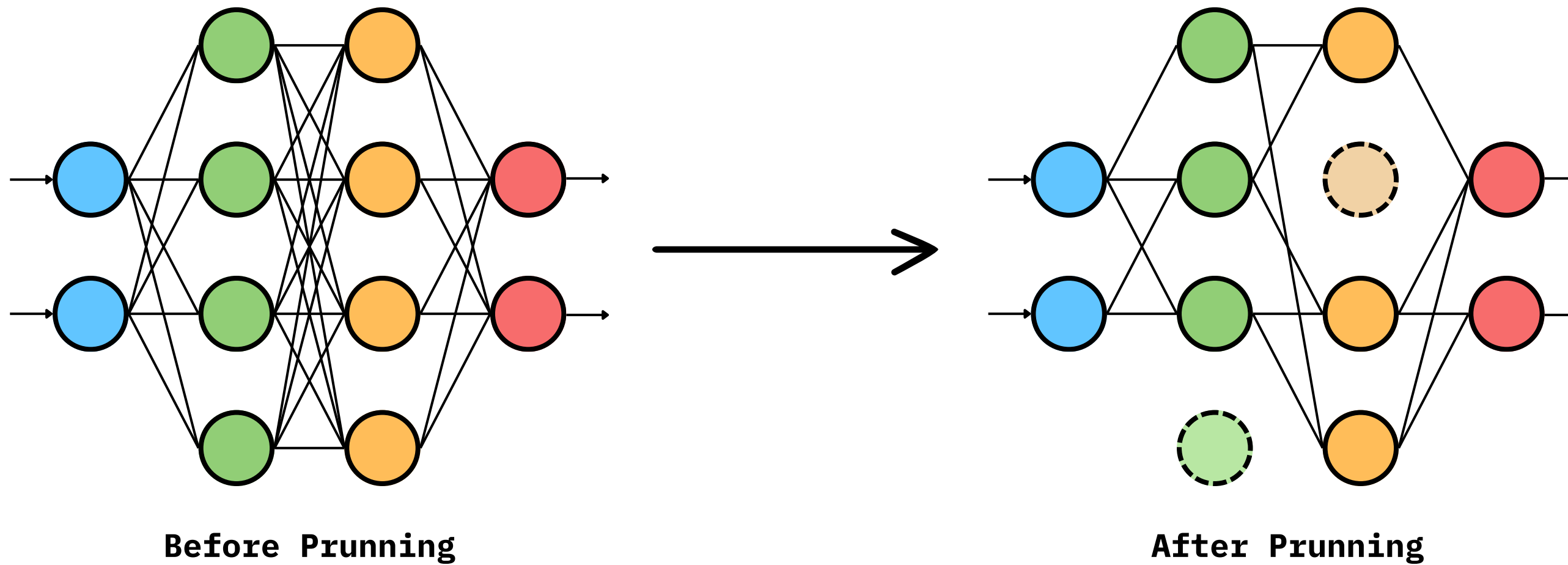
# Pruning

Técnica de optimización que progresivamente lleva a cero los parámetros menos relevantes en un modelo, acelerando el proceso de inferencia e indirectamente ayudando a la generalización [12].



## Notar que:

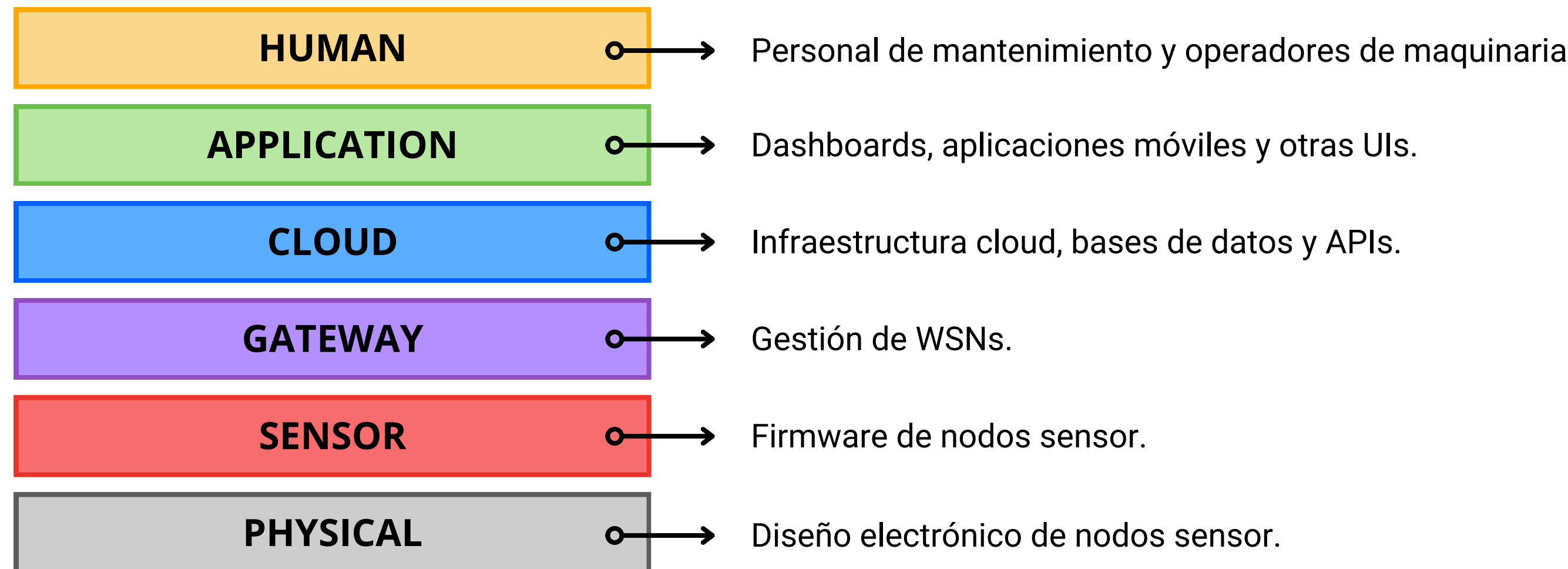
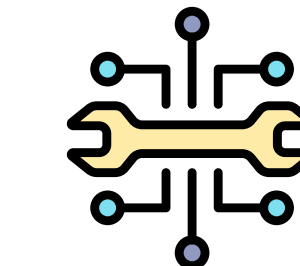
- Tras aplicar pruning, el tamaño del modelo es el **mismo**.
- Sin embargo, el tamaño tras compresión es considerablemente menor al caso sin pruning.



# PdM Frameworks

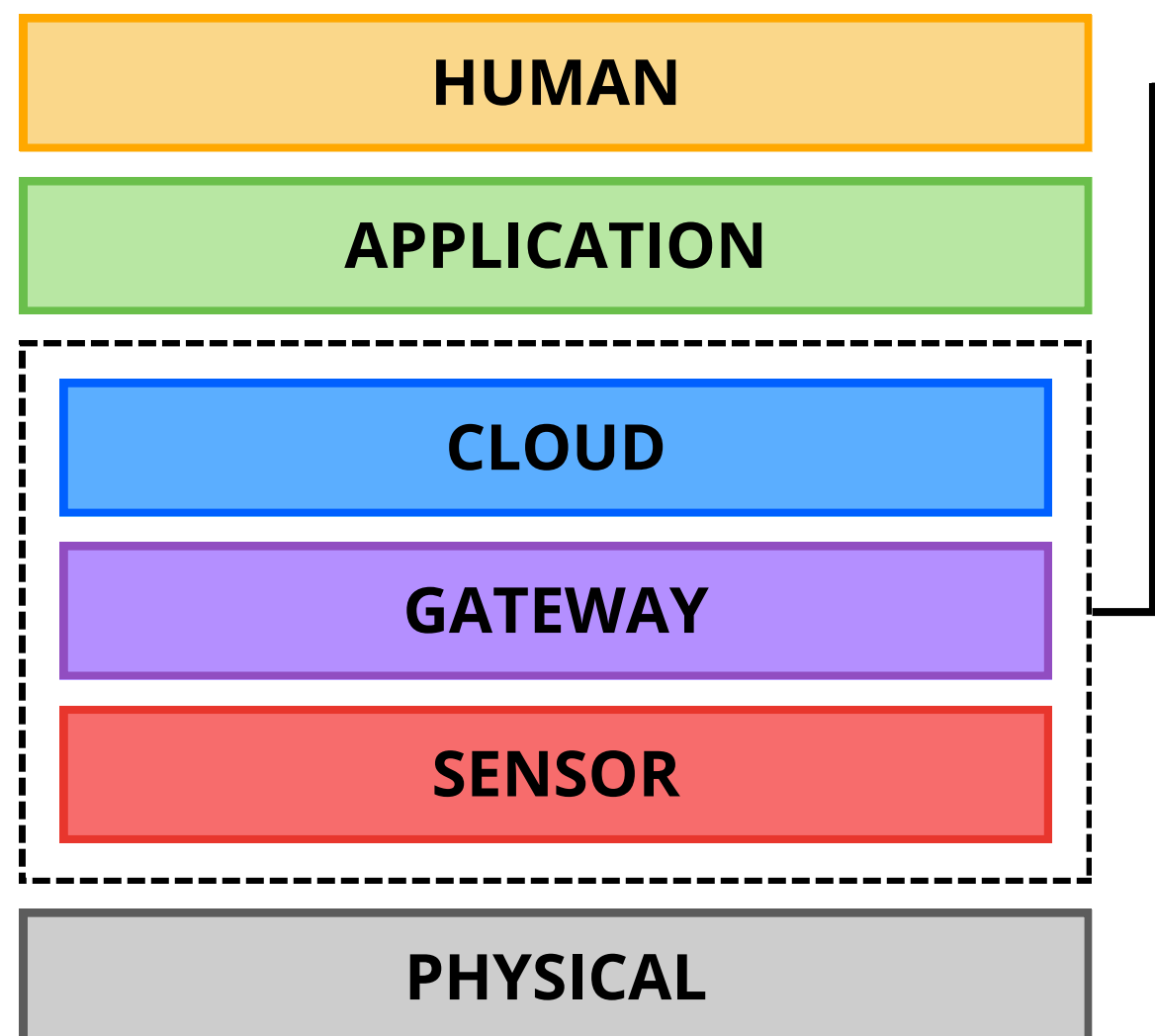
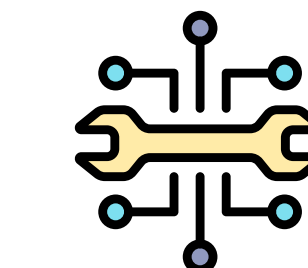
# PdM Frameworks

*Soluciones estructuradas que integran dispositivos físicos, recopilación, visualización y procesamiento de datos, redes, modelos de ML y el personal para permitir el PdM.*



# PdM Frameworks

Soluciones estructuradas que *integran dispositivos físicos, recopilación, visualización y procesamiento de datos, redes, modelos de ML y el personal para permitir el PdM.*



## Infraestructura IT

- Núcleo del sistema PdM, encargado del *data acquisition* y *data processing*.
- **¿Donde se despliega el ML?**
  - Cloud-based Inference.
  - Gateway-based Inference.
  - Sensor-based Inference.
- La decisión afecta directamente:
  - Accuracy de las predicciones.
  - Latencia de inferencia.
  - Consumo energético nodos.
  - Tráfico en la WSN.
- La decisión se mantiene **fija**.

# Problema de Investigación

*“La rigidez en el proceso de inferencia exhibido por los PdM frameworks propuestos en la literatura no es suficiente para aquellos escenarios en donde las condiciones operacionales varían en el tiempo, requiriendo una solución más flexible.”*

# Preguntas de Investigación



## Preguntas principales

**¿Cómo se puede diseñar un PdM framework que organice modelos de ML de manera jerárquica a través de las tres capas de una red IoT?**

- *Hipótesis 1: Modelos de ML cada vez más complejos pueden desplegarse en un solo PdM framework que integre los acercamientos tradicionales, permitiendo a los nodos elegir dónde realizar la inferencia.*



**¿Cómo puede adaptarse la ubicación de la inferencia de un nodo según factores operativos?**

- *Hipótesis 2: Heurísticas desplegadas en cada capa pueden actualizar en el modo de inferencia de un nodo basándose en predicciones anteriores, niveles de batería y disponibilidad del gateway.*

# Preguntas de Investigación



## Preguntas secundarias

**¿Cómo afecta el despliegue de modelos TinyML en nodos al consumo energético y la vida útil de la batería de estos dispositivos versus delegar la inferencia al gateway o la nube?**

- *Hipótesis 3: Desplegar modelos TinyML en nodos IoT económicos y con recursos limitados reduce significativamente el consumo de energía de los dispositivos en comparación con la ejecución de la inferencia de manera remota.*

**¿Cómo se comparan las latencias al realizar la inferencia en nodos, gateways o en el cloud?**

- *Hipótesis 4: Al desplegar modelos PdM en una red IoT, la latencia de inferencia es más baja cuando se realiza en los nodos, aumenta ligeramente al ejecutarse en el gateway y es la más alta al depender de la nube.*

**¿Cómo se comporta el tráfico en la WSN al realizar la inferencia en nodos, gateways o en el cloud?**

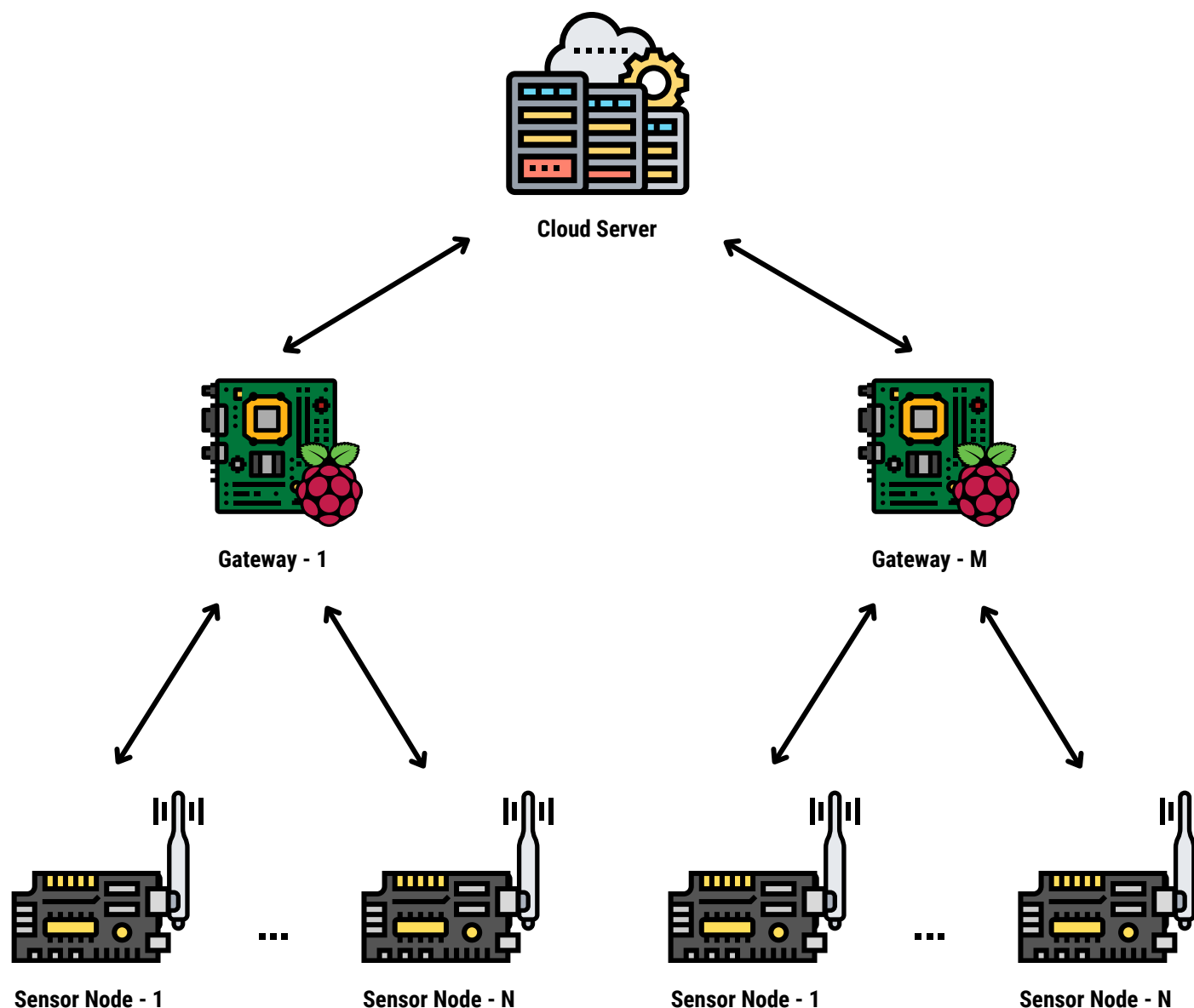
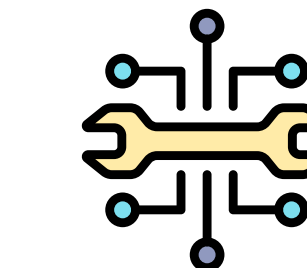
- *Hipótesis 5: El tráfico de la WSN se minimiza al realizar la inferencia en los nodos, aumenta ligeramente al depender del gateway y drásticamente al realizar la inferencia en la nube.*



# **Solucion Propuesta: ESN-PdM Framework**

# ESN-PdM Framework

Una solución PdM orientada al monitoreo de condición en tiempo real que combina propuestas tradicionales y las extiende, entregando una infraestructura sólida, inferencia jerárquica y versátil.

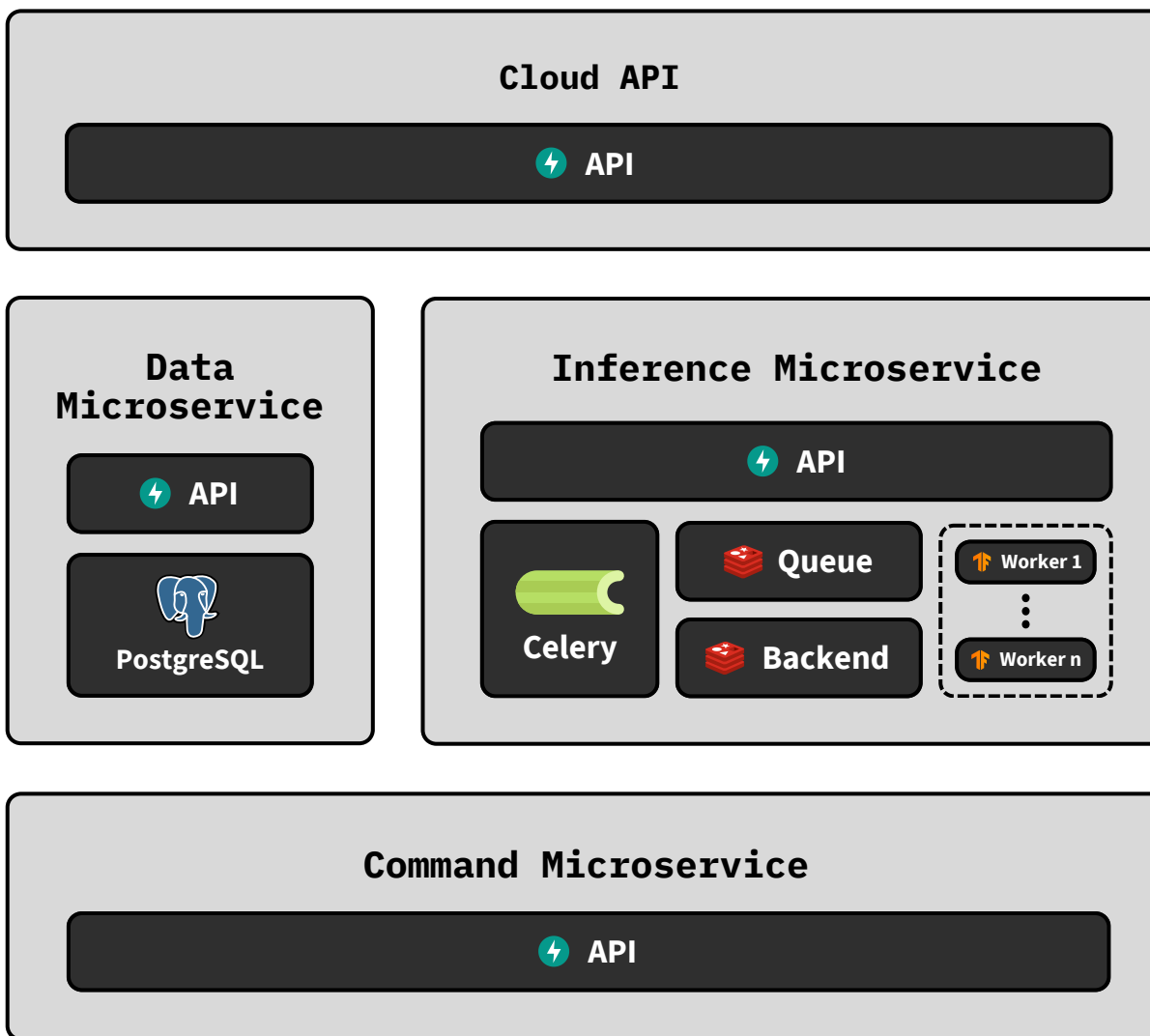
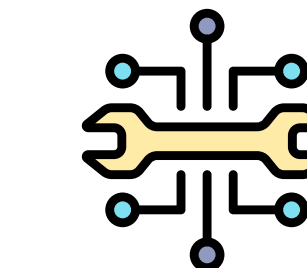


## Solución Propuesta

- **Comprehensive Infrastructure:** Aprovisionamiento seguro de nodos, la recopilación de datos, la comunicación y el análisis.
- **Edge and Cloud Intelligence:** Combina inferencia en sensores, gateway y nube en una solución unificada.
- **Versatile ML-based PdM:** Mecanismo adaptativo que actualiza el modo de inferencia en tiempo real.

# ESN-PdM: Cloud Layer

Primera capa del framework, interactuando directamente con la capa de aplicacion y la capa gateway.  
La capa cloud orquesta el resto del sistema, ofreciendo almacenamiento, inferencia y comandos.



Cloud Layer Architecture Diagram

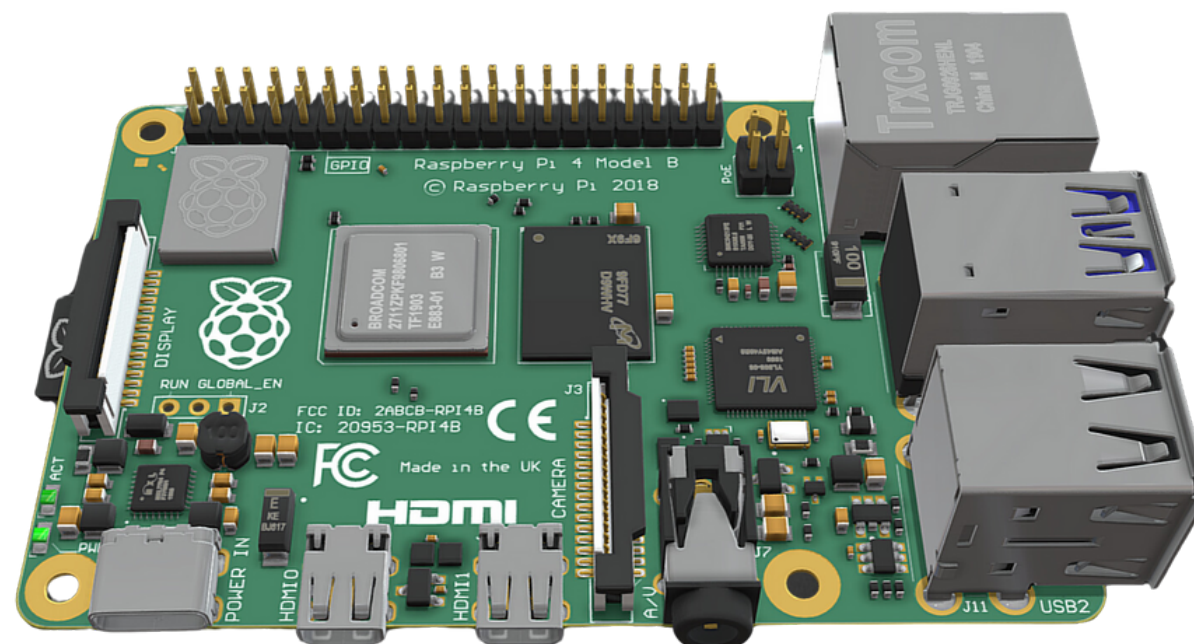
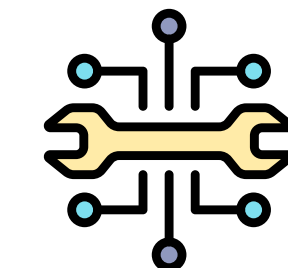
- **Cloud API:** Punto de entrada para requests a la capa cloud, proporcionando una API RESTful para interactuar con el sistema.
- **Data Microservice:** Maneja y expone operaciones CRUD para los modelos de datos de la capa, interactuando con una base de datos.
- **Inference Microservice:** Gestiona una cola de tareas asíncronas. Cada tarea es una medición de un sensor a la espera de inferencia.
- **Command Microservice:** Envía comandos a capas inferiores. Almacena respuestas en un caché para rápida recolección.

# ESN-PdM: Gateway Layer

Segunda capa del framework, interactúa directamente con la capa cloud y la capa sensor. Gestiona una WSN descubriendo, aprovisionando y configurando nuevos dispositivos, entre otras funciones.



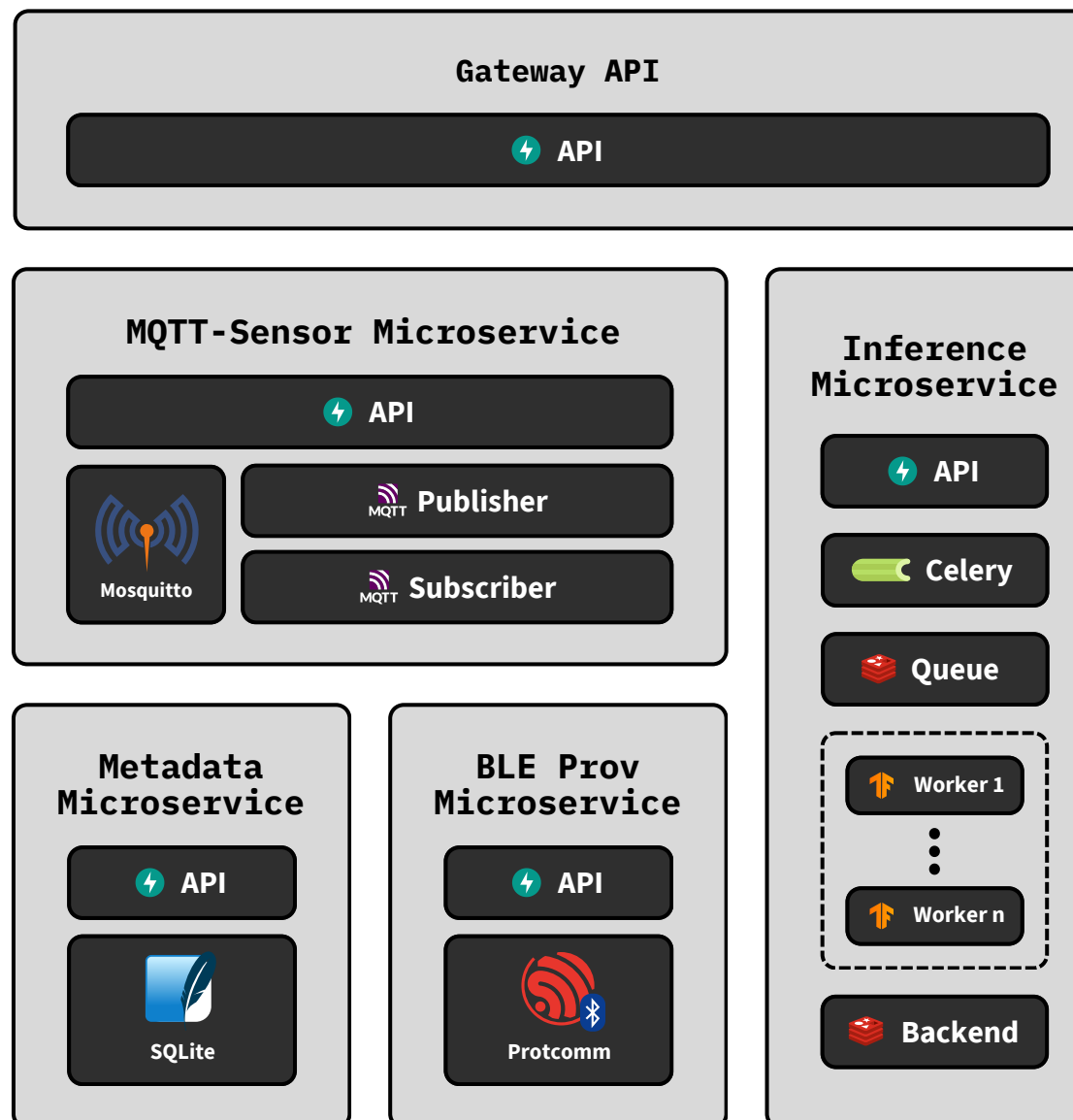
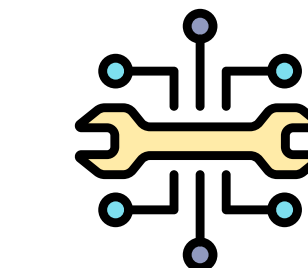
- **Conectividad avanzada:** Incluye Ethernet Gigabit, Wi-Fi 5 y Bluetooth 5.0.
- **Alto rendimiento:** Equipado con un procesador Quad-core Cortex-A72 a 1.5 GHz y hasta 8 GB de RAM.
- **Costo accesible:** SBC muy económico, ofreciendo una excelente relación calidad-precio.
- **Flexibilidad de expansión:** Dispone de un conector GPIO de 40 pines y múltiples puertos USB.
- **Almacenamiento expandible:** Soporta tarjetas microSD de alta capacidad.



Raspberry Pi 4 Model B 3D Render

# ESN-PdM: Gateway Layer

Segunda capa del framework, interactúa directamente con la capa cloud y la capa sensor. Gestiona una WSN descubriendo, aprovisionando y configurando nuevos dispositivos, entre otras funciones.



- **Gateway API:** Punto de entrada para requests a la capa gateway, proporcionando una API RESTful para interactuar con los servicios.
- **Metadata Microservice:** Gestiona todas las operaciones CRUD relacionadas con los metadatos dentro de la capa de gateway.
- **Inference Microservice:** Gestiona una cola de tareas asíncronas. Cada tarea es una medición de un sensor a la espera de inferencia.
- **MQTT-Sensor Microservice:** Encargado de la comunicación entre el gateway y los sensores a través de MQTT.
- **BLE Prov Microservice:** Encargado de detectar y aprovisionar nuevos nodos con las credenciales WiFi a través de BLE utilizando el *Protcomm Provisioning Protocol* de *Espressif*.

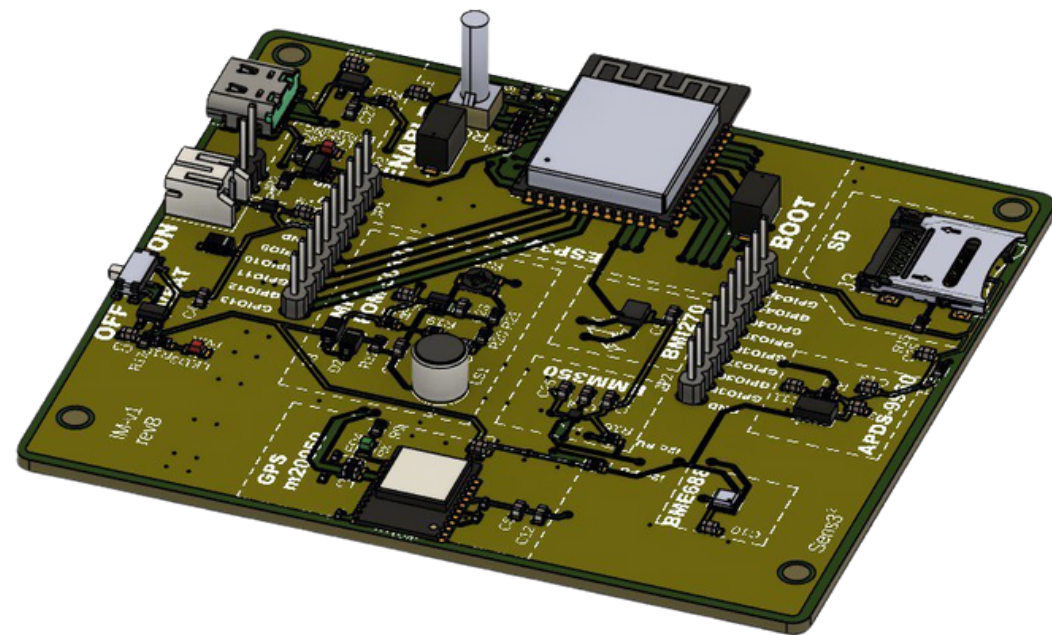
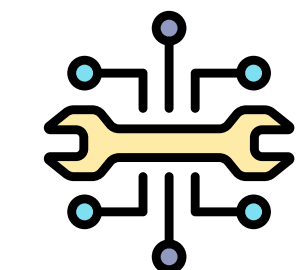
Gateway Layer Architecture Diagram

# ESN-PdM: Sensor Layer

Tercera y ultima capa del framework, envía información a la capa gateway e interactúa directamente con el entorno físico a través de módulos de sensado.



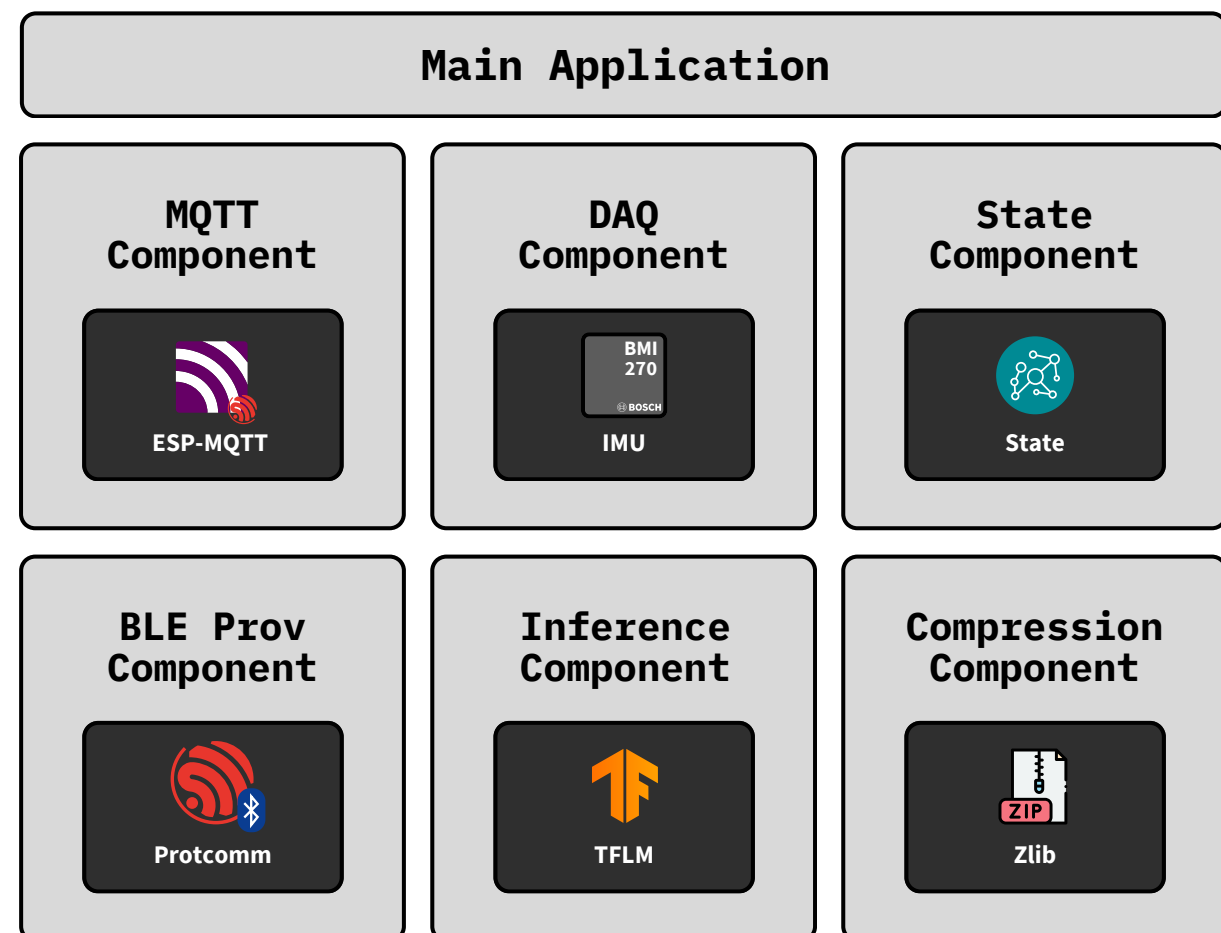
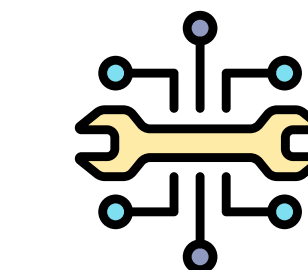
- **MCU:** Microcontrolador ESP32, cuenta con un procesador dual-core a 240 MHz, comunicación Wi-Fi y Bluetooth.
- **Modulo de Sensado:** Bosch BMI270, una IMU capaz de capturar aceleraciones y velocidades angulares en tiempo real.
- **Almacenamiento:** SRAM de 520 KB, flash interna de 16 MB y puerto microSD para flash externa.
- **Alimentación:** Batería Lithium-Polymer (LiPo) de 1400mAh



Sensor Node 3D Render

# ESN-PdM: Sensor Layer

Tercera y ultima capa del framework, envía información a la capa gateway e interactúa directamente con el entorno físico a través de módulos de sensado.



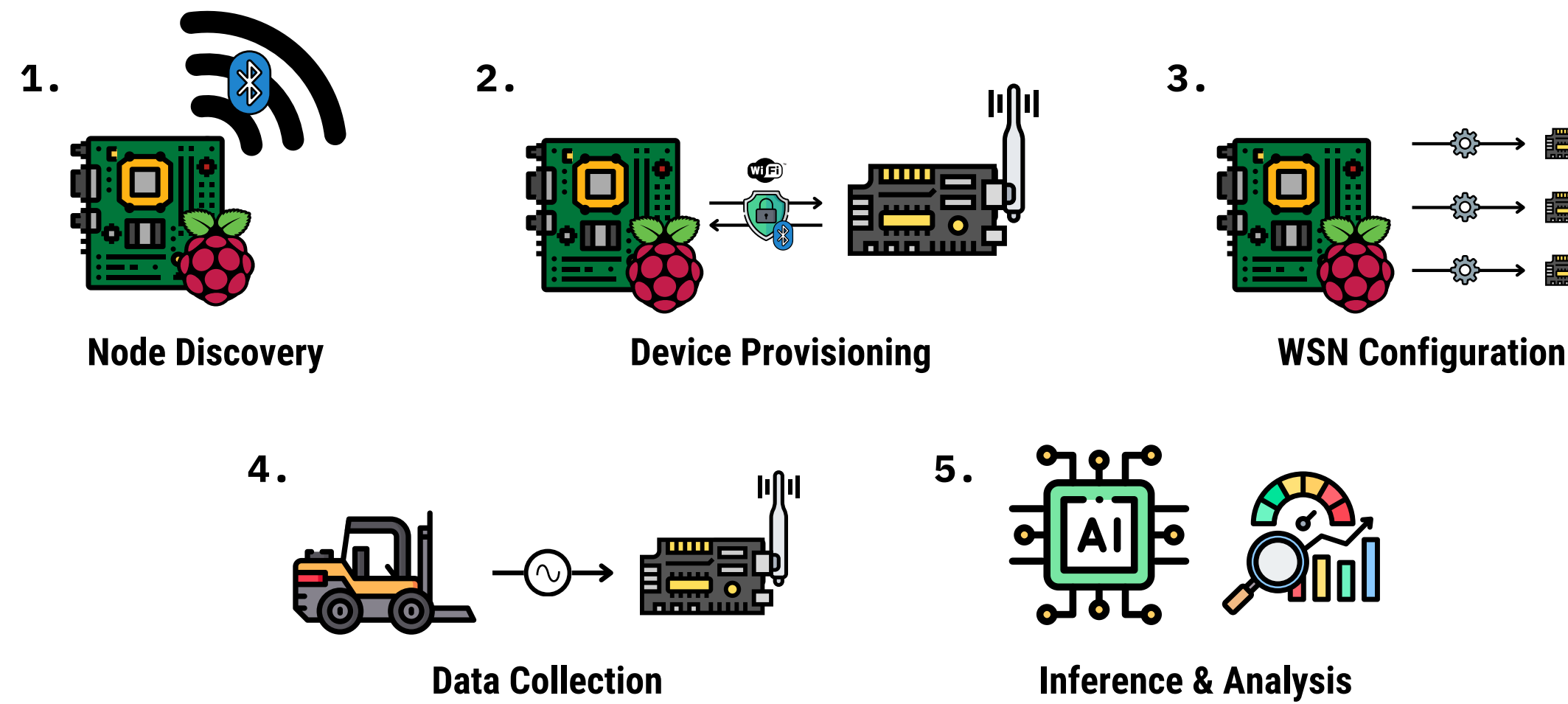
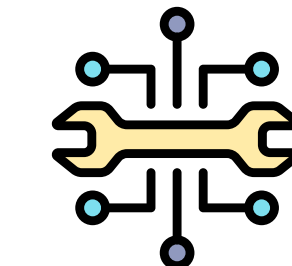
Sensor Layer Firmware Diagram

- **MQTT Component:** Maneja la comunicación con la capa de gateway a través de MQTT, subscribiéndose y publicando en topics.
- **DAQ Component:** Encargado de recopilar datos de vibración utilizando el IMU BMI270, comunicándose a través de I<sup>2</sup>C.
- **State Component:** Abstracción del nodo, gestionando la máquina de estados, configuraciones, ejecución de comandos y el ciclo.
- **BLE Prov Component:** Implementa *Protcomm* en el nodo, manejando la recepción y verificación de credenciales.
- **Inference Component:** Utiliza TFLM para ejecutar un modelo TinyML, realizando inferencias locales.
- **Compression Component:** Encargado de comprimir datos crudos de los sensores antes de su transmisión al gateway usando Zlib.

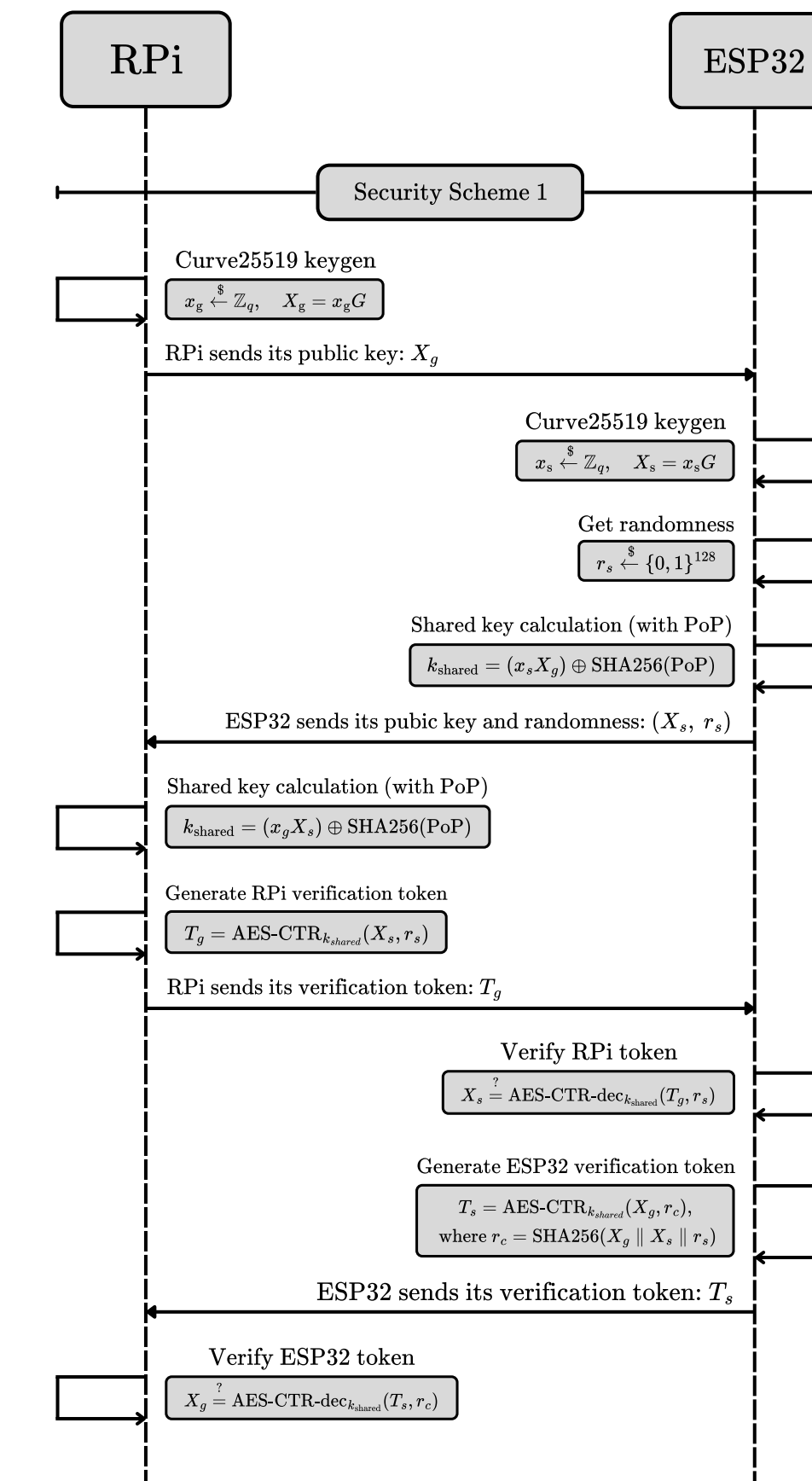
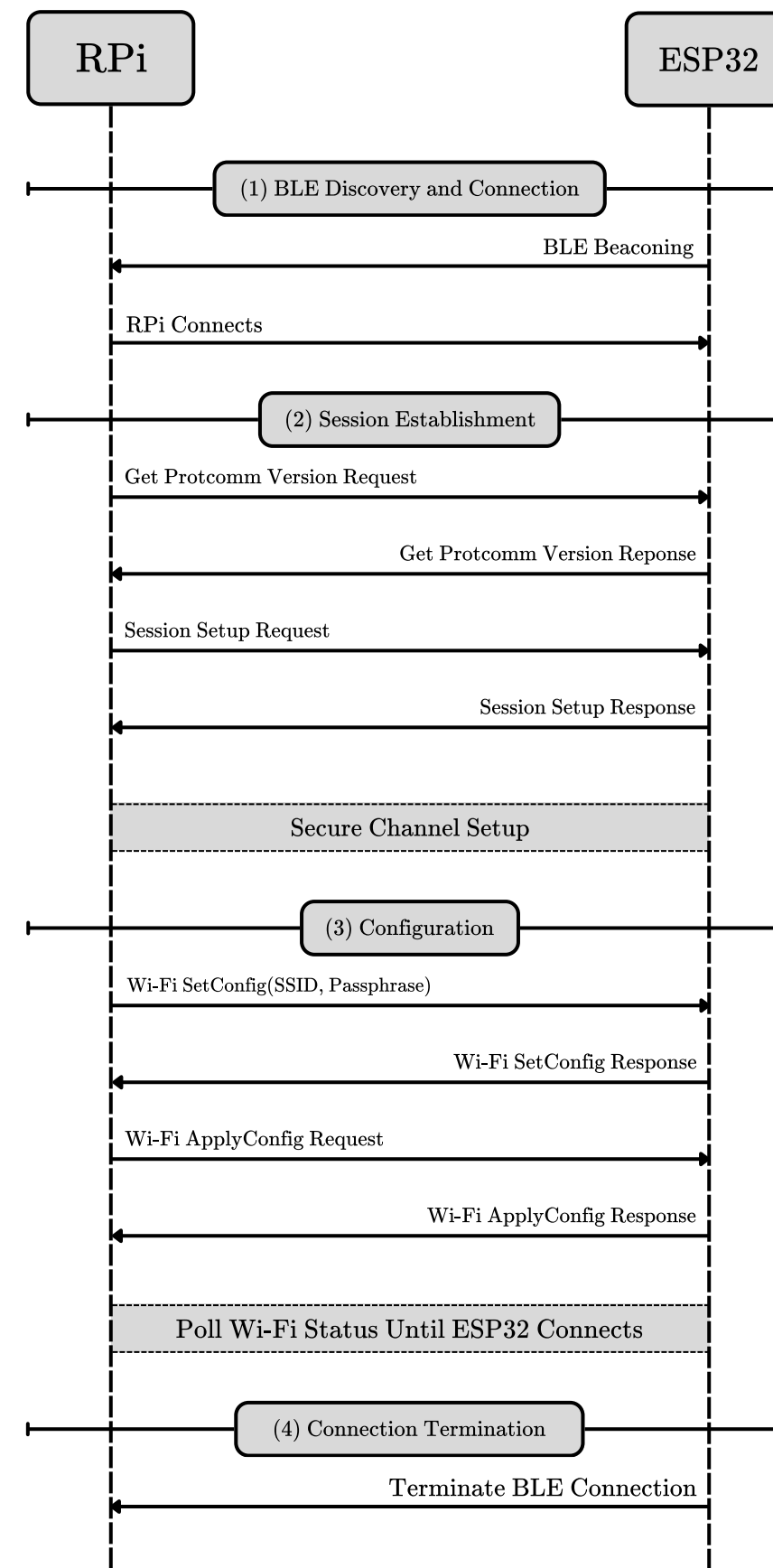
# ESN-PdM: Workflow



Una solución PdM orientada al monitoreo de condición en tiempo real que combina propuestas tradicionales y las extiende, entregando una infraestructura sólida, inferencia jerárquica y versátil.



# Descubrimiento de Nodos y Aprovisionamiento

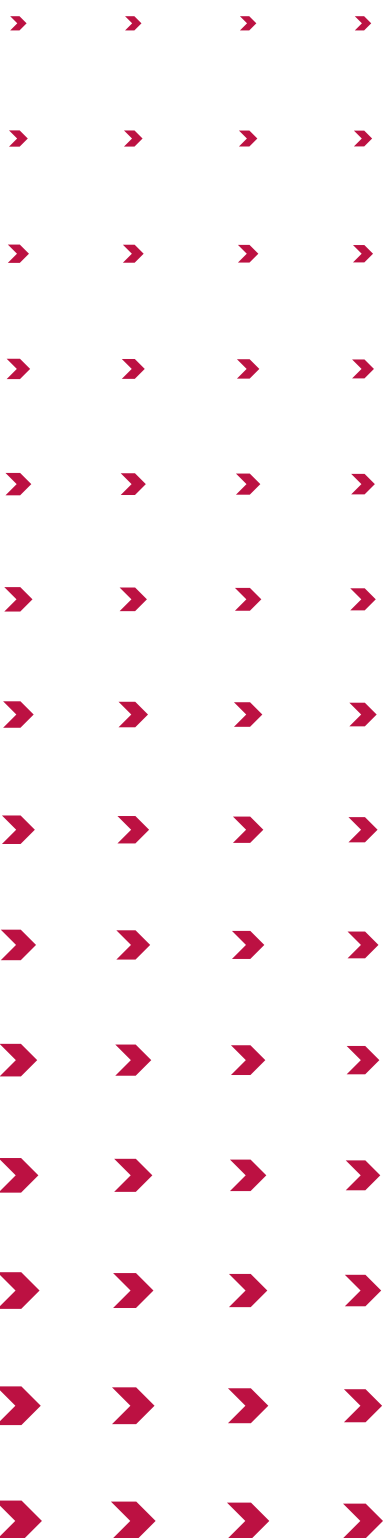


# Configuración de la WSN



## Propiedades operables

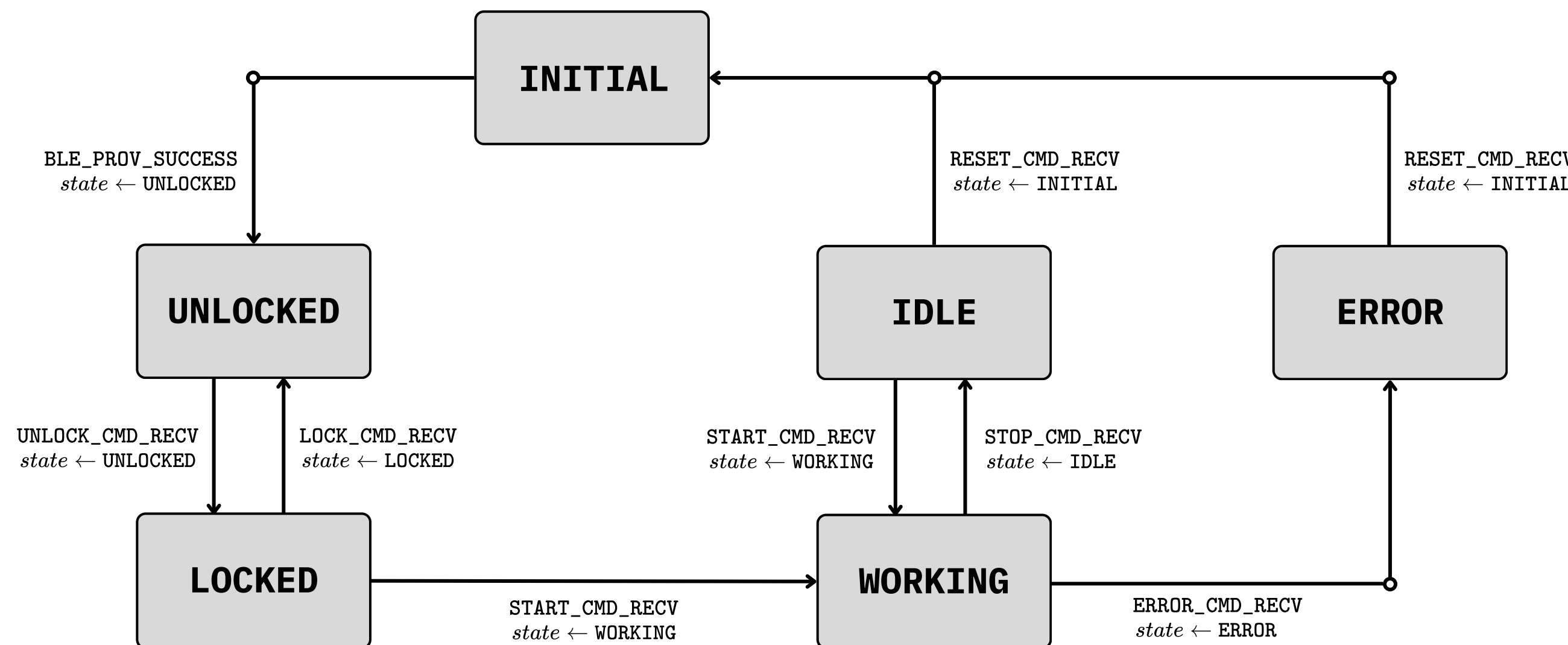
Propiedad	Contenido	Métodos permitidos	Dispositivo
tf_model_bytes	Modelo de TF Lite comprimido en gzip y codificado en base64	SET	Gateway/Sensor
tf_model_size	Tamaño original del modelo de TF Lite	SET	Gateway/Sensor
provisioned_nodes	Listado de nodos aprovisionados	GET/ADD	Gateway
inference_mode	Donde un nodo envía datos para inferencia	SET/GET	Sensor
node_state	Estado actual de un nodo	SET/GET	Sensor



# Configuración de la WSN

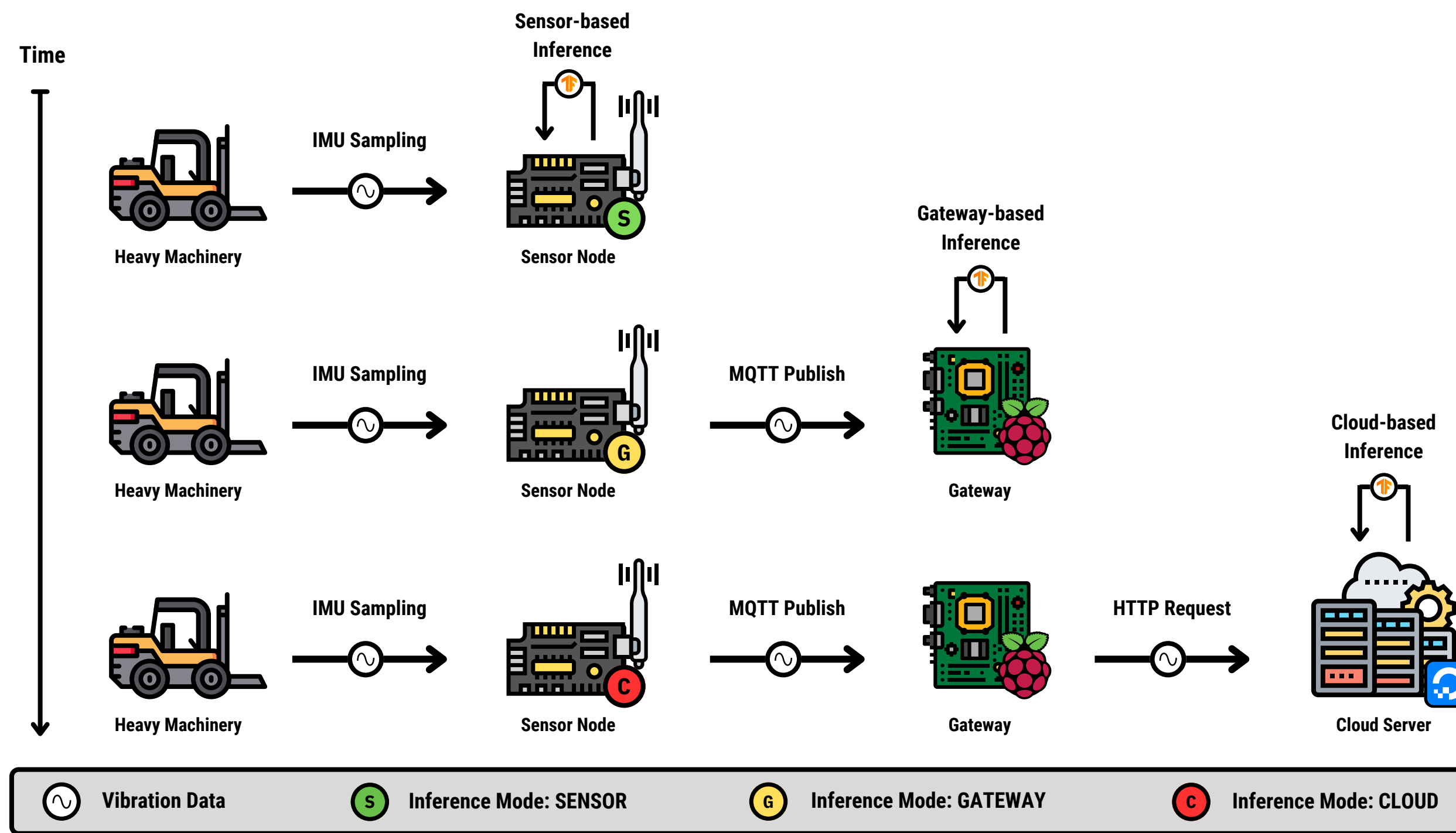


## Maquina de Estados del Nodo



# Recolección de Datos e Inferencia

Cada nodo cuenta con un **modo de inferencia** el cual puede ser *Sensor*, *Gateway* o *Cloud*. Este modo define que capa del sistema se encargara de emitir una predicción a partir de sus datos.

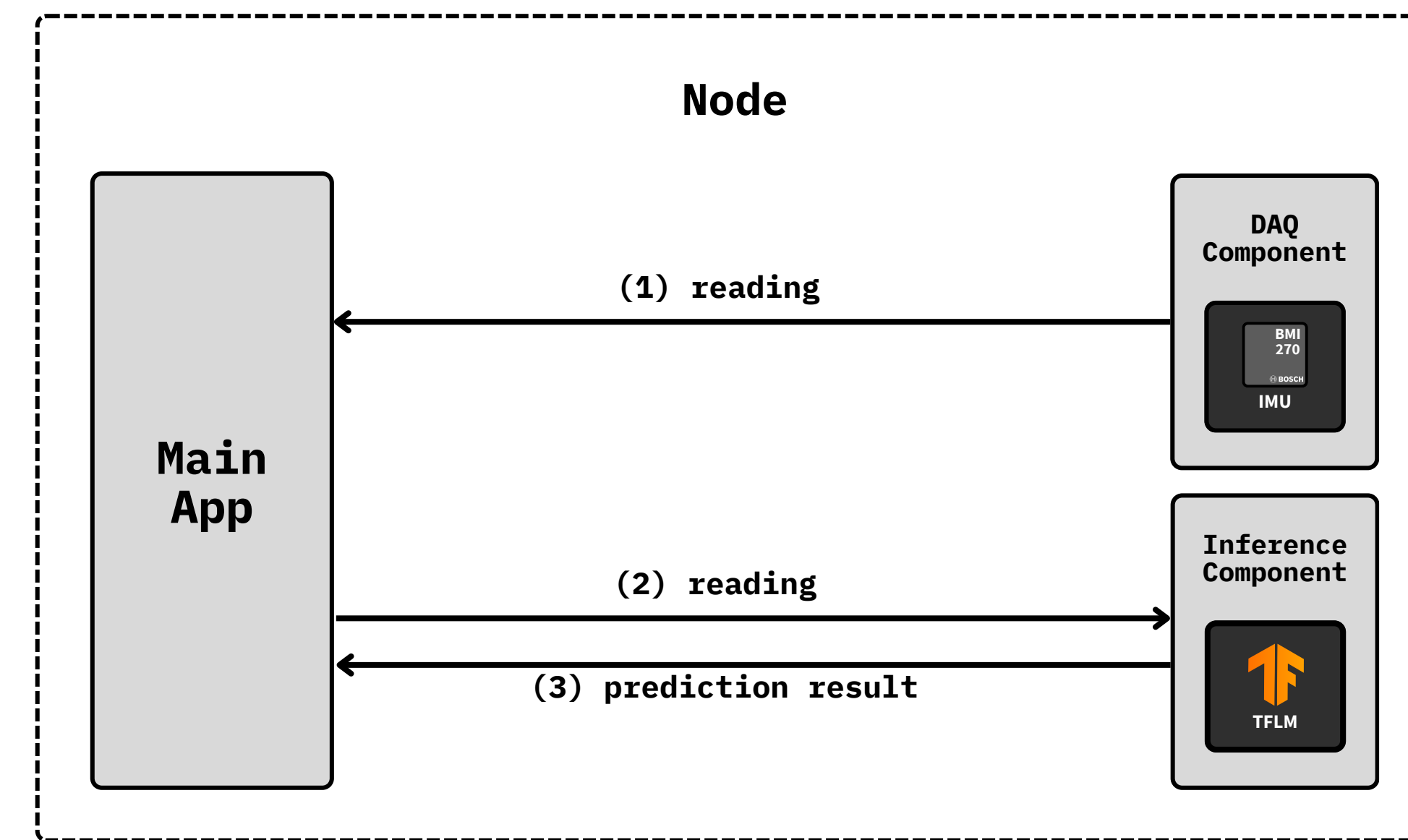


# Recolección de Datos e Inferencia



## Inferencia en el Sensor

La *main app* solicita una medición al *DAQ Component*. Esta medición se realiza en unidades reales, ya que el modelo en el *Inference Component* así las requiere.

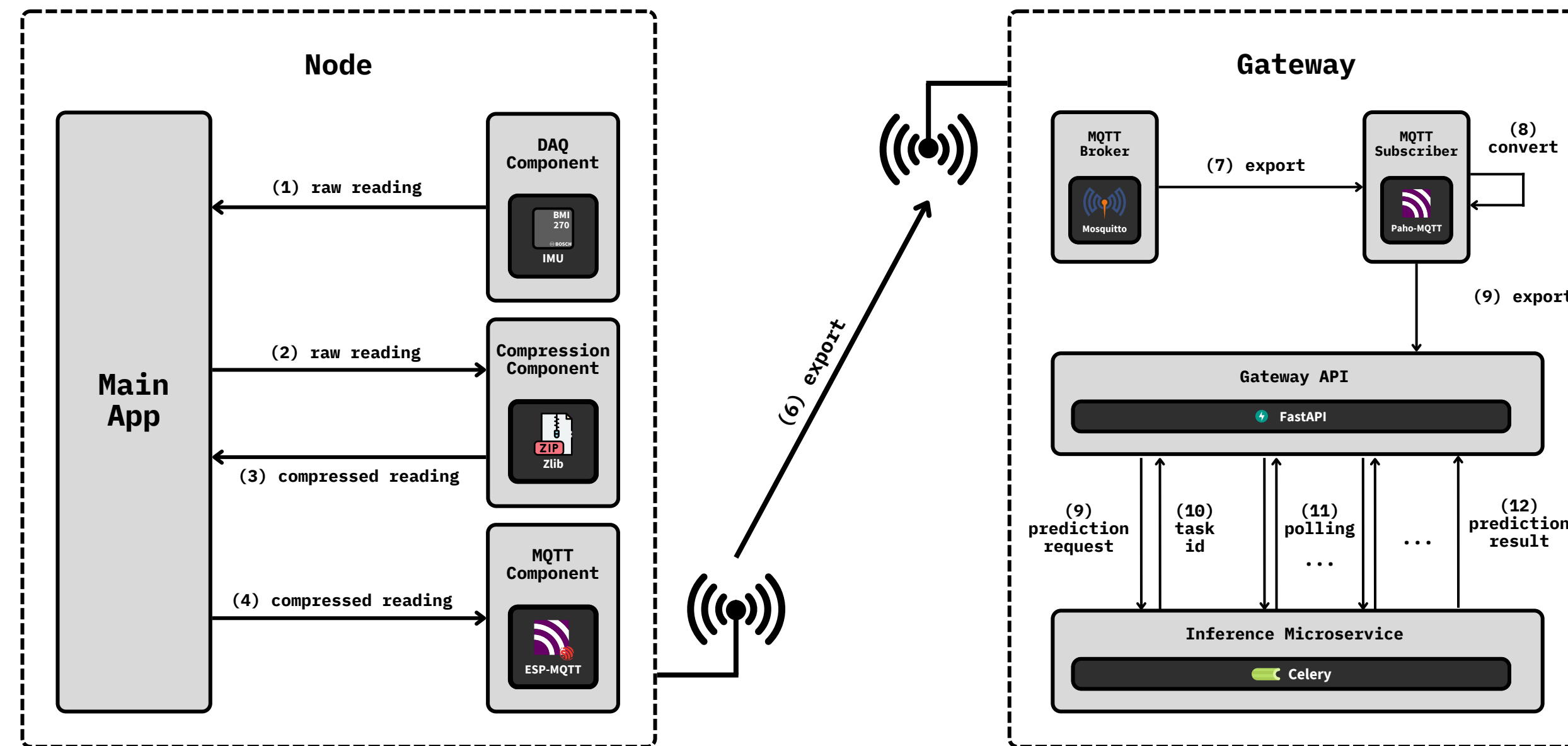


# Recolección de Datos e Inferencia



## Inferencia en el Gateway

La *main app* solicita una medición cruda al DAQ Component, que se comprime y codifica en base64 antes de enviarse al gateway. Allí se convierte y dirige hasta el *Inference Microservice*.



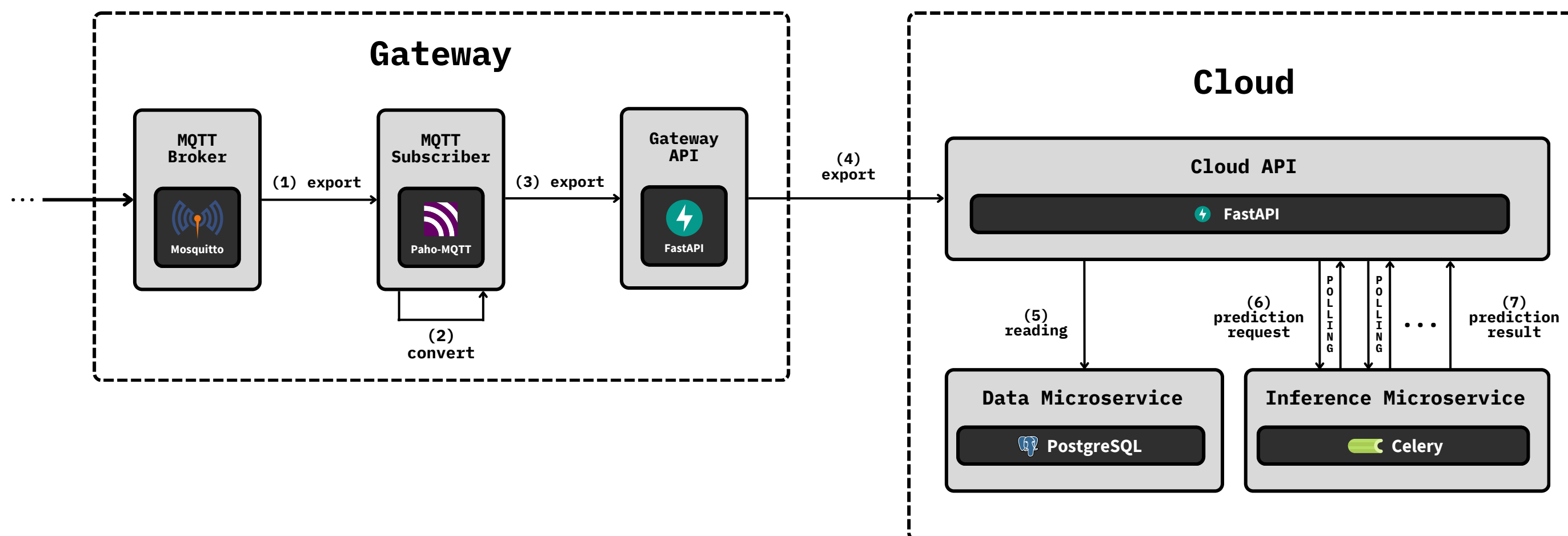
# Recolección de Datos e Inferencia

C



## Inferencia en el Cloud

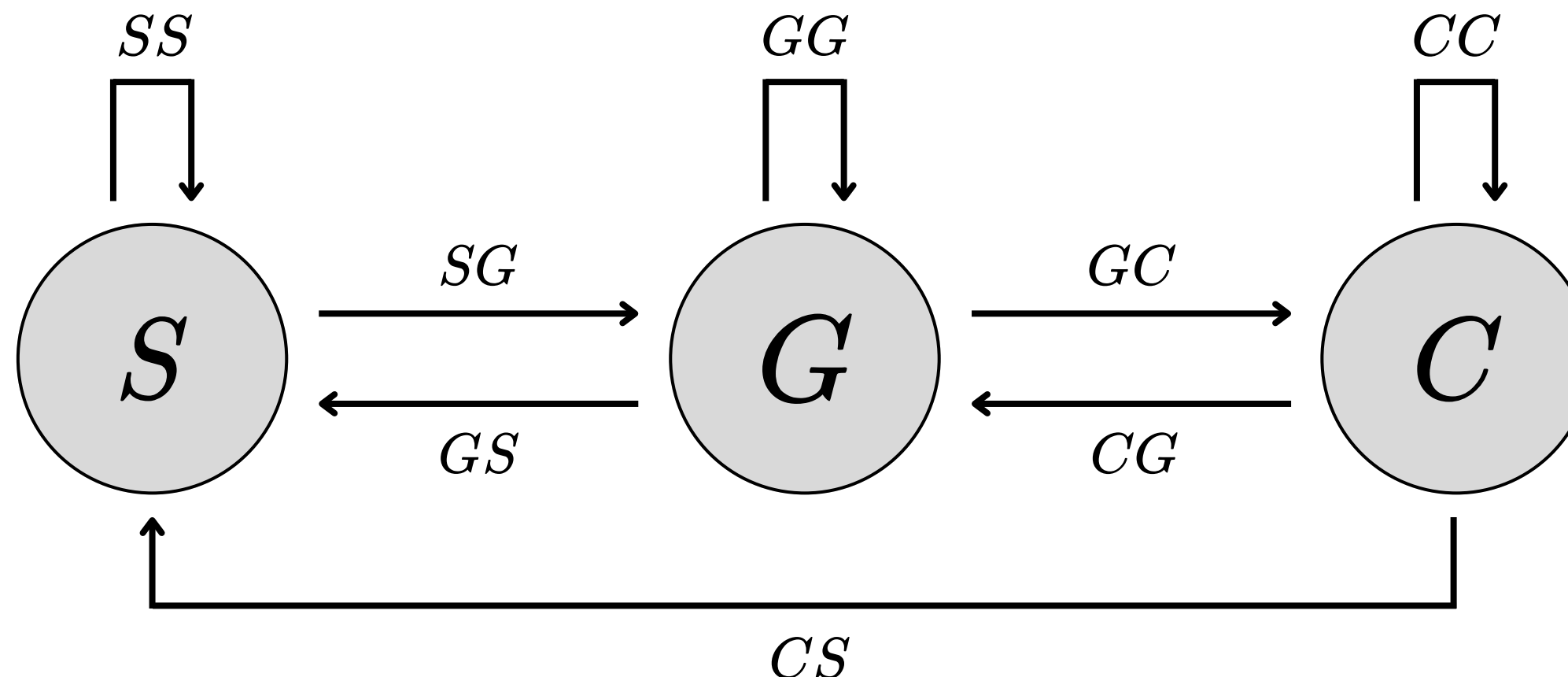
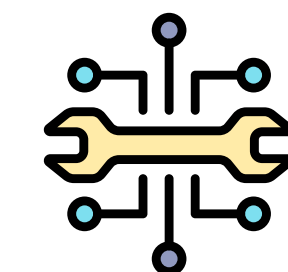
El nodo envía la medición al gateway quien la redirige al Cloud API. Una vez receptado, el API envía al *Data Microservice* la medición y solicita una predicción al *Inferece Microservice*.



# Mecanismo Adaptativo



- Los nodos envían datos a una capa de la red según el modo de inferencia.
- La capa realiza la predicción y evalúa si debe cambiar el modo de inferencia del nodo.
- La decisión de transición la toma una heurística específica de la capa.



# Mecanismo Adaptativo



## Historial de Anomalías

Estructura de datos que almacena las últimas predicciones emitidas por una capa para un nodo en específico.

$$H_t = \begin{cases} (H_{t-1} \ll 1) \& p_t & \text{if } X_t = X_{t-1} \\ 0 & \text{otherwise} \end{cases}$$

$$\tau_t = \begin{cases} \min(h, \tau_{t-1} + 1) & \text{if } X_t = X_{t-1} \\ 0 & \text{otherwise} \end{cases}$$

$$\sigma_t = \sum_{i=0}^{h-1} ((H_t \gg i) \& 1)$$

$p_t$  : Predicción instante t.

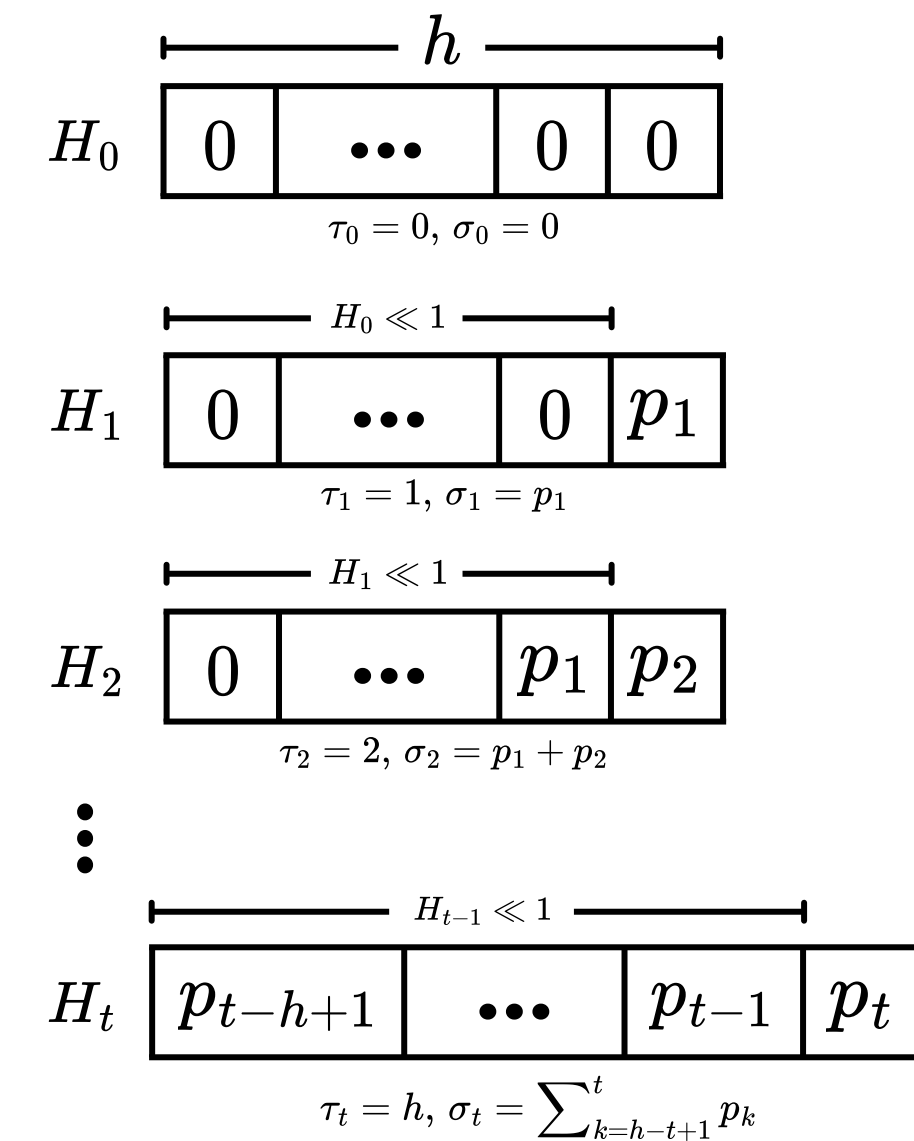
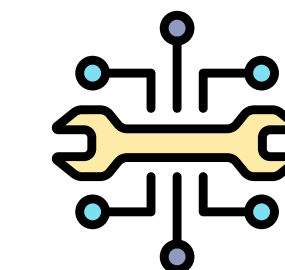
$h$  : Capacidad máxima historial.

$\tau_t$  : Largo historial instante t.

$\sigma_t$  : Anomalías historial instante t.

$X_t$  : Modo inferencia instante t.

$H_t$  : Historial de anomalías instante t.



# Mecanismo Adaptativo



## Heurística del Sensor

Controla transiciones desde el modo Sensor hacia el modo Gateway.

---

### Algorithm 1 Sensor Adaptive Heuristic

---

**Require:**  $(X_{t-1} = X_t = S) \wedge p_t, H_{t-1}, b_t, \psi_b, \psi_s, h$

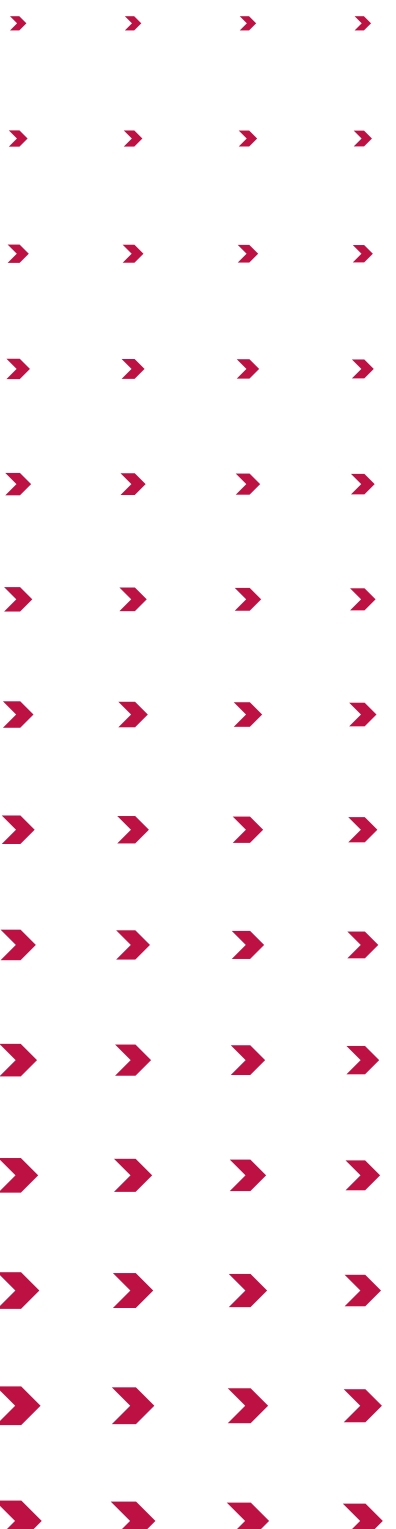
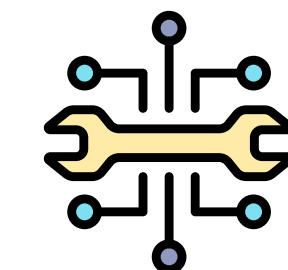
**Ensure:** The next inference mode  $X_{t+1}$

```
1:  $H_t \leftarrow (H_{t-1} \ll 1) \wedge p_t$ 
2:  $\tau_t \leftarrow \min(h, \tau_{t-1} + 1)$ 
3:  $\sigma_t \leftarrow \sum_{i=0}^{h-1} ((H_t \gg i) \wedge 1)$ 
4: if  $b_t < \psi_b$  then
5:   return  $S$ 
6: else if  $\tau_t < h$  then
7:   return  $S$ 
8: else if  $\sigma_t \geq \psi_s$  then
9:   return  $G$ 
10: else
11:   return  $S$ 
12: end if
```

---

$\psi_b$  : Límite % batería restante  
 $\psi_s$  : Límite superior anomalías.

- **Batería baja:** imposibilidad de escalar modo.
- **Modelo del sensor menos confiable:** genera falsos positivos.
- **Historial amplio y límite bajo:** facilita el escalado al gateway.



# Mecanismo Adaptativo



## Heurística del Gateway

Se encarga de las transiciones desde el modo Gateway hacia el modo Sensor o modo Cloud.

---

### Algorithm 2 Gateway Adaptive Heuristic

---

**Require:**  $(X_{t-1} = X_t = G) \wedge p_t, H_{t-1}, q_t, \psi_g, \phi_g, \psi_q, h$

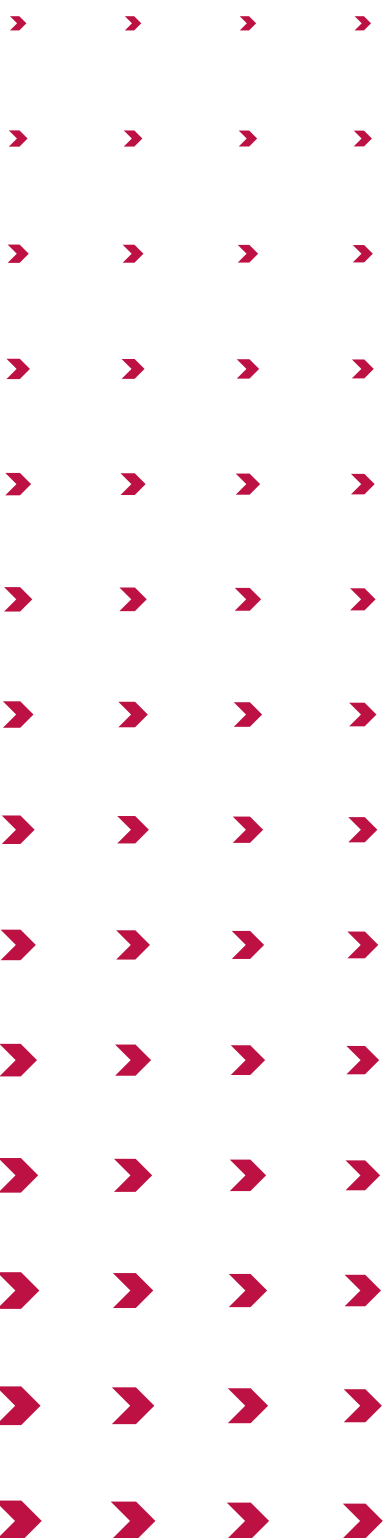
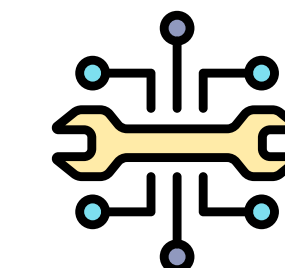
**Ensure:** The next inference mode  $X_{t+1}$

```
1:  $H_t \leftarrow (H_{t-1} \ll 1) \wedge p_t$ 
2:  $\tau_t \leftarrow \min(h, \tau_{t-1} + 1)$ 
3:  $\sigma_t \leftarrow \sum_{i=0}^{h-1} ((H_t \gg i) \wedge 1)$ 
4: if  $b_t < \psi_b$  then
5:   return  $S$ 
6: else if  $\tau_t < h$  then
7:   return  $G$ 
8: else if  $\sigma_t < \phi_g$  then
9:   return  $S$ 
10: else if  $\phi_g \leq \sigma_t < \psi_g \wedge q_t < \psi_q$  then
11:   return  $G$ 
12: else
13:   return  $C$ 
14: end if
```

---

$\psi_b$  : Límite % batería restante  
 $\phi_g$  : Límite inferior anomalías.  
 $\psi_g$  : Límite superior anomalías.  
 $q_t$  : Largo cola predicción Gateway instante t.  
 $\psi_q$  : Límite largo cola predicción.

- **Batería baja:** de-escalar modo para ahorrar batería.
- **Disponibilidad del gateway:** Si la cola está llena, se delega inferencia al cloud.
- **Historial más pequeño y límite superior alto:** solo escala a Cloud si hay muchas anomalías seguidas.



# Mecanismo Adaptativo



## Heurística del Cloud

Gestiona transiciones desde el modo Cloud hacia el modo Gateway.

---

### Algorithm 3 Cloud Adaptive Heuristic

**Require:**  $(X_{t-1} = X_t = C) \wedge p_t, H_{t-1}, h$

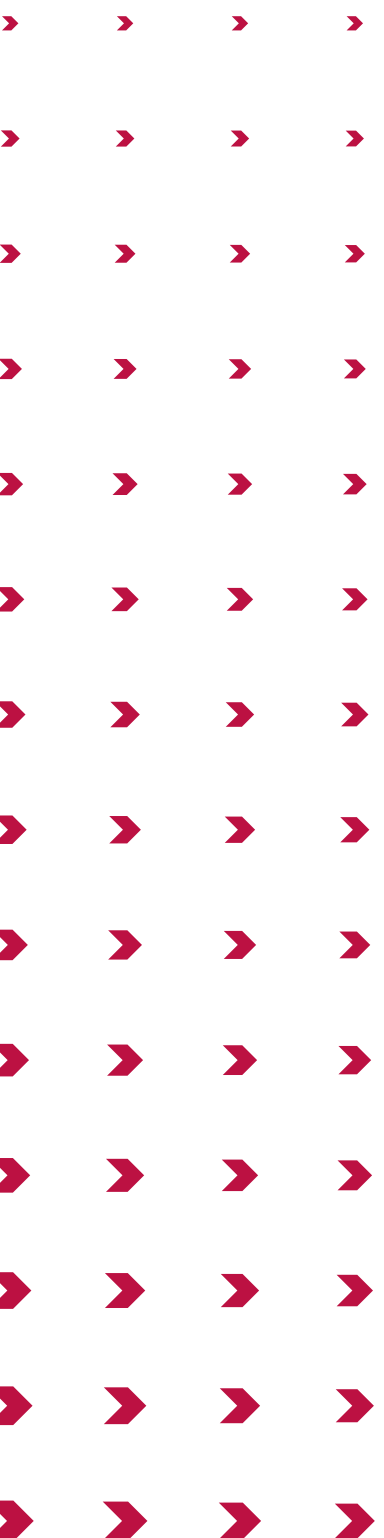
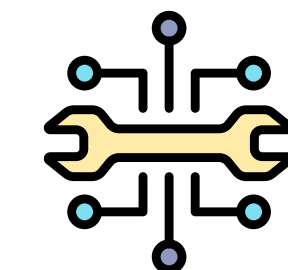
**Ensure:** The next inference mode  $X_{t+1}$

```
1:  $H_t \leftarrow (H_{t-1} \ll 1) \wedge p_t$ 
2:  $\tau_t \leftarrow \min(h, \tau_{t-1} + 1)$ 
3:  $\sigma_t \leftarrow \sum_{i=0}^{h-1} ((H_t \gg i) \wedge 1)$ 
4: if  $b_t < \psi_b$  then
5:   return  $S$ 
6: else if  $\tau_t < h$  then
7:   return  $C$ 
8: else if  $\sigma_t < \phi_c$  then
9:   return  $G$ 
10: else
11:   return  $C$ 
12: end if
```

---

$\psi_b$  : Límite % batería restante  
 $\psi_s$  : Límite superior anomalías.

- **Batería baja:** de-escalar modo para ahorrar batería.
- **Historial aún más pequeño y límite inferior bajo:** Solo la actividad anómala real llega a la nube y se desescalía cuando no hay anomalías.



# **Caso de Estudio:**

## **Monitoreo de Condición Operacional de Grúas Horquilla en la Minería usando DL.**

# Caso de Estudio

*Monitoreo de Condición Operacional de Grúas Horquilla en la Minería usando DL.*



## Importancia

- Soporte logístico de las operaciones.
- Transporte de equipos, menas, suministros esenciales, etc.

## Desafíos Operativos

- Circunstancias ambientales y climáticas hostiles.
- Conectividad intermitente en yacimientos aislados.
- Experiencia operador afecta alarmas.



*La alta variabilidad implica que, en determinados momentos, sea conveniente evaluar el estado operativo de una grúa horquilla en el edge, mientras que en otros momentos resulte mejor hacerlo en el cloud.*

# Caso de Estudio



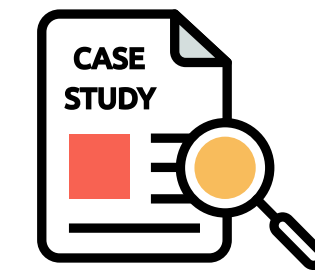
## Generación del Dataset

- 1. Mediciones preliminares Toyota 8FG45N**
  - Acelerómetro PCE-VDL 16l.
  - Frecuencias de 25Hz.
- 2. Recolección de datos.**
  - IMU BMI270 en nodo sensor.
  - Ventanas de 10s a 50Hz.
  - Datos guardados en microSD.
- 3. Etiquetado de datos.**
  - Estandares OSHA.
  - Observaciones operadores.
- 4. Particionado del dataset.**
  - Total: 25.000 secuencias de 500 muestras.
  - 60% Train, 20% Val y 20% Test.

Columna	Contenido
acc_x	Aceleración eje X.
acc_y	Aceleración eje Y.
acc_z	Aceleración eje Z.
gyr_x	Velocidad angular eje X.
gyr_y	Velocidad angular eje Y.
gyr_z	Velocidad angular eje Z.
label	Good (0), Acceptable (1), Unsatisfactory (2), and Unacceptable (3)

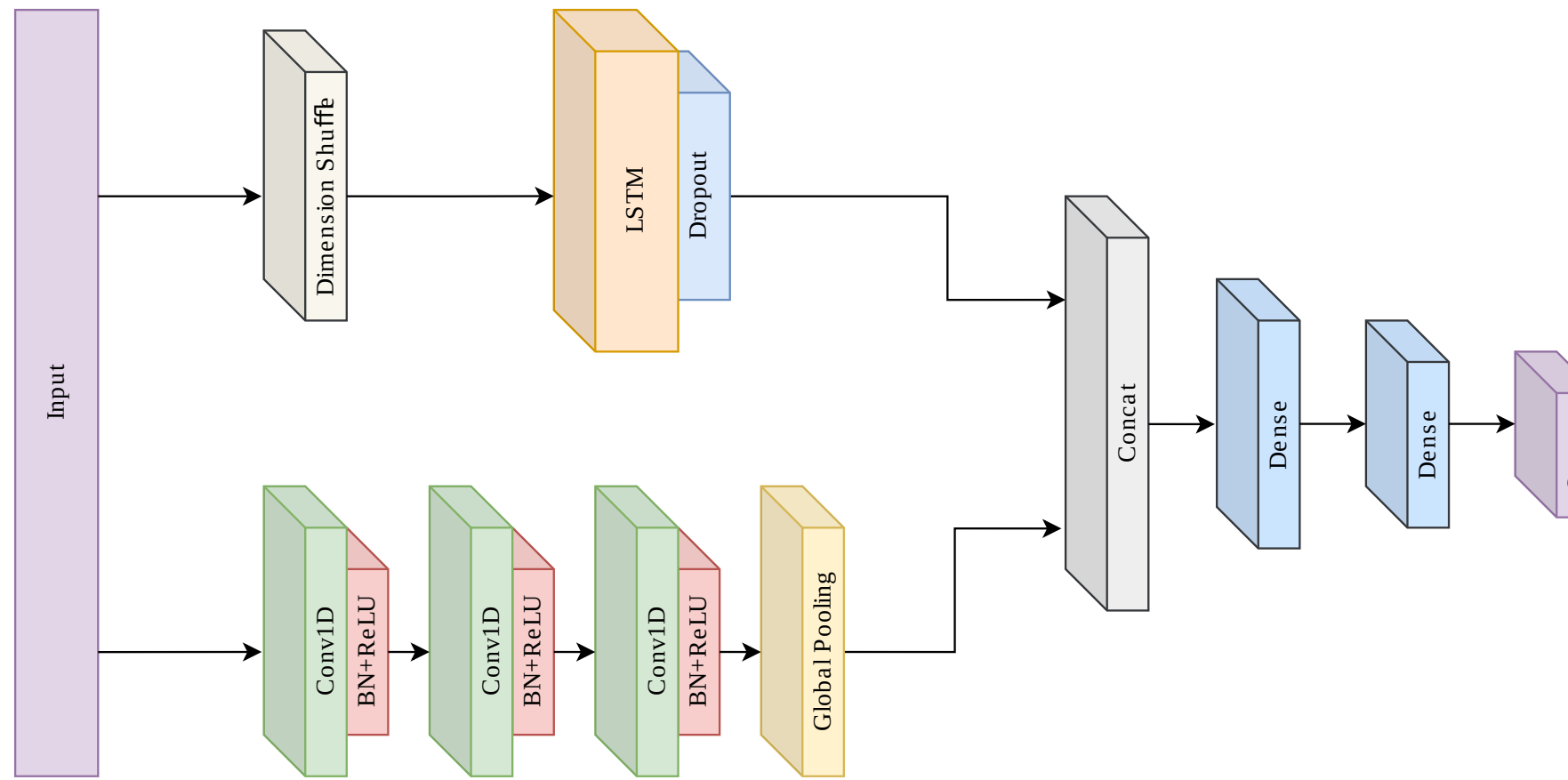
Dataset Structure

# Caso de Estudio



## Preparación del Modelo DL

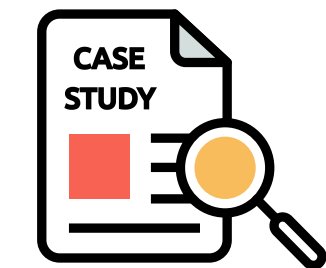
- Variante modelo LSTM-FCN propuesto por Karim et al. [13].
- Clasificador de señales digitales estudiado a detalle en escenarios.



Versión del Modelo	Tipo de Capa	Número de Unidades
Large	LSTM Conv1D Dense	(64) (128, 256, 128) (128, 64)
Medium	LSTM Conv1D Dense	(32) (64, 128, 64) (64, 32)
Tiny	LSTM Conv1D Dense	(16) (32, 64, 32) (32, 16)

Model Architecture Versions

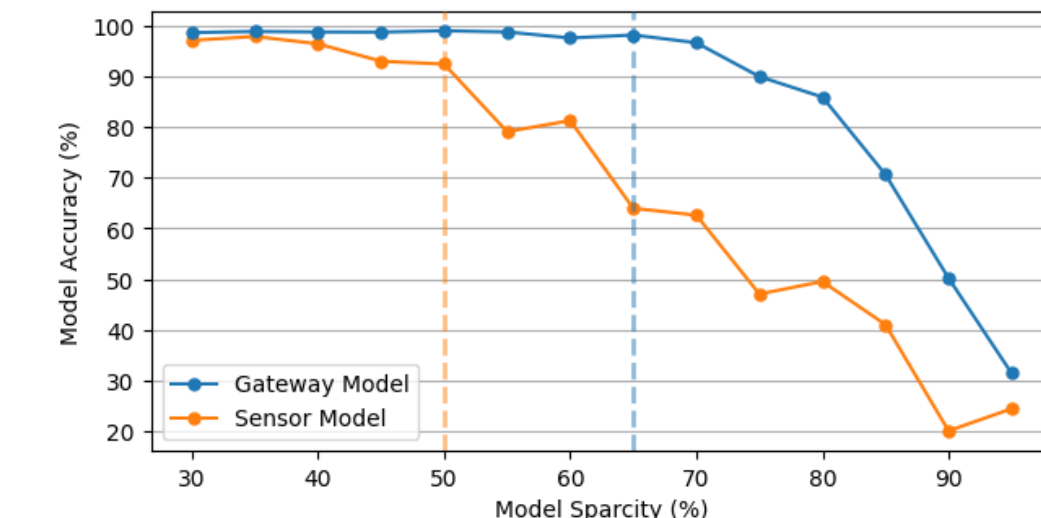
# Caso de Estudio



## Optimización usando TinyML

- **Pruning:**
  - Medium: 65% sparsity final.
  - Tiny: 50% sparsity final.
- **Quantization:**
  - Medium: dynamic-range.
  - Tiny: full-integer.

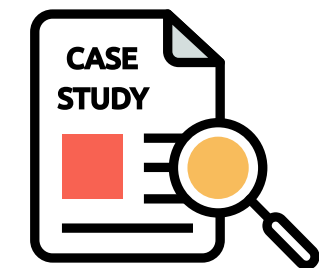
Model Accuracy Evolution During Pruning.



PdM Model	Total parameters	Size (KB)	Gzipped Size (KB)
Cloud Model	252,868	3,032	2,755
Gateway Model	64,996	90	56
Sensor Model	17,140	30	16

Model Optimization Summary.

# Caso de Estudio



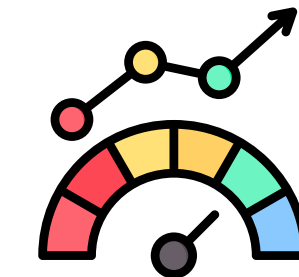
## Desempeño del Clasificador

- Se compararon los desempeños de los modelos utilizando las metricas de accuracy y recall.
- Todos los modelos obtuvieron un accuracy superior al 90%.

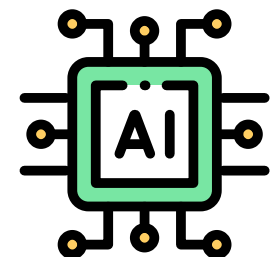
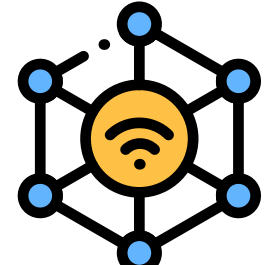
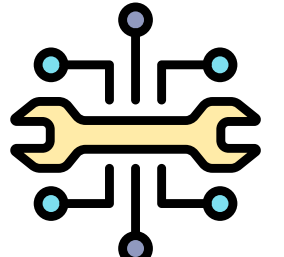
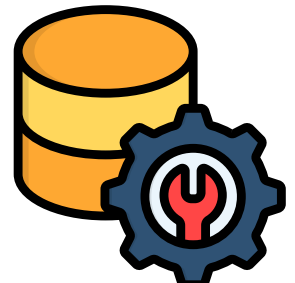
PdM Model	Accuracy (%)	Recall Good class (%)	Recall Acceptable class (%)	Recall Unsatisfactory class (%)	Recall Unacceptable class (%)
Cloud Model	99.38	98.11	99.71	98.56	99.69
Gateway Model	94.06	84.40	96.77	98.09	95.11
Sensor Model	91.40	81.13	99.41	97.81	99.61

# Evaluación Experimental

# Evaluación Experimental

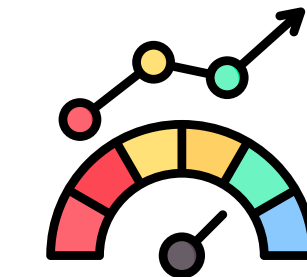


- Se evaluó el desempeño del ESN-PdM Framework bajo los **3 modos de inferencia** usando las siguientes métricas:
  - Latencia de inferencia.
  - Consumo energético del nodo y vida útil batería.
  - Trafico en la WSN (*throughput*).
- Ademas, se estudio el comportamiento de estas variables cuando el **mecanismo adaptativo** esta **activado**.



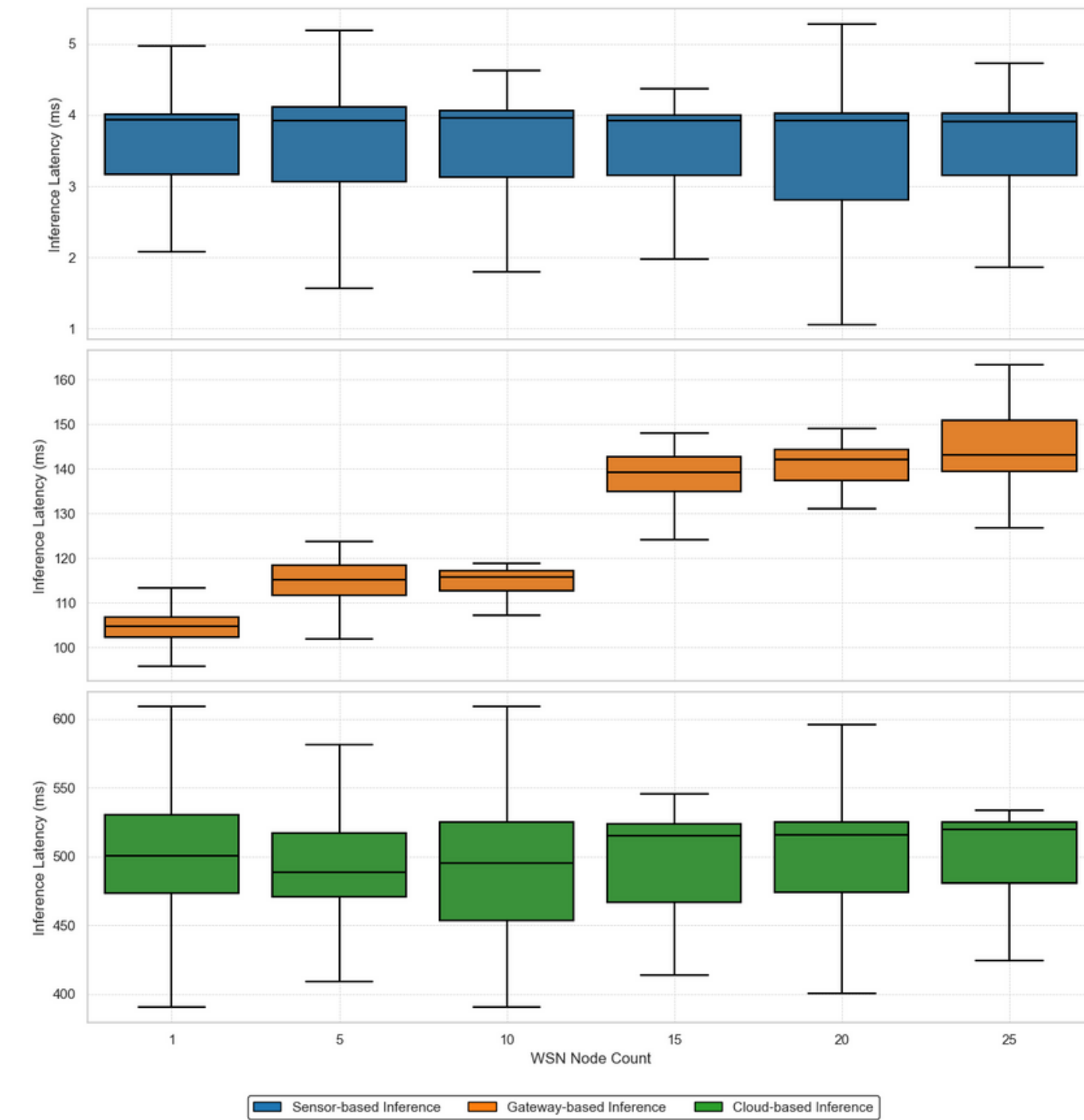
# Latencia de Inferencia

*Tiempo transcurrido desde que un nodo solicita una predicción hasta el momento que recibe una respuesta.*



## Inferencia Tradicional

- Se midió la latencia al escalar la WSN desde 1 hasta 25 nodos utilizando **nodos virtuales**.
- **Sensor:** Latencia promedio de 4 ms, estable al incremento de nodos en la WSN.
- **Gateway:** Latencia promedio inicial de 105 ms, sube a 140 ms con el escalado.
- **Cloud:** Latencia promedio de 500 ms oscilando  $\pm 25$ ms, estable al escalado.



# Latencia de Inferencia



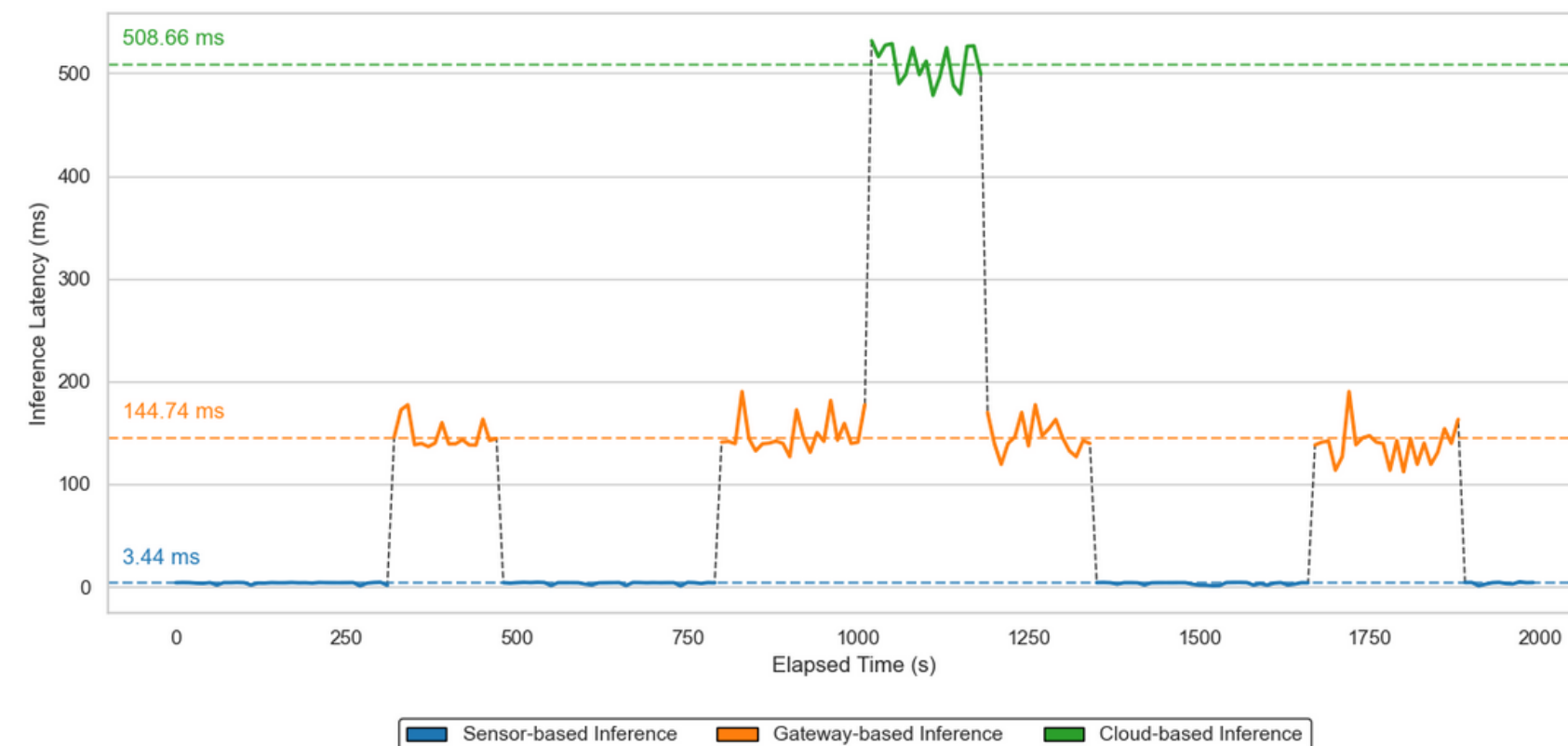
## Inferencia Adaptativa

- Se consideró el escenario donde la WSN cuenta con 25 nodos.
- Se midió la latencia para un nodo durante 30 minutos, durmiendo 10s entre cada medición.
- El nodo virtual se configuró con un 30% de probabilidad de emitir una anomalía.

### Configuración de Parámetros:

$$\begin{array}{lll} h_s = 32 & h_g = 16 & h_c = 8 \\ \psi_s = 4 & \psi_g = 8 & - \\ - & \phi_g = 4 & \phi_c = 2 \end{array}$$

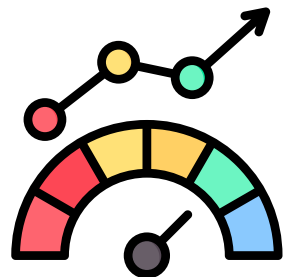
La confiabilidad de los modelos aumenta en capas superiores; incrementar  $\psi$  y reducir  $h$  permite distinguir entre anomalías reales y falsos positivos.



Latency Over Time When the Adaptive Mechanism is Enabled

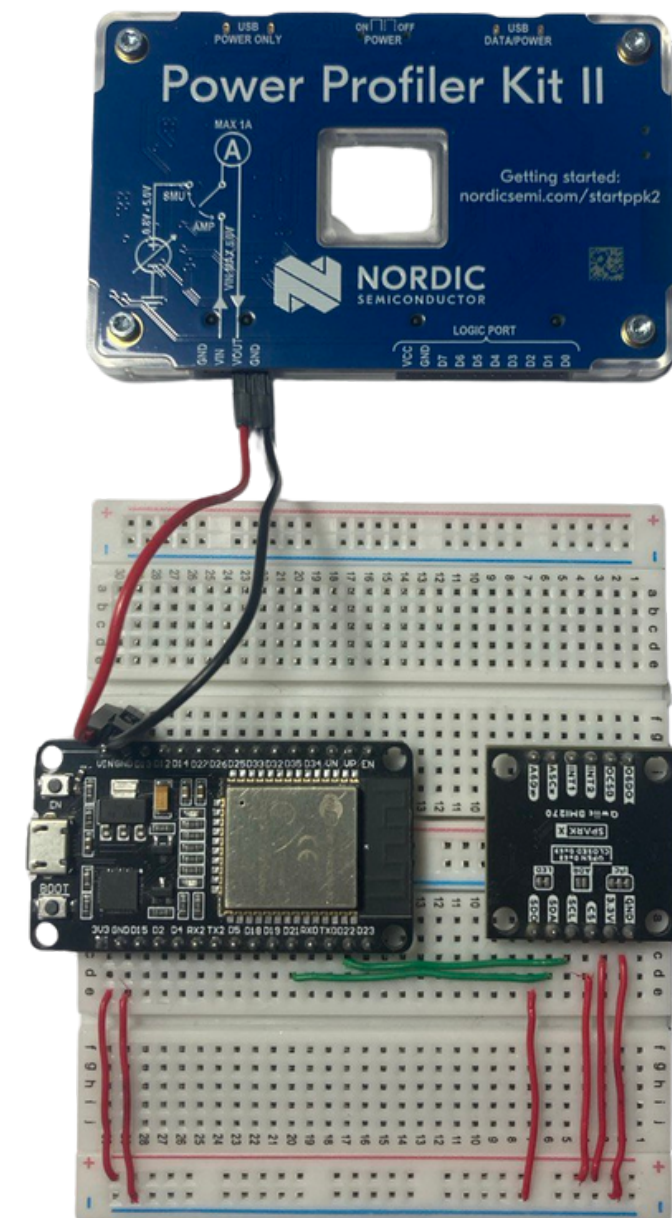
# Consumo Energético

*Energía total consumida por un nodo durante un ciclo completo de operación, considerando tanto las fases activas como las inactivas.*



## Inferencia Tradicional

- Según el modo, el nodo realiza la inferencia localmente (*onboard*) o la delega a una capa superior (*offboard*).
- Los perfiles de corriente en ambos casos fueron estudiados usando un *Power Profiler Kit 2* de *Nordic Semiconductor*.
- **Onboard Inference:**
  1. Recolectar datos.
  2. Inferencia usando TFLM.
- **Offboard Inference:**
  1. Recolectar datos.
  2. Comprimir señal.
  3. Transmitir datos.

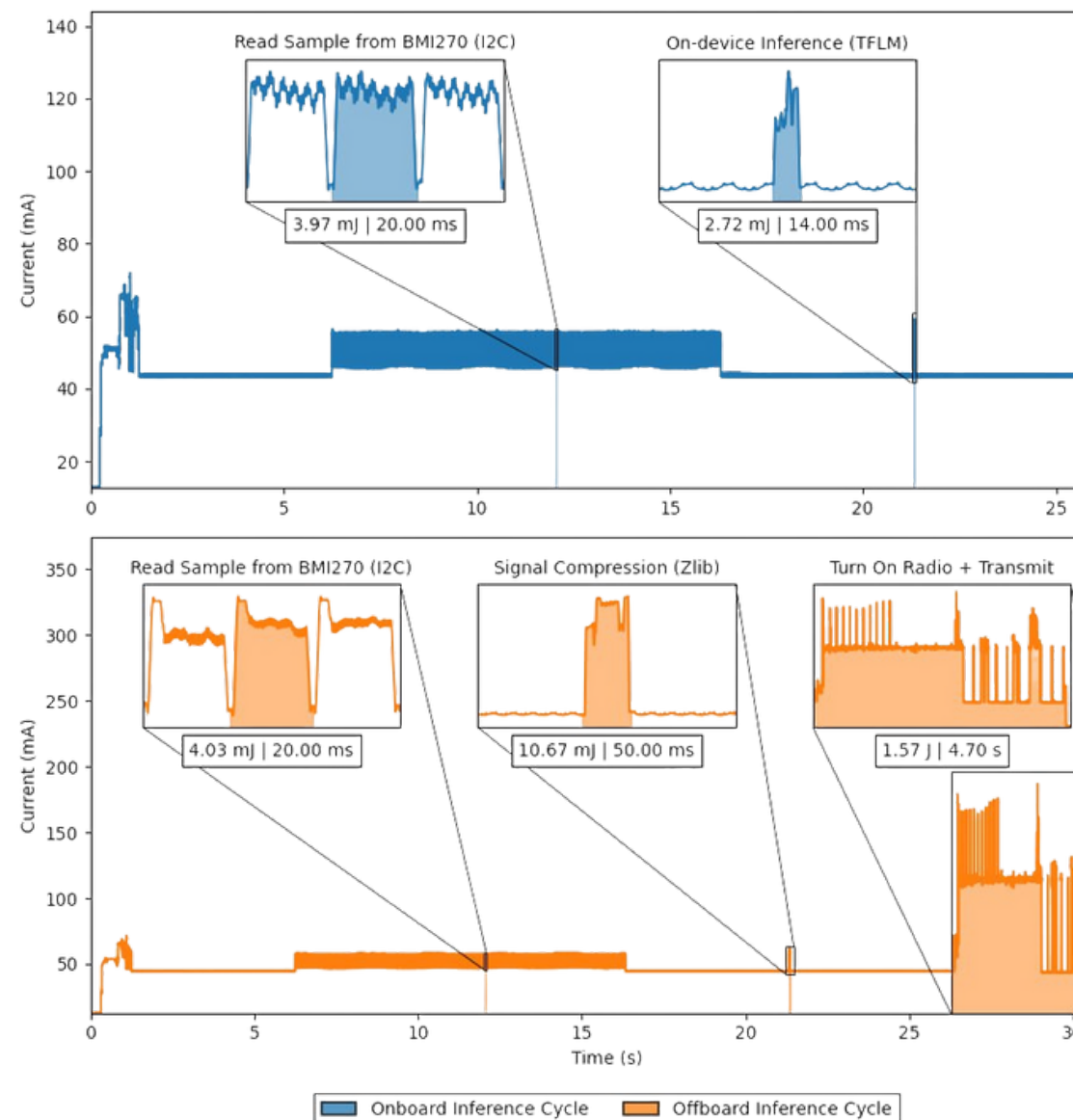


Experimental Setup

# Consumo Energético



## Inferencia Tradicional



- Operaciones separadas por 10 segundos.
- Consumo energético de cada operación fue estimado con:

$$E = \int_{t_0}^{t_f} V(t)I(t) dt$$

Donde el voltaje es 3.7 V constante, dado por la batería LiPo.

Measured Operation	Data Size (KB)	Duration (ms)	Energy (mJ)
Data Sampling	5.86	10000	2000.00
TFLM Inference	2.92	14	2.72
Signal Compression	5.86	50	10.67
Radio Transmission	3.00	4700	1570.00

Energy Consumption per Measured Operation.

# Consumo Energético

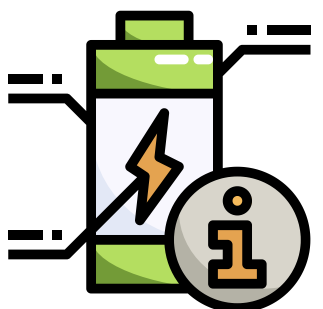
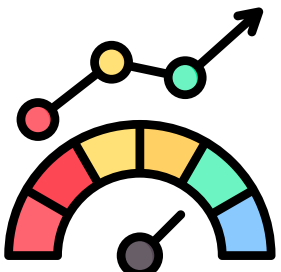


## Inferencia Tradicional

- Ciclos de **inferencia local** consumen 2.0 J durante 40 s.
- Ciclos de **inferencia remota** consumen 3.6 J durante 45 s.
- Batería LiPo de 1400mAh a 3.7 V ofrece 18.6 kJ de energía.
- Se estima la vida útil de la batería con la siguiente expresión:

$$\text{Battery Life} = \frac{E_{\text{battery}}}{E_{\text{cycle}}} \times t_{\text{cycle}}$$

- Realizar **únicamente inferencia remota** proporciona 65 horas de batería, mientras que la **inferencia local** ofrece 103 horas.



# Consumo Energético



## Inferencia Adaptativa

- Para que se consuma toda la batería:

$$E_{\text{battery}} = n_{\text{on}} E_{\text{on}} + n_{\text{off}} E_{\text{off}}$$

$$\Rightarrow n_{\text{off}} = \frac{E_b - n_{\text{on}} E_{\text{on}}}{E_{\text{off}}}$$

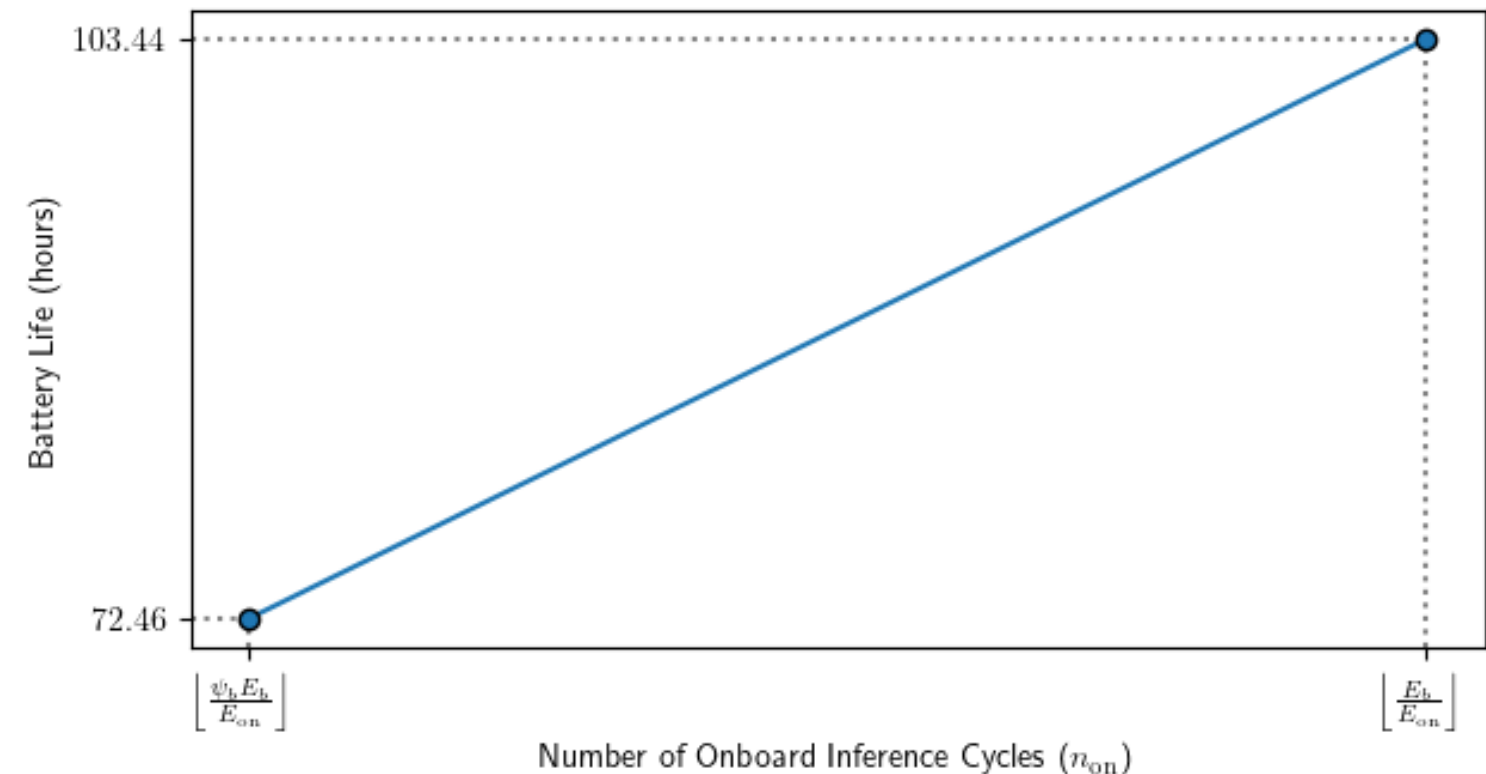
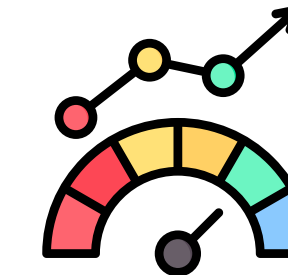
- La vida útil de la batería es:

$$\text{Battery Life}(n_{\text{on}}, n_{\text{off}}) = t_{\text{on}} n_{\text{on}} + t_{\text{off}} n_{\text{off}}$$

$$\Rightarrow \text{Battery Life}(n_{\text{on}}) = n_{\text{on}} \left( t_{\text{on}} - \frac{E_{\text{on}} t_{\text{off}}}{E_{\text{off}}} \right) + \frac{E_b t_{\text{off}}}{E_{\text{off}}}$$

- Nodos vuelven al modo sensor cuando la batería restante es menor a  $\psi_b$ .

$$n_{\text{on}} \in \left\{ \left\lfloor \frac{\psi_b E_b}{E_{\text{on}}} \right\rfloor, \dots, \left\lfloor \frac{E_b}{E_{\text{on}}} \right\rfloor \right\}$$



Potential Battery Lives when Adaptive Mechanism is Enabled.

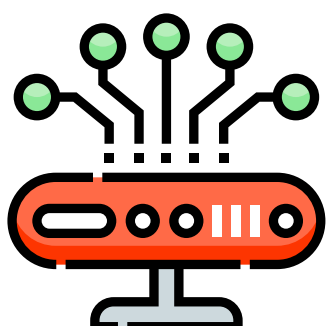
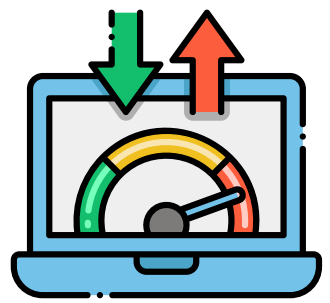
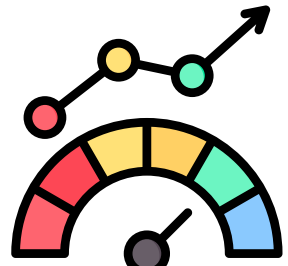
# Throughput

*Tasa de datos transmitidos exitosamente por unidad de tiempo, es una métrica eficaz para medir el tráfico en una WSN.*



## Inferencia Tradicional

- Escenario considera la WSN con **25 nodos virtuales**, cada uno generando una medición cada 30 s.
- El caso de inferencia en sensor **no** será estudiado ya que el **tráfico es nulo**.
- En cada caso, se capturaron los paquetes de entrada y salida del gateway con Wireshark.
- La tasa se calculó sumando los bits en tránsito en ventanas de 1 s.



# Throughput



## Inferencia Tradicional

- **Gateway:**
  - Oscila entre  $17 \text{ Kbps}$  y  $35 \text{ Kbps}$ .
  - Se transmiten  $\sim 455 \text{ Kb}$ .
- **Cloud:**
  - Oscila entre  $500 \text{ Kbps}$  y  $1 \text{ Mbps}$ .
  - Se transmiten  $\sim 12 \text{ Mb}$ .

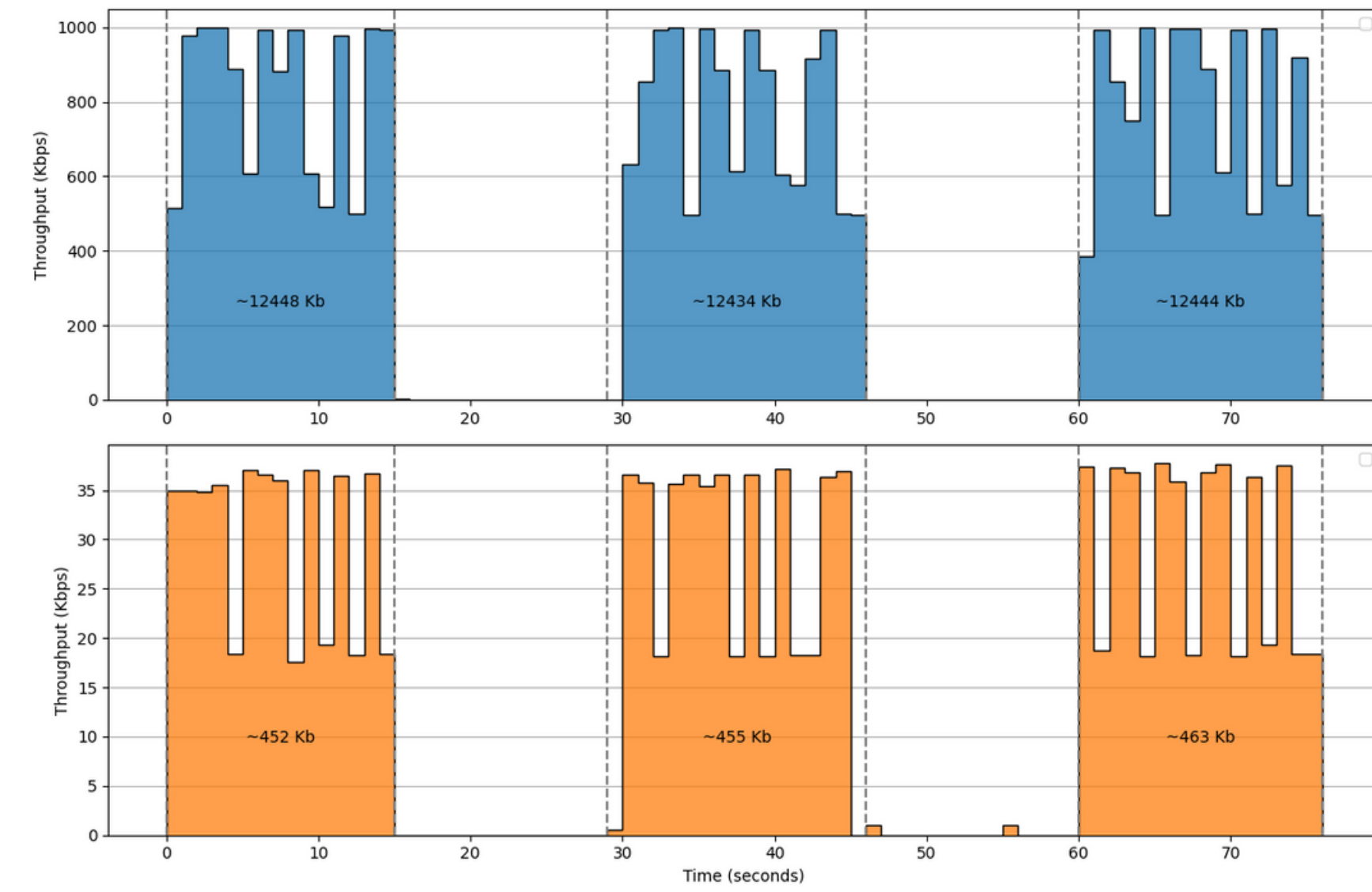
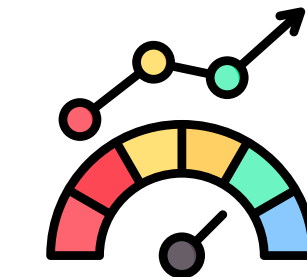
Secuencia  $\Rightarrow 5.85 \text{ KB}$ .

Tasa de compresión  $3.5 : 1 \Rightarrow 1.67 \text{ KB}$ .

Base64 aumenta tamaño en  $33\% \Rightarrow 2.22 \text{ KB}$ .

Nodos envían  $55.5 \text{ KB}$  en total  $\Rightarrow \approx 450 \text{ Kb}$ .

Gateway envía datos como JSON  $\Rightarrow \approx 12 \text{ Mb}$ .



Throughput over Time.

# Throughput



## Inferencia Adaptativa

$n_g$  : Numero de nodos en modo GATEWAY.

$n_c$  : Numero de nodos en modo CLOUD.

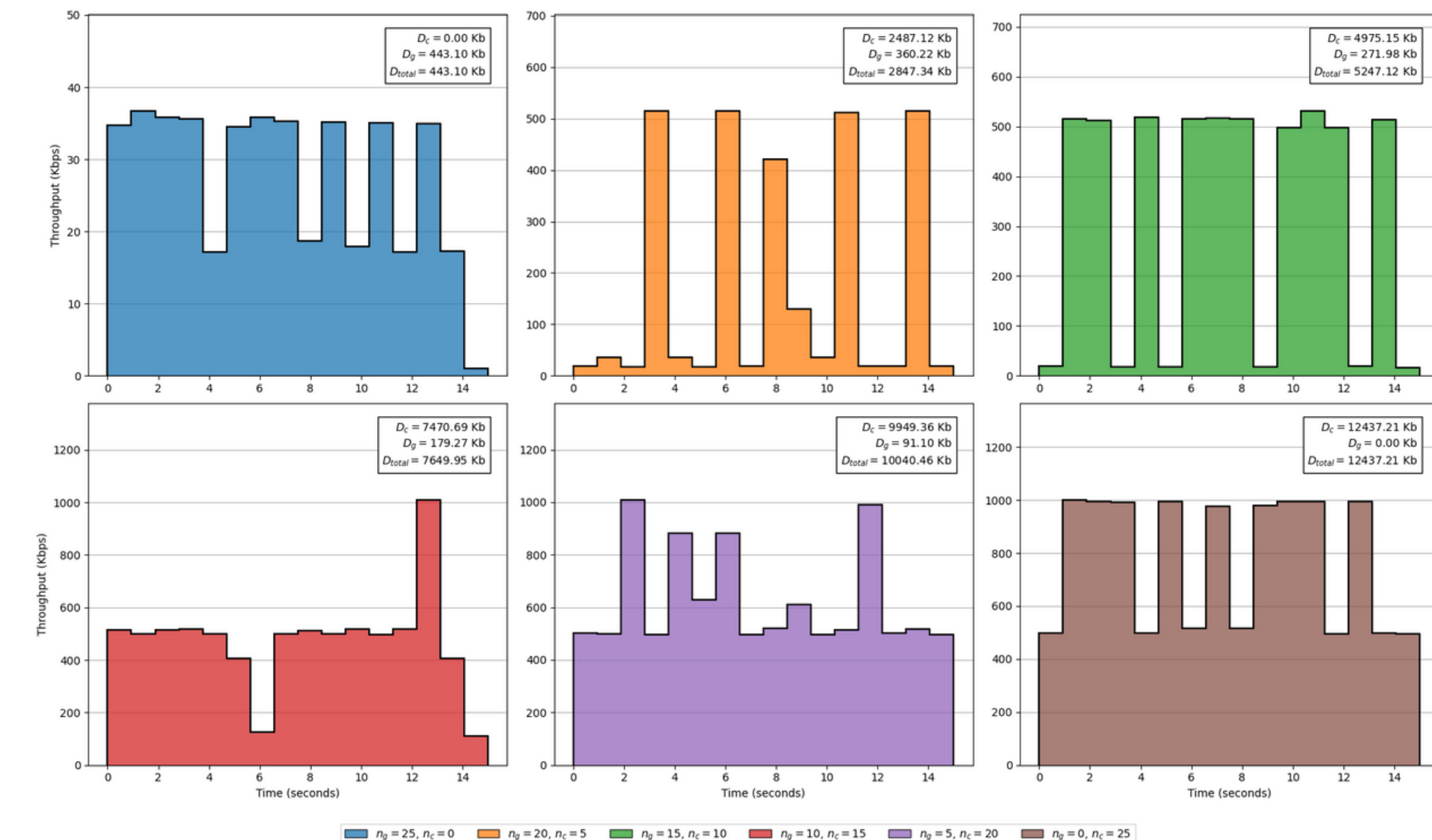
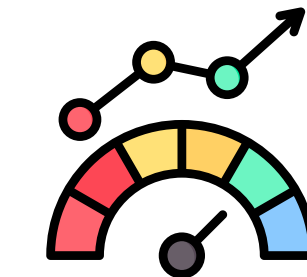
$$n_{total} = 25 = n_g + n_c$$

$D_g$  : Datos transmitidos por nodos GATEWAY.

$D_c$  : Datos transmitidos por nodos CLOUD.

$$D_{total} = D_g + D_c$$

- Throughput es dominado por aquellos nodos en modo Cloud.
- Contribución nodos en modo Gateway es despreciable a partir de  $n_c \geq 15$ .



Throughput over Time as Nodes Transition from Gateway to Cloud Inference.

# Conclusiones

# Conclusiones



## ESN-PdM

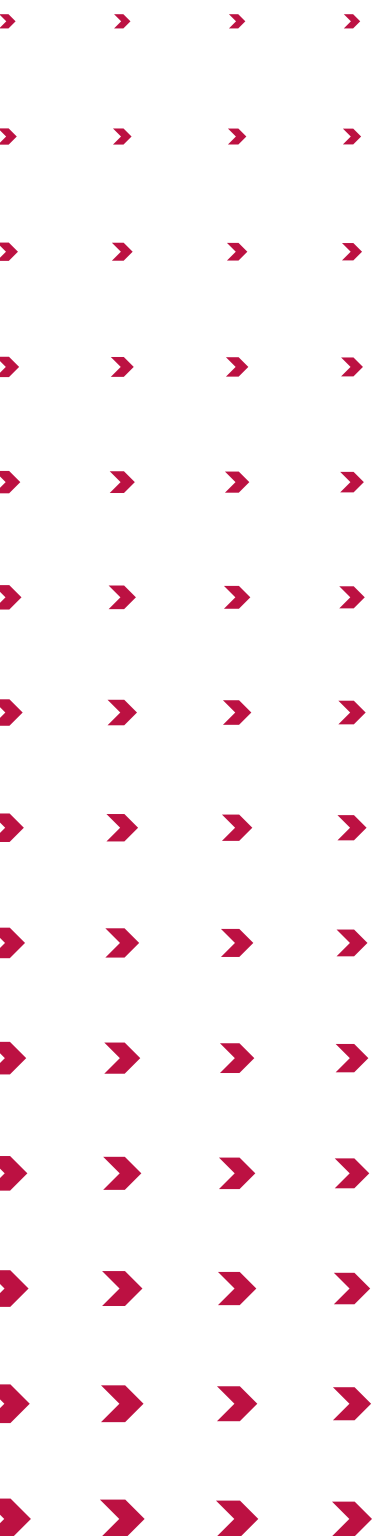
- Un framework de mantenimiento predictivo ideal para entornos altamente fluctuantes como la minería.
- Integración de enfoques tradicionales en una sola solución unificada.
- Capacidad de definir dónde ocurre la inferencia en cada nodo, manualmente o automáticamente.

## Contribuciones

- Una versión *alpha* de la propuesta, completamente open-source (MIT License).
- Cuantificación de los *trade-offs* asociados a la ubicación del ML.
- Un artículo científico por publicar en el *journal IEEE Access*.

## Trabajo Futuro

- Descubrimiento de microservicios: *Consul*.
- Mejorar seguridad microservicios: *Hashicorp's Vault*.
- *Reinforcement Learning* en el mecanismo adaptativo.



# ESN-PdM Framework:

## A TinyML-Driven IoT System for Condition Monitoring in Non-Stationary Mining Machinery

---

13/11 2024

Raúl de la Fuente

